

**23108**

**YILDIZ ÜNİVERSİTESİ  
FEN BİLİMLERİ FAKÜLTESİ**

**HİDROLİK DEVRELER VE  
HİDROLİK BUMLU VİNÇ  
UYGULAMASI**

**TEZİN BAZI SAYFAKİ  
ORJİNALİNDE SİLİK**

**PROJEYİ YÖNETEN :**

**Prof. Dr. Mustafa ALIŞVERİŞÇİ**

**PROJEYİ HAZIRLAYAN :**

**Aykut ÇİFTÇİ**

# İÇİNDEKİLER

I. ÖNSÖZ .....	Sy.2
II.HİDROLİK HAKKINDA GENEL BİLGİLER .....	Sy.4
III.HİDROLİK AKIŞKANLAR VE OZELLİLERİ .....	Sy.12
IV.HİDROLİK DEVRE ELEMANLARI .....	Sy.17
a.) BORULAR VE HORTUMLAR .....	Sy.17
b.) DEPO VE DONANIM .....	Sy.19
c.) HİDROLİK POMPALAR .....	Sy.25
d.) HİDROLİK BİRİKTİRCİLER .....	Sy.28
e.) SIZDIRMAZLIK ELEMANLARI .....	Sy.30
f.) HİDROLİK SİLİNDİRLER .....	Sy.34
g.) VALFLER .....	Sy.38
1.YÖN DENETİM VALFLERİ .....	Sy.38
2.BASINÇ DENETİM VALFLERİ .....	Sy.40
3.AKİŞ DENETİM VALFLERİ .....	Sy.41
4.ORANSAL VALF .....	Sy.42
5.SERVO VALF .....	Sy.43
Vİ. UYGULAMA (HİDROLİK BUMLU DÖNER VİNÇ) .....	Sy.44
a.) KONSTRÜKSİYON HESAPLARI .....	Sy.44
b.) HİDROLİK DEVRE HESAPLARI .....	Sy.57
c.) İMALAT DETAY RESİMLERİ .....	Sy.63
d.) MONTAJ RESİMLERİ .....	Sy.80
e.) İMALAT RESİMLERİ (ÇELİK KONSTRÜKSİYON).Sy.88	
f.) KOMPLE RESİM	
g.) HİDROLİK DEVRE ŞEMASI	
VII.KAYNAKÇA .....	Sy.93

## I - ÖNSÖZ

Üretimin giderek devasa boyutlar kazanıp, uluslararası arenada geniş ölçekli sanayi devlerini yarattığı günümüzde, bu gelişimin; insan ve doğa üzerindeki olumlu ve olumsuz etkileri, kuşkusuz tartışılabılır ve tartısılmalıdır.

Ancak bu noktada tartışmasız kabul gören birsey varsa, o da ve en yüksek üretim sürecinde; OTOMASYON'un birinci derecede önem kazanmaya başladığıdır. Ve hatta denebilir ki; otomasyon, özellikle dijital partları da dikkate alındığında, işletmeciliğin "OLMAZSA OLMAZ" ilkesi haline gelmiştir.

Enek yorumun üretim biçiminin tarihe karıştığı günümüzde, artık giderek üretim maliyeti içerisinde "işgücü fiati"nın düşük tutulması ve uyuslu, kârlılığın artırılmasının da önü kapanmaktadır. Kârlılığın artırılmasının en akılcı yolu; produktivitenin ve en geniş anlamlıla üretim rantabilitesinin artırılmasından geçmektedir. Kenisi artık geniş ölçekli bütün işletmelerin kabul ettiği bir ilke haline gelmiştir.

Bu süreçte teknik açıdan bakıldığından; otomasyonun gelişmesinde çok ciddi kilometre taşlarını oluşturan birçok önemli katkıdan söz edilebilir. Fakat hemen konumuzla bağlayarak söylesek, 1950'lerden sonra hızla gelişen ve yaygınlaşan hidrolik teknolojisi, bu süreçte, özellikle elektronikle birlikte "LOKOMOTİF GÜÇ" işlevi görmüşdür. Denebilir.

Özellikle tam otomasyonu hedefleyen, yaygın deyimiyle söylesek, robot teknolojisi çalışmalarında; elektronikteki tüm gelişmelere derhal adapte olabilen, tüm mafsal ve mekanizmalarla tam bir uyum teşkil edebilen hidrolik teknolojisi, bu esneklik ve pratikliğiyile öznizin gözde teknolojisidir denebilir.

Son 20 yıldır ülkemizde de hızla yaygınlaşan ve yerli imalat anlamlında da ciddi mesafeler kateden bu teknoloji; ne yazık ki, kelimenin tam anlamıyla bir literatür fakiridir.

Ve vine ne kadaracidir ki;izleyebildigim kadariyla,bu alan-da üniversitelerimizde bir "kürsü" degil,akiskanlar mekaniginin bir :sim "te ine geçmis ders bile mevcut degildir.Kuškusuz bu olumuzlukta;üniversitelerimizi birer bilim ve arastırma merkezleri olmaktan,salt birer öğretim kurumları durumuna iten,son 10 villik karanlığın ciddi etkileri olmustur.

Ancak bu noktada inanıyorum ki;Ülkemizin olumlu sinyaller varneve baslavan demokratikleme süreciyle konut ve bu sürecin "n"inde verilecek bir şekilde,toplumdaki gerçek konumunu tekrar kazanacak olan Üniversitelerimiz,diger problemleri ile birlikte bir ekipliciğini de hızla aşabilecektir.

Bu çalışmada:endüstriyel hidrolik teknolojisinin genel hatları üzerinde kısaca durulduktan sonra,bu alanda bir uygulama "Büyük olarak,hidrolik bımlı döner vinç tasarımlanmıştır.Kuškusuz böylesi bir çalışma;hidroliğin uygulanma alanına güzel bir "mek teşkil etmekle birlikte,kapsamı gereği daha ziyade sense,hareket ve dayanım problemleri ağırlıklıdır ve bu yönüyle tecrübe deňerlerin 1-1'ında,normlara sadık kalınarak dizayn edilmelidir.Gerek henüz ülkemizde böylesi bir olanağın bulunması ve nereksse çalışmanın bir ekip çalışma olmaması nedeniyle,dahi projelendirme aşamasında dahi,konstrüktif zafları bizzeť projecinin kendisinin hissedeceği düzeyde bir ön çalışma kapsamındadır.

## II\_ HİDROLİK HAKKINDA GENEL BİLGİLER

## A - BİRİM SİSTEMLERİ :

Tüm mekanik alanlarında olduğu gibi; akışkanlar mekanığında kuvvet ( $X$ ), uzunluk ( $L$ ) ve zaman ( $T$ ) gibi üç büyüklükten sözcülebilir. Bunlardan birisi yerine kütle ( $M$ ) seçildiğinde Newton yasasına göre ;

$E = m.c^2$  ve buradan da,

yazılabilir.

MKS (metre, kilogram, saniye) birim sistemine göre boyutlandırıldığından (1) formülünden ; kütle birimi " $\text{kg}\cdot\text{s}^2/\text{m}$ " bulunur. Güç birimi " $\text{kg}\cdot\text{m}/\text{s}^2$ " ve gerilme birimi de  $\text{kg}/\text{m}^2$  dir.

Düzen birim sistemi SI(système International d'unités) dir. Buna göre; kuvvet birimi Newton ( $N$ ), enerji birimi Joule ( $J = N \cdot m$ ), güç birimi Watt ( $W = J/s$ ) ve gerilme birimi de  $N/m^2$  dir. ( $1 N/m^2 = 1 \text{ Pascal}$ ).

SI birim sisteminde, pratikte kuvvet birimi olarak  $K_p = 9.81 \text{ N}$  ve serpine (basınç) birimi olarak da  $\text{Bar} = 1.02 \text{ Kp/cm}^2$  kullanılmak -tedir.

## B - AKI KAVYLAR MEKANIĞIİN BÖLÜMLERİ :

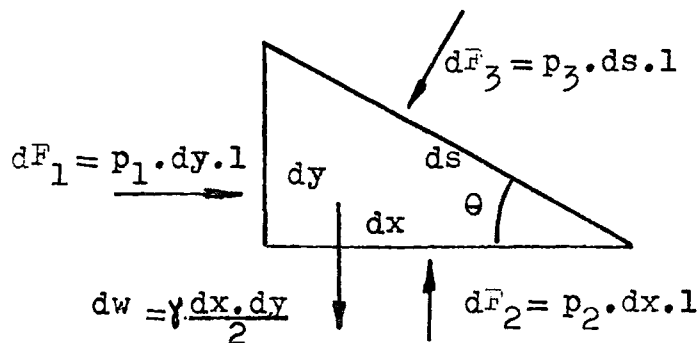
Akı kanlar mekanığı ;duran akışkanlar mekanığı (HİDROSTATİK) ve haretli akı kanlar mekanığı (HİDRODİNAMİK) olmak üzere iki kisma ayrıılır.

## 1. HİDROSTATİK :

Kenuya yine genel mekanik mantığıyla bakarsak; genel statik alanında olduğu gibi, hidrostatik alanında da denge denklemlerinden ziyedilmelidir. Bunun için önce bir noktadaki basıncı inceleyelim.

### **1.1. BİR NOKTADAKİ BASING :**

$c$ 'inden, yanlışca basınç kuvvetlerinden söz edilebilir. Bunun için  
bewt'si ( $dx, dy, ds, l$ ) olan bir elemanter üçgen prizma alalım:



Denge denklemlerinden yazılırsa:

$$\sum F_x = 0$$

$$\sum F_y = 0$$

$$p_2 \cdot dx - r \cdot \frac{dx \cdot dy}{2} - p_3 \cdot ds \cdot \cos\theta = 0 \quad \dots \dots \dots \quad (3)$$

$\sin\theta = dy/ds$  ve  $\cos\theta = dx/ds$  yerlerine yazılırsa:

(2) denkleminden ;

$$p_1 \cdot dy - p_3 \cdot ds \cdot (dy/ds) = 0 \quad \longrightarrow \quad p_1 = p_3$$

(z) denkleminden ;

$$p_2 \cdot dx - \gamma \frac{dx \cdot dy}{2} - p_3 \cdot ds \cdot \cos\theta = 0$$

$$p_2 = r dy/2 + p_3$$

Elementer üçgen prizmanın boyutları sıfıra yaklaşırken,  $\gamma dy/2$  de sıfıra yaklaşacağından ;

$P_2 = P_3$  bulunur.

Görüldüğü gibi  $P_1 = P_2 = P_3$  olmak üzere, durağan bir akışkanın herhangi bir noktasındaki basınç, doğrultudan bağımsız olarak sabitdir.

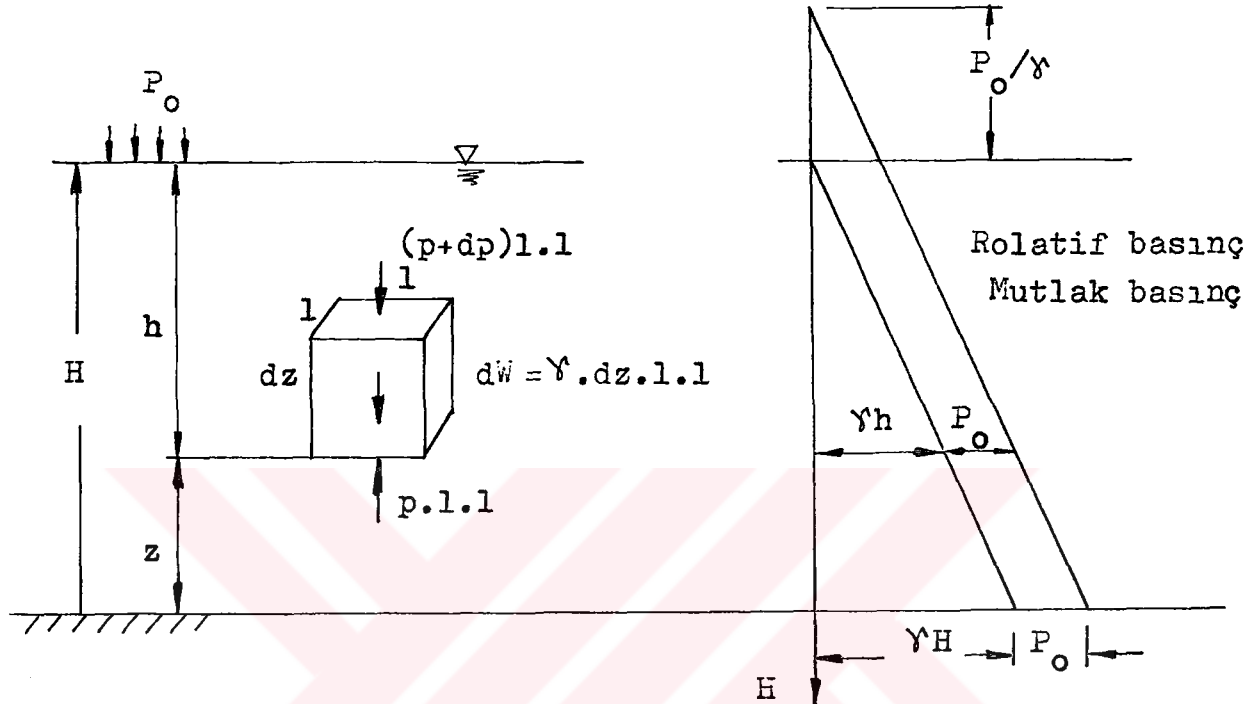
## 1.2. BASINCI DERİNLİKLE DEĞİŞİMİ :

Sekilde görüldüğü gibi, alt tabanı zeminden "z" kadar yükseklikte ve boyutları ( $l, l, dz$ ) olan bir elemanter akışkan parça-

cisi alsalım. Burada  $\Delta$  üzerinde eksendeki denge denklemi yazılırsa;

$$\sum F_z = p.(1.1) - (p + dp).(1.1) - \gamma(dz.1.1) = 0 \dots\dots(4)$$

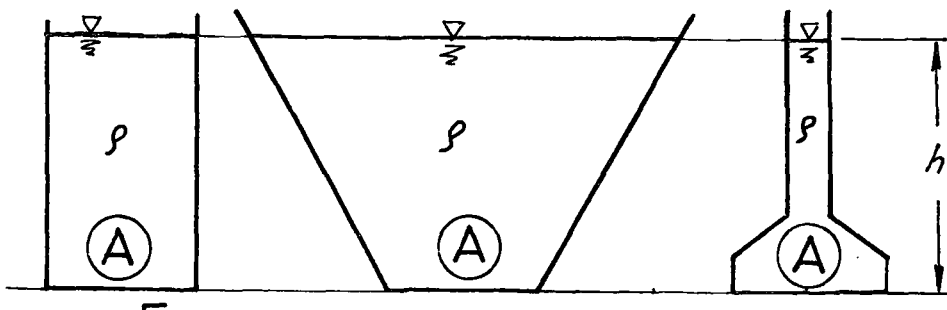
bulunur.

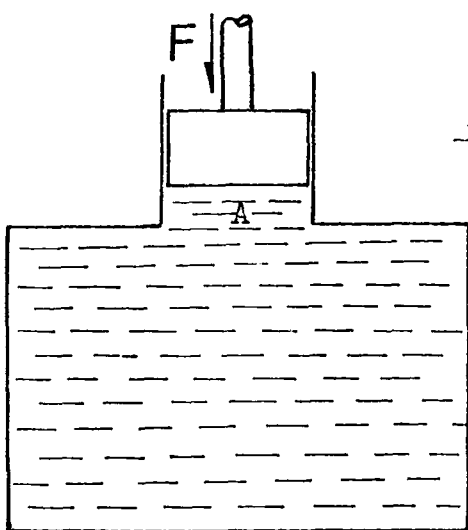


Dense denkleminin integrasyonu alınır ve  $p = p_0$  atmosfer basıncı  
ve  $z = H$  sınır şartlarında C integrasyon sabitinin değeri yerine  
vazılırse :

şeklinde basıncın derinlikle değişimini veren denklem elde edilir.

Bölüm 1.1 ve 1.2 gösterildiği gibi; durgun bir akışkanın herhangi bir noktasındaki basınç, doğrultu ne olursa olsun sabit kalmakta ve fakat derinlikle lineer olarak artmaktadır. Buna göre, parçasıda sürülen ve taban alanları birbirine eşit üç kabin tabanlarına etkiyen hidrostatik basınç kuvvetleri  $F_1 = F_2 = F_3$  eşittir.





### 1.3. DİĞER KUVVETLERİN YARATTIĞI BASINÇ (PASCAL YASASI )

Şekildeki akışkana; (A) kesit alanlı bir pistona (F) gibi bir kuvvet uygulanmak suretiyle elde edilen basınç (P) ise;

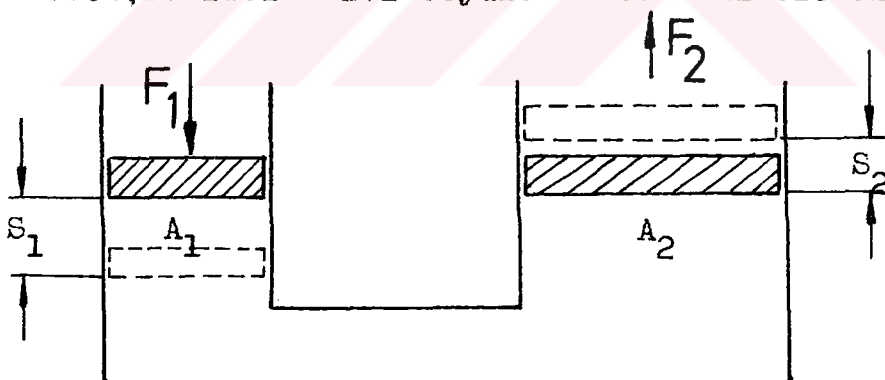
$$P = \frac{F}{A} \quad (6)$$

(6) olacaktır.

F : daN , A : cm<sup>2</sup> , P : daN/cm<sup>2</sup>

Bu basınç sıvının her tarafında üniform dağılır. Bu noktada kabin şeklinin bir önemi yoktur. Ayrıca dış kuvvetler etkisi altında oluşan basınç, hidrostatik basınçca göre çok büyük olduğundan; hidrostatik basınç etkisi hezaplarda ihmal edilebilir.

Şimdi Pascal yasasının bir uygulaması olarak, bileşik kaplardan bahsederek, basınçın sıvı boyunca iletimini ele alalım.



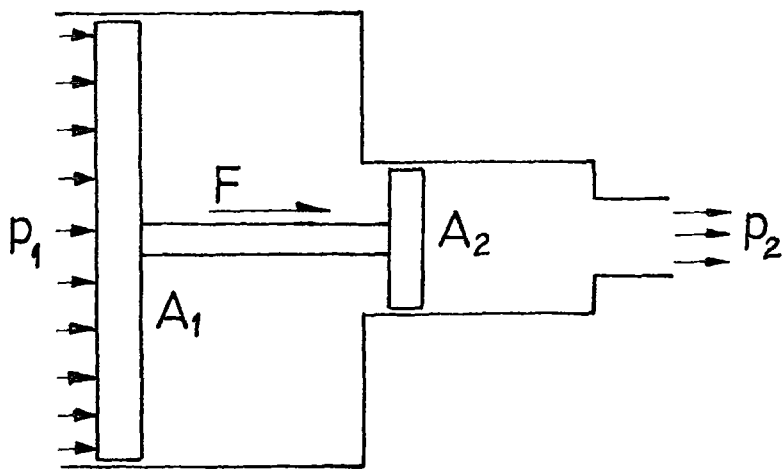
Yukardaki şekilde görülen bileşik kapta; A<sub>1</sub> kesit alanlı pistona F<sub>1</sub> kuvveti ile etkilendiğinde ve piston S<sub>1</sub> kadar ötelendiğinde, A<sub>2</sub> kesit alanlı pistondan, F<sub>2</sub> kadar bir kuvvet alınır ve piston S<sub>2</sub> kadar ötelinir. Bu değerler arasındaki bağıntı; p sabit ve sıvı sıkıştırılamaz kabul edilirse;

$$\frac{F_2}{F_1} = \frac{A_2}{A_1} = \frac{S_1}{S_2} \quad \dots \dots \dots \quad (7)$$

şeklindedir.

#### 1.4. BASINCI ARTIRILMASI İLKESİ :

$A_1$  ve  $A_2$  kesit alanına sahip iki piston bir mil ile birbirini -



ne bağlanırsa;  $A_1$  kesit alanlı pistona  $P_1$  gibi bir kuvvetle etkindiğinde;  $F = P_1 \cdot A_1$  kadar bir kuvvet oluşur. Bu kuvvet bağlantı mili ile aynen ikinci pistona aktarılacakından;

$$F = P_2 \cdot A_2 \text{ ve } P_2 = p_1 \cdot \frac{A_1}{A_2}$$

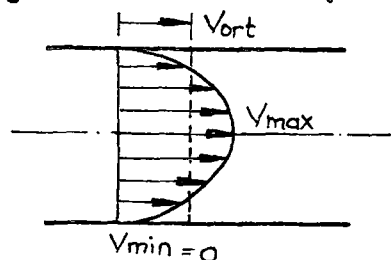
eleçektir.  $A_1 > A_2$  olduğundan ;  $P_2 > P_1$  olur.

## 2. HİDRODİNAMİK

Daha önce de belirtildiği üzere; hareketli akışkanların yasalarını inceleyen hidrodinamik konusunu incelerken; sırasıyla, süreklilik denklemi, Euler ve Bernoulli hareket denklemleri, enerji kaybı ve akış türleri üzerinde duracağız.

## 2.1. SÜREKLİLİK DENKLEMİ

Kütlenin korunumu olarak ta ifade edebileceğimiz süreklilik denklemi: belirli bir kesitten belirli bir hızla akan akışkanın, birim zamanda geçen hacim miktarı anlamına gelen DEBİ'nin sabitliğini ifade eder. Şimdi bunu inceleyelim;



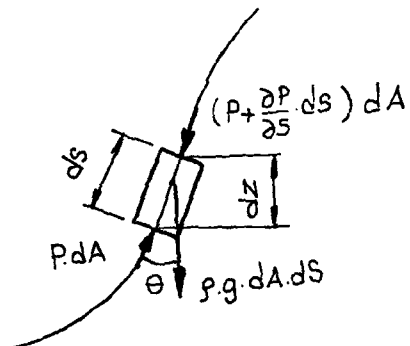
Üncelikle akışkan hızını tanımlayalım.

Hız kesit içerisinde sabit olmayıp, kenar-larda sıfır ve kesit ekseninde max. olan eğrisel bir dağılım gösterir. Hesaplarda

ortalama hız esas alınır. Ve bu hızın bütün kesit boyunca üniform değişildiği kabul edilir.

Kesitsel ortalama hızı esas alarak, debi denklemini yazarsak;

Değīken kesitli bir boru içerisinde akan bir akışkanın debisi her noktada eşit olacağından, süreklilik denklemi;



$$Q = V_1 \cdot A_1 = V_2 \cdot A_2 = \dots = \text{sabit}$$

elde edilir. (10)

## 2.2. EULER HAREKET DENKLEMİ :

Sekilde görülen diferansiyel akışkan parçasının, akım çizgisi boyunca hareketini

inceleyelim. Partiküler akışkanın hareket kuvvetini Newton'un 2. yasasına göre yazarsak :

ve diğer taraftan, aynı kuvveti denge denklemlerinden çıkaralım:

$$\sum F_s = P \cdot dA - (P + \frac{\partial P}{\partial S} \cdot dS) \cdot dA - \rho \cdot g \cdot dA \cdot dS \cdot \cos\theta \dots\dots\dots(12)$$

(11) ve (12) nolu denklemler eşitlenir ve sadelestirmeler yapılrsa:

elde edilir. Buradaki  $a_s$  ivmesinin değeri;

$$a_s = \frac{dV}{dt} = \frac{\partial V}{\partial S} \cdot \frac{\partial S}{\partial t} + \frac{\partial V}{\partial t} \quad \text{yerine yazılır:}$$

$$\frac{1}{g} \cdot \frac{\partial P}{\partial S} + g \cdot \cos \theta + \frac{\partial V}{\partial S} \cdot \frac{\partial S}{\partial t} + \frac{\partial V}{\partial t} = 0$$

$\cos\theta = dz/ds = \partial z/\partial s$  olduğundan ve zamanla değişmeyen akım için  $\partial V/\partial t = 0$  olacağından :

$$\frac{1}{g} \cdot \frac{\partial P}{\partial s} + g \cdot \frac{\partial z}{\partial s} + v \cdot \frac{\partial v}{\partial s} = 0 \text{ ve ,}$$

seklindeki Euler akim denklemi elde edilir.

### 2.3. BERNOUlli DENKLEMİ :

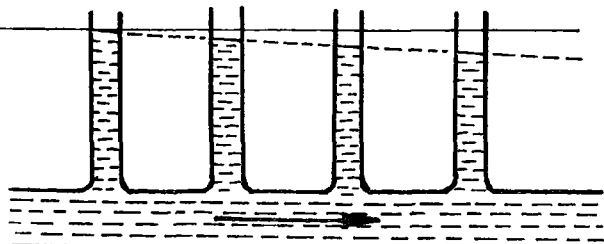
(14) nolu denklem integre edilip, yerçekimi ivmesine bölündüğünde :

elde edilir. Denklem, ( $\ddot{x}$ ) özgül ağırlık ile çarpılırsa, Bernoulli Denklemi ;

bulunur. Görüldüğü üzere bu denklemde terimler sırasıyla; basınç enerjisi, kinetik enerji ve potansiyel enerjiyi ifade eder. Buradan da anlaşılacağı üzere, Bernoulli denklemi, enerjinin korunumunun hidrolikteki uygulamasıdır. Ancak bu denklem, hareketli akışkanın sürünme sonucu ısıl enerji olarak kaybettiği enerjinin ihmal edilmesi nökteliyle formüle edilmistir. Enerji kaybı da dikkate alınmalıdır;

$$P_1 + \frac{\rho V_1^2}{2} + \gamma z_1 = P_2 + \frac{\rho V_2^2}{2} + \gamma z_2 + h_k \dots \dots (17)$$

şeklini alır. $h_k$  enerji kaybı : boru uzunluğuna,boru yüzeyi düzgün-

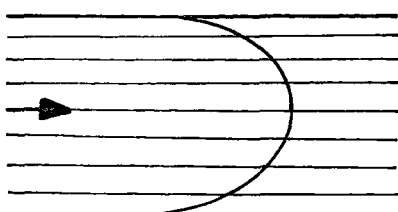


lügüne, boru çapına, kıvrım ve dönüş sayısına ve akış hızına bağlı olarak değişir.

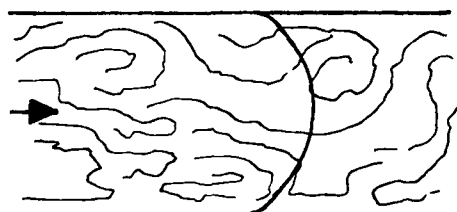
Yandaki şekilde enerji kaybı görülmektedir.

#### 2.4. AKIS TÜRLERİ :

Boru çapı ve akış hızına bağlı olarak iki tür akış vardır.



## Katmanlı Akış (Laminer Akım)



## Tedirgin Akış (Turbülanslı akım)

Sabit çapta bir boruda akan bir akışkan, belirli bir hıza kadar düzgün bir şekilde ve söz konusu kritik hızdan sonra ise tedirgin bir şekilde akar. Değişik bir ifadesiyle; kritik hızın altındaki akışken partiküllerin düzgün katmanlar halinde (laminer) akarken, kritik hızın üzerine çıkıldığında partiküller birbirle- rine çarparak karmaşık (turbülanslı) akarlar. Kuşkusuz turbülans- li akış enerji kaybına sebep olur ve hidrolikte istenmeyen bir durumdu.

Akışkanın kritik hızını bulmak için "REYNOLD SAYISI" kullanılır. Reynold sayısı ;

formülü ile hesaplanır. Burada ;

$V$  : Akış hızı ( m/sn )

$d_H$  : Hidrolik çap ( m )

Hidrolik çap,yuvarlak kesitli borular için iç çap,diger kesitler için ise ;  $d_H = 4 \cdot A/U$  formülü ile hesaplanır.(A) kesit alanını,(U) ise çevreyi ifade eder.

$\gamma$  : Kinematik viskozite ( $m^2 / sn$ )

İyi işlenmiş yüzeyler için kritik Reynold Sayısı 2300'dür. Reynold sayısı 2300'den küçük olan durumlarda laminer akım, 2300'den büyük olan durumlarda ise türbülanslı akım olusur.

### III - HİDROLİK AKIŞKANLAR VE ÖZELLİKLERİ

Hidrolik akışkanlarının incelenmesi ve seçimi çok kapsamlı bir uzmanlık alanıdır. Hidrolik teknolojisindeki mühendislik çalışmalarında ise bu alandaki kuruluşların, öneri ve uyarılara uymak pratikte yeterli olmaktadır. Kuşkusuz bu çalışmanın kapsamı da, bu uzmanlık çalışmasının dışındadır ve genel tanımlar ile hidrolik yağlarda aranın özelliklerin tanımlarıyla yeterlilikmiştir.

#### A - HİDROLİK AKIŞKANLAR HAKKINDA GENEL BİLGİLER :

Günümüzde hidrolikte kullanılan yağlar iki ana sınıfa ayrılmaktadır :

1. Standart madeni (mineral) yağlar,
2. Ateşe dayanıklı yağlar.

Mineral yağlar; kolay tutuşabilmeleri nedeniyle, ısıl işlem gerektiren yerlerde kullanılmamalıdır. Bu yağlar petrol kökenlidir ve ham petrol kalitesi, rafineri metodu ve katkı malzemelerinin cinsine göre çeşitli kalitede olurlar.

Ateşe dayanıklı yağlar ise ;

1. Su glikol çözeltisi,
2. Su yağ emilsyonları,

3. Sentetik yağlar olmak üzere başlıca üç sınıfa ayrılabilir.

SU GLİKOL ÇÖZELTİSİ :

Ucuz olmaları nedeniyle büyük sistemlerde kullanılan su glikol çözeltisi; % 35-40 su içerir. Çinko ve magnezyum gibi malzemelerle kimyasal reaksiyona girmesi nedeniyle koruyucu boyaya veya kaplamayla birlikte kullanılmalıdır. İçerisindeki suyun buharlaşarak eksilebilmesi nedeniyle düşük çalışma sıcaklığına sahip yerlerde tercih edilmelidir.

SU YAĞ EMİLSYONLARI :

Özel rafine edilmiş şekilde, su içerisinde yağı veya yağ içeresinde su ihtiva eder. Yaygın olarak kullanılan su-yağ emilsyonu dur.

Bu emilsyonlar bünyesinde su ihtiva etmeleri nedeniyle ateşe dayanıklı ve mükemmel soğuma karakteristiği gösteren akışkanlardır.

Dezavantajları ise pahalı olmaları ve çok itinalı filitrelenmeye gereksinim göstermeleridir.

**SENTETİK YAĞLAR :**

Bütün yağ sınıfları içerisinde en pahalısı olan sentetik yağlar, içerisinde su ihtiva etmemeleri nedeniyle çok yüksek sıcaklıklarda dahi buharlaşma nedeniyle azalmazlar. Tersine düşük sıcaklıklarda; kullanımdan önce bir miktar ısıtırlar.

**Bu yağlar :**

1.Fosfat esterli

2.Klorlu hidrokarbonlar

3.Fosfat esterli ve klorlu hidrokarbonlar birlikte ihtiva eden olmak üzere üç sınıfa ayrılırlar.

Sentetik yağların kullanıldığı devrelerde başlıca şu iki konuya dikkat etmek gerekir.

1.Sentetik yağların özgül ağırlığının, diğer yağlardan fazla olması nedeniyle, pompa emiş ağızının dizaynı boşulumu önleyecek şekilde olmalıdır.

2.Bu devrelerde; Buna ve Neoprene özlü keçeler kullanılmamalı, Viton ve Teflon türü keçeler tercih edilmelidir.

**B . GENEL TANIMLAR :**

**• AKIŞKAN .**

Aışkanlara özgün genel tanımlara geçmeden önce, aışkanların gerilmelere karşı davranışını ve dolayısıyla "akış" olayını kısaca tanımlayalım.

Bilindiği üzere birim yüzeye gelen dik kuvvete "normal gerilme" ve teğetsel kuvvete de "kayma gerilmesi" diyoruz. Normal gerilmenin yüzeye doğru etkiyen biçimini olan "basınç gerilmesi"nin etkisi altında; gazlar en fazla, sıvılar az ve katılar daha az sıkışabilmektedir.

Kayma gerilmesine karşı ise katılar yüksek bir direnç gösterirken; sıvılarda bu direnç son derece küçük olmaktadır. İşte bu kayma gerilmesi altındaki şekil değiştiren sıvıya "akıyor" diyoruz.

**• ÖZGÜL AĞIRLIK .**

$20^{\circ}\text{C}$  sıcaklığındaki bir aışkanın birim hacminin ağırlığına "özellik ağırlık" denir. Çok önemli basınç değişimleri olmadığı sürece, aışkanlar için özgül ağırlık değeri sabit kabul edilir. Hidrolik yağlarda özgül ağırlık ;

$$\frac{m \cdot g}{V} = 0,91 \dots 0,95 \text{ daN/dm}^3 \text{ değerindedir.}$$

• VÍSKOZITÉ.

Akışkan tanımında belirtildiği üzere ;teğetsel kuvvet etkisi altında oluşan kayma gerilmelerine karşı akışkanların dirençci son derece küçüktür.İşte bu dirence "viskozite"(yapışkanlık) denir.

İç gerilmelerin ölçümleri için, "dinamik mutlak yapışkanlık" tanımlanır. Birimi  $\text{Ns/m}^2$  dir.

Mühendislik hesaplarında ise; dinamik mutlak yapışkanlığın, yoğunluğa oranı olan "kinematik yapışkanlık" kullanılır.

SI birim sisteminde; kinematik yapışkanlık birimi " mm<sup>2</sup> /s " dir.DIN 51560-61-62'de belirtilen;200 cm<sup>3</sup> yağın 20°C da,2.8 mm çaplı borudan akma süresinin,arı suyun akma süresine oranlanması esasına göre viskozite değeri tayin edilmektedir.Bu ölçümün yapıldığı cihaza "viskokozimetre" denir.

Hidrolik sistemlerde yağın  $50^{\circ}\text{C}$  da;  $17-40 \text{ mm}^2/\text{s}$  ya da  $40^{\circ}\text{C}$  da  $22-90 \text{ mm}^2/\text{s}$  yapışkanlığı sahip olması istenir.

#### • HACİMSAL ELASTİSİTE MODÜLÜ

Birçok mühendislik problemlerinde akışkanlar sıkıştırılamaz kabül edilmesine karşın, örneğin hassas öteleme istenen, hidrolik silindir devrelerinde vb. özel durumlarda sıkıştırılabilirlik (kompresibilite) değerinin hesaplanması gereklidir.

Sıkıştırılabilirliğin hesaplanması için "hacimsal elastisite modülü" tanımlanması yapılır.

$$K = \frac{\Delta p}{\frac{\Delta V}{V}} \quad N/cm^2 \quad \dots \dots \dots \quad (20)$$

Hidrolik teknolojisindeki hesaplarda, daha çok "H" sıkışma sayısı kullanılır.

Hidrolik yağlarda;  $H = 0,000007 - 0,000008 \text{ cm}^2/\text{N}$  değerindedir.

—AKMA NOKTASI.

Yağın akıçılığını yitirip, katılışmaya başladığı sıcaklık değerine, "alma noktası" denir. Hidrolik yağlarda bu sıcaklık  $-10^{\circ}\text{C}$  ile  $-25^{\circ}\text{C}$  'a kadar inebilmektedir. Bazı özel yağlarda ise  $-50^{\circ}\text{C}$ 'a kadar inilebilmektedir.

## ALEVLENME NOKTASI.

Yağların buharlaşarak, yanıcı gazlar ortaya çıkardığı sıcaklığı denir. Standart yağlarda bu sıcaklık  $180-210^{\circ}\text{C}$  arasında- dir. Ancak hidrolik sistemlerde çalışma sıcaklığı  $50^{\circ}\text{C}$ 'ı aşma-lığı için, bu değer uygulanmada sorun yaratmaz.

## — ISIL GENLEŞME.

Sıcaklık artışı yağda hacimsal genleşmeye yol açar. Bu değer hidrolik yaqlarda;  $0,0007 \text{ l/C}^{\circ}$  mertebesindedir. Hacimsal genleşme;

$\Delta v = v_0 \cdot \gamma \cdot \Delta t$  ..... (22)  
 formülü ile hesaplanır.

Isıl genleşme, kapalı devrelerde önemli basınç farklarına yol açacağı için dikkatle ele alınmalıdır.

## → YAĞLARDA DİKKATE ALINAN DİĞER ÖZELLİKLER.

Yağlama yeteneği : Hidrolik yağlar sistem çalışma yüzeylerinde başka bir yağa gereksinim bırakmayacak bir şekilde yağlama yeteneğine sahip olmalıdır. Bunun için de, yağın metal yüzeylerde ince bir film tabakası oluşturması istenir.

**Oksidasyon:** Yağın bileşeninde bulunan katkı maddelerinin oksijen ile reaksiyona girerek veya sisteme girecek pisliklerin etkisi ile erimeyen kimyasal bileşimlerin oluşmasıdır.

Sıcaklık, pislikler ve bakır, bronz, pırınc gibi malzemeler oksidasyonu artırır. Oksidasyon  $50^{\circ}\text{C}$ 'a kadar yavaştır. Ancak bu sıcaklığından sonra hızla artar.

Oksidasyonu önlemek için ;

-Hidrolik sistemlerde yağ sıcaklığı  $35-50^{\circ}\text{C}$  da olmalıdır.  
 $50^{\circ}\text{C}$ 'in üzerine kesinlikle çıkışmamalıdır.

-Yazılı deposuna vislik girmeyenek şekilde önlem alınmalıdır.

-Yağın kimyasal yapısı denetlenmelidir.

Ayrıca bileşenlerindeki olası farklılıklar nedeniyle değişik marka yağlar karıştırılmamalıdır.

Su tutma : Yağın içerisinde bulunan bir miktar suyun, yağlama yeteneğini bozmama özelliğidir. Hidrolik yaqlarda bu oran % 1 mertebesindedir.

Su yağıdan daha ağır olduğu için depoda dibe çöker. Bu nedenle belirli peiodlara boşaltma tapası açılarak, su boşaltılmalıdır.

Köpüklenme : Hidrolik yaqlarda kesinlikle istenmeyen bu durum; basınç düşmelerine ve boşuluma yol açar. Köpüklenmeyi önlemek amacıyla hidrolik yaqlara çeşitli katkı maddeleri ilave edilmektedir.

Köpüklenme durumunda; devreye hava emisi olup olmadığı kontrol edilmelidir.

#### IV. HIDROLİK DEVRE ELEMANLARI :

## a.) BORULAR VE HORTUMLAR

Hidrolik devrelerdeki boruların özellikleri DIN 2391'de belirtilmiştir. Basınç hattındaki borular St 35.2 kalitede ve dikişsiz çelik çekme borulardır. Bükülebilir bağlantıarda kullanılan hortumlar ise; kloropren, nitril, neopren, perbunan, hypalon veya viton malzemelerden yapılırlar.

Borulamada dikkat edilmesi gereken başlıca özellikler şunlardır :

1.Boru çapı uygun olmalıdır.Bu değer ;

formülü ile hesaplanır. Burada;

d : Boru iç çapı ( mm )

Q : Debi ( lt/dak.)

$v$  : Akış hızı ( m/s )

2.Pompa emişindeki boru çapı,basma hattındaki boru çapından büyük seçilmelidir.

3. Emis hattında devreye hava girişini ve basınç hattında sızıntıları önlemek amacıyla bağlantılar sızdırmaz olmalıdır.

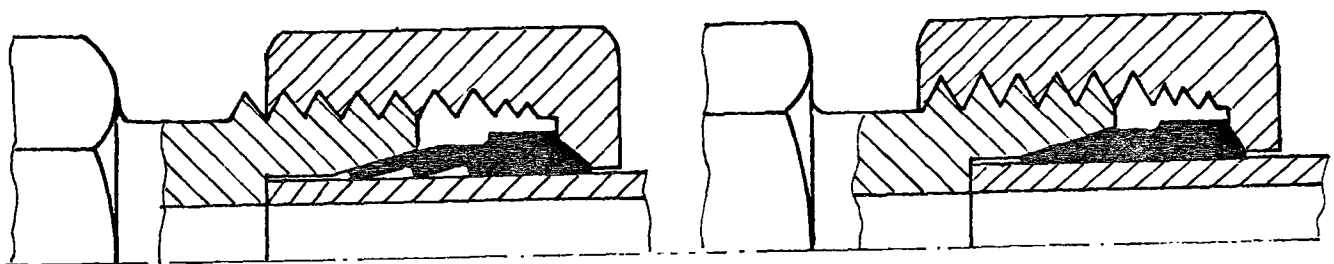
Şekil.1 ve 2'de sızdırmaz bağlantı sağlayan; yüksüklü rakor ve çabuk bağlantı rakoru şemaları gösterilmiştir.

4. Silindir ve kontrol valfleri arasındaki mesafe mümkün olduğunda kısa tutulmalıdır.

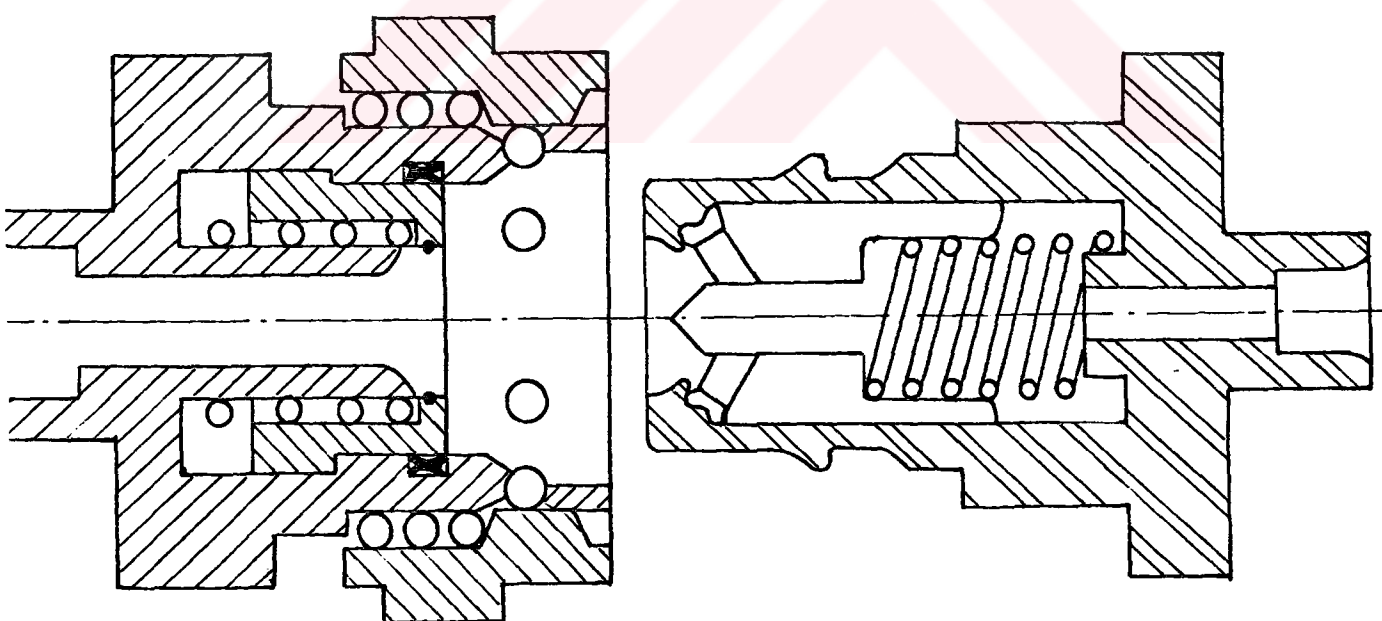
5.Boru devrelerinde keskin dönüşlerden kaçınılmalı,yeterli yarıçap verilmelidir.Rakor bağlantılarında;boru somundan sonra,enaz iki somun yüksekliği mesafe yükseklikten itibaren büükülmelidir.

6. Bükülebilir bağlantılar; basınç altındaki hortumlar genleşeceğinden, boyut değişimlerini karşılamak amacıyla hortum bir miktar uzun tutulmalıdır.

7.Uzun devrelerde,borular boru kelepçeleriyle desteklenmelidir.



ŞEKİL .1. YÜKSÜKLÜ RAKOR



ŞEKİL .2. ÇABUK BAĞLANTI RAKORU

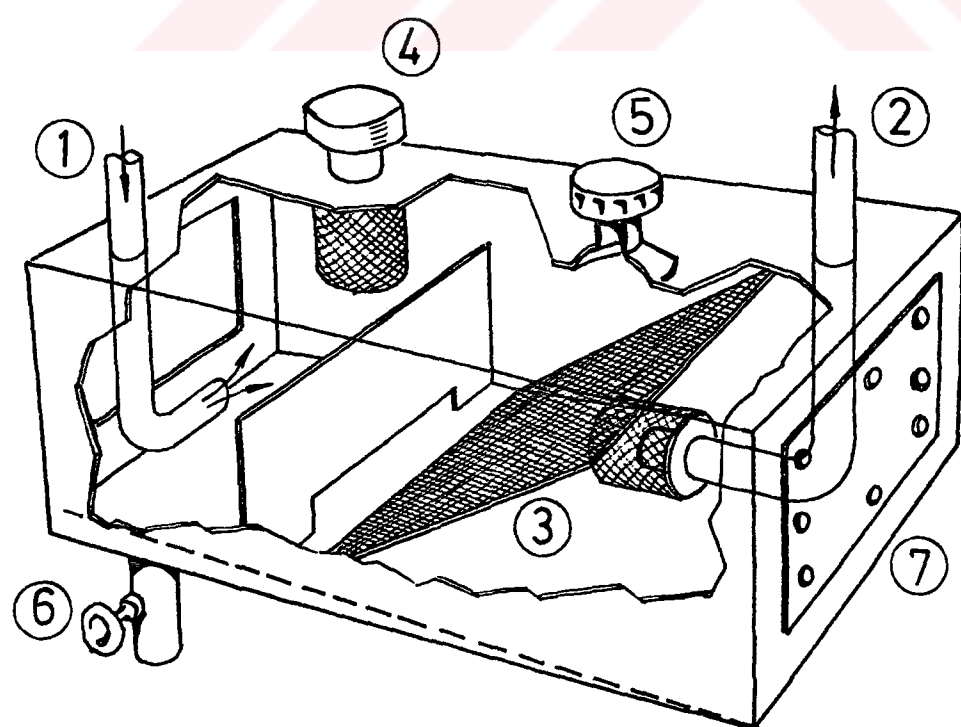
## b.) DEPO VE DONANIM

Yağı barındırmak, ısısıyı yaymak suretiyle soğutmayı sağlamak, yağın içerisindeki havayı ayırtırmak, filitrisasyonu sağlamak gibi birçok işlevi olan depoların hacminin, pompanın maximum hızda bir dakikada bastığı yağ miktarının enaz iki katını barındıracak kadar olması tavsiye edilir. Daha değişik bir açıdan söylesek; deponun sisteme kayıplar nedeniyle ortaya çıkan yağıdaki ısınmayı yayıcı özelliği de dikkate alınarak, olanaklar ölçüsünde büyük seçilmesinde fayda vardır.

Öncelikle bir depoda bulunması gereken özelliklerden söz edelim.

Yağ içerisinde hava girişinin önemli bir kaynağı depo olup, havanın yağa karışmasına yol açacak çalkalanmanın minimuma indirilmesi gereklidir. Bu nedenle iyi bir depo titreşim sönmeyici olmalıdır.

Yan duvarlardaki temizleme kapakları deponun her yerine



ŞEKİL. 3. İSTENİLEN ÖZELLİKLERİ TAŞIYAN  
BİR YAĞ DEPOSU ÖRNEĞİ

kolayca ulaşmayı sağlayacak büyülüklükte olmalıdır.

Deponun tabanı, boşaltma tapasının bulunduğu kısma doğru eğimli olmalı ve kolayca boşaltma mümkün olmalıdır.

Daha iyi soğutma sağlamak amacıyla; 40 litreden büyük depoların zeminden enaz 150 mm yükseltilecek, havayla temasın tabandan da sağlanması gereklidir.

Büyük depolarda; emiş ve dönüş hatları bir filtre ile ayrılmalıdır.

Hava filitresinin kapasitesi, depodan yağ çekildiğinde gerekli hacim boşluğunu karşılayacak ve dolayısıyla vakuma yol açmayacak boyutlarda seçilmelidir.

Emis hattı; yağı deposunun dibine yakın olmalı (irdaba yol açmayacak kadar), fakat depo dibindeki pislikleri emmeyecek kadar yükseklik verilmelidir.

Emis ve dönüş hatları; hava kabarcıklarına yol açmaması açısından mümkün olduğunda birbirinden uzak tutulmalıdır.

Tankta maximum ve minimum yağ seviyelerinin kolayca kontrol edileceği bir kontrol göstergesi bulunmalıdır.

**ŞEKİL. 3**'de yukarıda sayılan özelliklere sahip bir hidrolik depo krokisi verilmiştir. Burada :

- (1) Dönüş hattı
- (2) Emis hattı
- (3) Emis ve dönüş hatlarını ayıran filtre
- (4) Doldurma kapağı
- (5) Hava filitresi
- (6) Boşaltma vanası
- (7) Temizleme kapağıdır.

### Donanım :

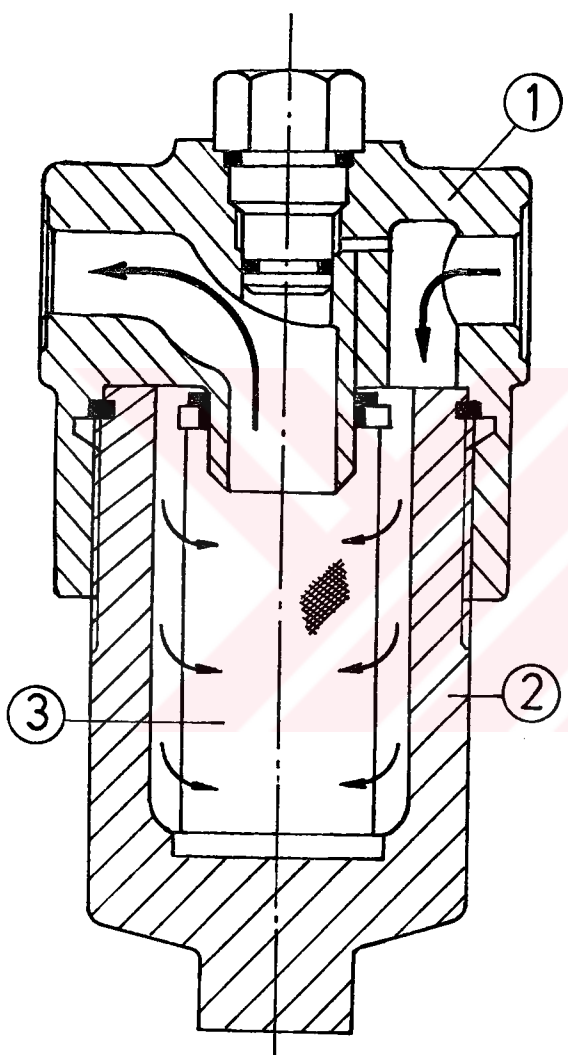
Şimdi de depolarda kullanılan çeşitli donanım malzemelerinden söz edelim:

### Filtreler

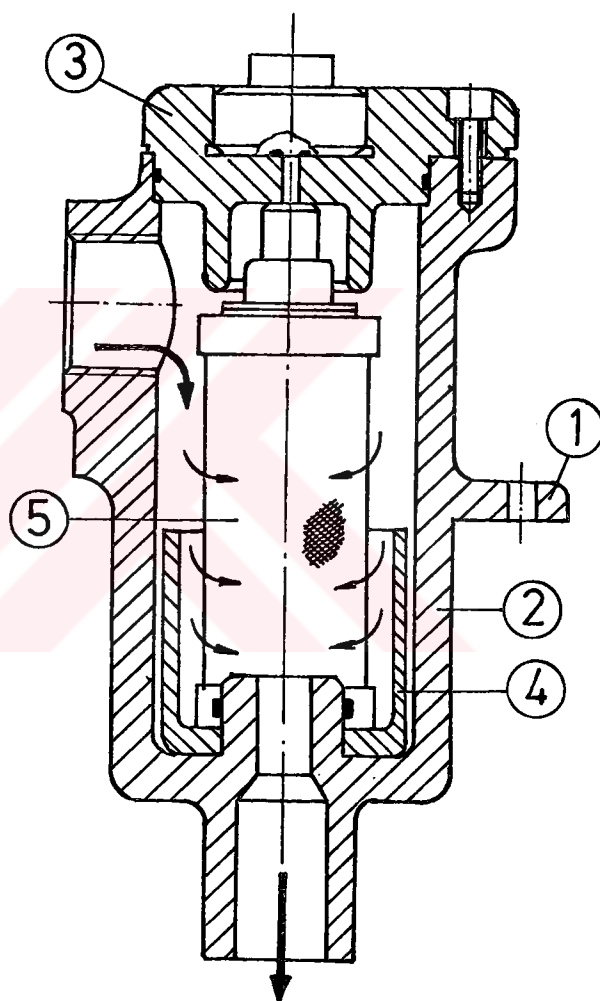
Hidrolik devrelerde kullanılan yağın temiz olması ve proses esnasında bu temizliğini mümkün olduğunda korumasının önemi açıklıdır. Bunu sağlamak amacıyla FİLTRE'ler kullanılır.

Filtreler, "mutlak filtrasyon" (filtreden geçebilecek en büyük parçacığın çapı) cinsinden SAE normlarında 7 gruba ayrılmıştır.

Parçacık Boyutu m	Parçacık Sayısı cm <sup>3</sup> /sınıf						
	0	1	2	3	4	5	6
5 - 10	2700	4600	9700	24000	32000	87000	128000
10 - 25	670	1340	2680	5360	10700	21400	42000
25 - 50	93	210	380	780	1510	3130	6500
50 - 100	16	28	56	110	225	430	1000
100 -	1	3	5	11	21	41	92



ŞEKİL .4.BASINÇ FILİTRESİ



ŞEKİL .5.DÖNÜŞ FILİTRESİ

Filitrelerin imalatında malzeme olarak başlıca; paslanmaz çelik tel, kağıt ve metal ipçik kullanılır. Filtre malzemesinden istenen özellik, uzun ömürlü olması ve süzme kapasitesinin yüksek olmasıdır.

Filitreler; basınç hattında kullanılan "basınç filitreleri" ve pompaya dönüş hattında kullanılan "dönüş filitreleri" olmak üzere başlıca iki sınıfta incelenebilir. Şekil 4 ve 5'de bu filitrelere birer örnek verilmiştir.

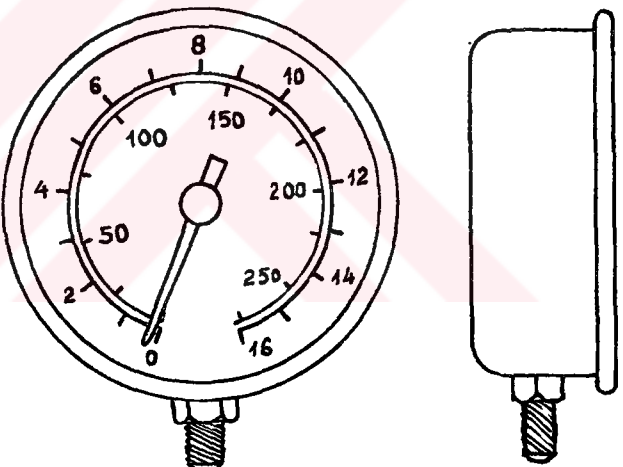
Şekil.4'de görülen basınç filitreleri;kapak(1),gövde(2) ve filtre malzemesinden(3) oluşur.Kural olarak;basınç filitrelerinin korunmak istenem elemandan önce devreye bağlanması gereklidir.

Şekil.5'de görülen dönüş filtresi ise;bağlantı flenşesi(1) yardımıyla depo üzerine monte edilebilir.Bu filitreler de; gövde(2),kapak(3),pislik tutucu kap(4) ve filtre malzemesinden(5) oluşur.

En yaygın olarak kullanılan filitreler dönüş filitreleridir.

## Basınç Ölçerler (Manometreler)

Basınç ölçerler (manometreler) devrede bulunan yağın basıncının kontrol edilmesi amacıyla kullanılır.Çeşitli gösterge çaplarında ve basınç kapasitesinde standartlaştırılmış olan basınç ölçerler;konstrüktif olarak alttan ve arkadan bağlantılı olmak üzere iki sınıfa ve çalışma prensiplerine göre de;diaframlı ve tüplü basınç ölçerler olmak üzere iki sınıfa ayrılırlar.Diaframlı düzenekte diaframenin hareket (doğrusal) ettirdiği bir milden alınan hareket basit bir dişli mekanizmasıyla ibrenin dönme hareketine çevrilirken,tüplü düzenekler-



ŞEKİL.6.MANOMETRE

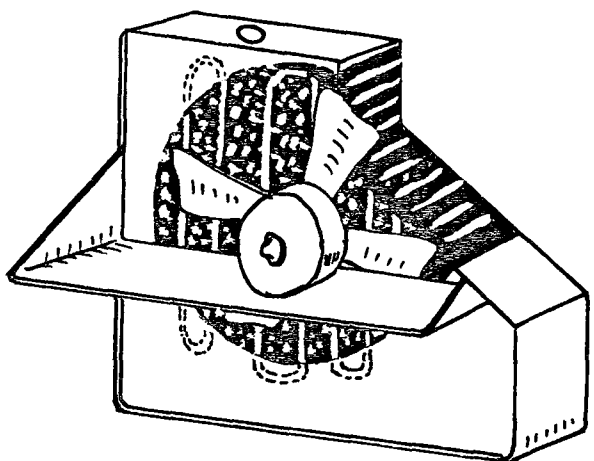
de ilk hareket basınçla şekil değiştiren bir tüpten alınır.Manometrelerin gliserinli olanları;gliserinin anı basınç değişimlerindeki sönmeyici özelliği nedeniyle uzun ömürlü olmaları dolayısıyla tercih edilir.

Manometrelerin seçiminde dikkat edilmesi gereken diğer bir nokta ise;bağlantı vida ölçüsüdür.

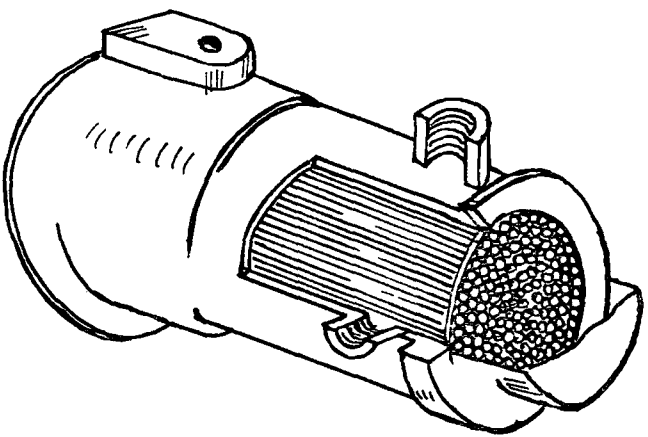
## Soğutucular

Daha önce de belirtildiği üzere;hidrolik yağlarda oksidasyonu hızlandırması nedeniyle  $50^{\circ}\text{C}$ 'ın üzerine çıkmamaktadır. Devredeki enerji kayıplarının yağda oluşturduğu sıcaklık artı-

şını karşılamak üzere; soğtucular kullanılır. Hava soğutmalı ve su soğutmalı olmak üzere başlıca iki sınıfa ayrılan soğtucular, yağ sıcaklığının belirli bir değerin üzerine çıkmasını öner.



ŞEKİL.7.HAVA SOĞUTMALI ISI DEĞ.



ŞEKİL.8.SU SOĞUTMALI ISI DEĞ.

Şekil.7'de görülen hava soğutmalı ısı değiştiricide, yağ difüzör boruları içerisinde, soğutma kanatları arasından geçer. Sisteme bir motordan tahrik alan, bir fan kanalıyla basınçlı hava üflenir. Soğutma kanalları içerisinde birkaç kez kıvrılmak suretiyle geçen yağ borularında soğuyan yağ tekrar depoya gönderilir.

Şekil.8'de görülen su soğutmalı ısı değiştirici de ise; içerisinde su devreli kollektör boruları bulunan bir tankın içinden geçen yağ, soğutularak depoya gönderilir.

Su soğutmalı ısıdeğiştiricilerinin soğutma kapasitesi, hava soğutmalılara göre daha yüksektir, fakat devreye ilaveten su gereklisi ekstra bir yük getirmesi nedeniyle dezavantaj teşkil eder.

## Isıtıcılar

Isıtıcılar; soğuk ortamlarda veya ilk çalışma esnasındaki yağ sıcaklığını; normal çalışma sıcaklığına ulaştırmak amacıyla kullanılır ve yağ içerisinde daldırılan elektrikli ısıtma çubuklarından oluşur. Bu ısıtmanın miktarı; max. olarak, madeni yağlarda  $2 \text{ Watt/cm}^2$ , su-glikol çözeltilerinde ise  $0,7 \text{ Watt/cm}^2$  büyüklüğünü geçmemelidir.

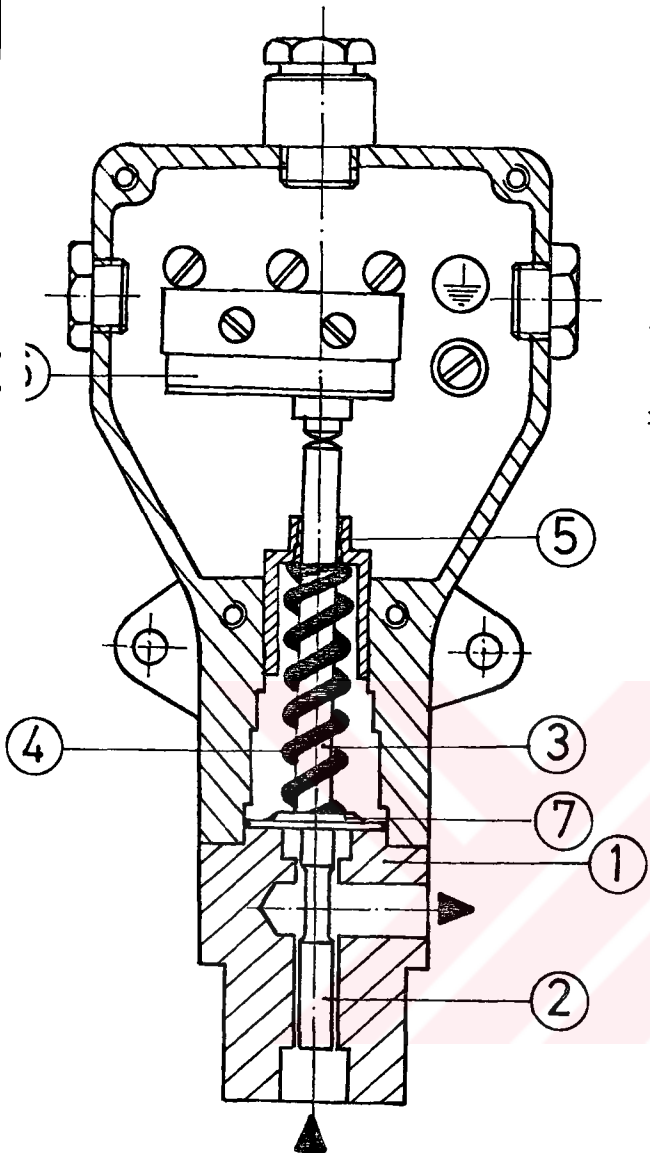
## Basınç Anahtarları

Hidrolik devrelerde; basınç kontrolü için kullanılan "basınç anahtarları", sistemdeki basınç değerine göre elektrik devresini açma veya kapama işlevi görürler.

Şekil.9'da pistonlu bir basınç anahtarı görülmektedir. Burada:

- 1 Gövde
- 2-piston
- 3-itici pim
- 4-yay
- 5-ayar vidası
- 6-Elektrik anahtarları
- 7-mekanik durdurucu(strok sınırlandırıcı)dır.

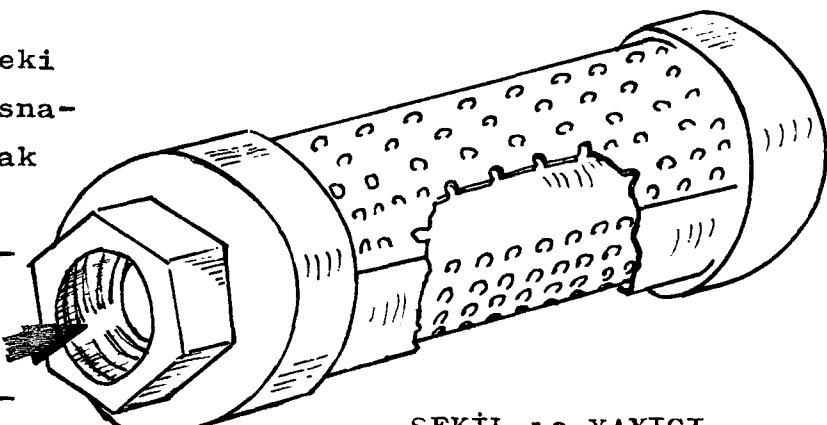
Denetlenmek istenen hidrolik basıncı (2) nolu pistonu ileriye iter ve bu strok belirli bir değeri bulduğunda(3) nolu itici pim elektrik anahtarına basar. Bu yolla sistemin elektrik devresine kumanda edilir.



ŞEKİL.9.BASINÇ ANAHTARI

## Yayıcılar

Hidrolik devrelerdeki yağın depoya dönüşü esnafındaki hızını azaltmak ve depo içerisindeki çalkalanmayı ve gürültüyü minimize etmek amacıyla, depolar içinde kullanılan yayıcılar; prensip olarak



ŞEKİL.10.YAYICI

çevresinde şaşırtmalı bir şekilde yerleştirilmiş boşaltma delikleri bulunan, eş çrkezli iki silindirden oluşur.

## c.) HİDROLİK POMPALAR

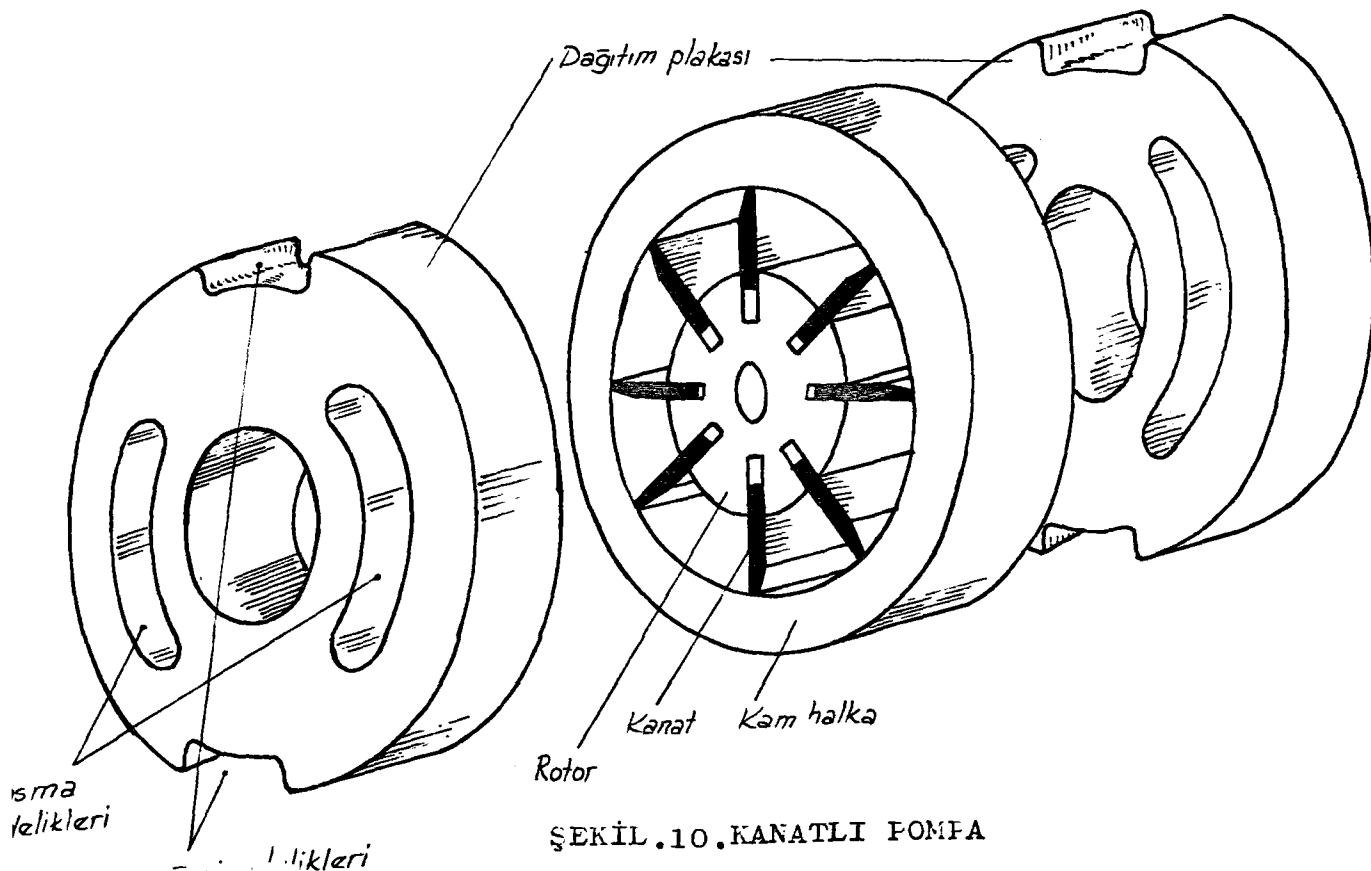
Hidrolikte kullanılan pompalar; bir motordan aldığı enerjiyi, emme ve basma yapmak suretiyle hidroliğe aktaran devre elemanlarıdır. Endüstride kullanılan bütün pompa tiplerinde çalışma prensibi aynıdır. Hidrolik pompalar emiş hattında genişleyen bir hacim, basınç hattında ise daralan bir hacim oluşturur.

Pompa endüstrisinde birçok özgün tip bulunmakla birlikte, en geniş kullanım alanına sahip üç sınıf pompa mevcuttur.

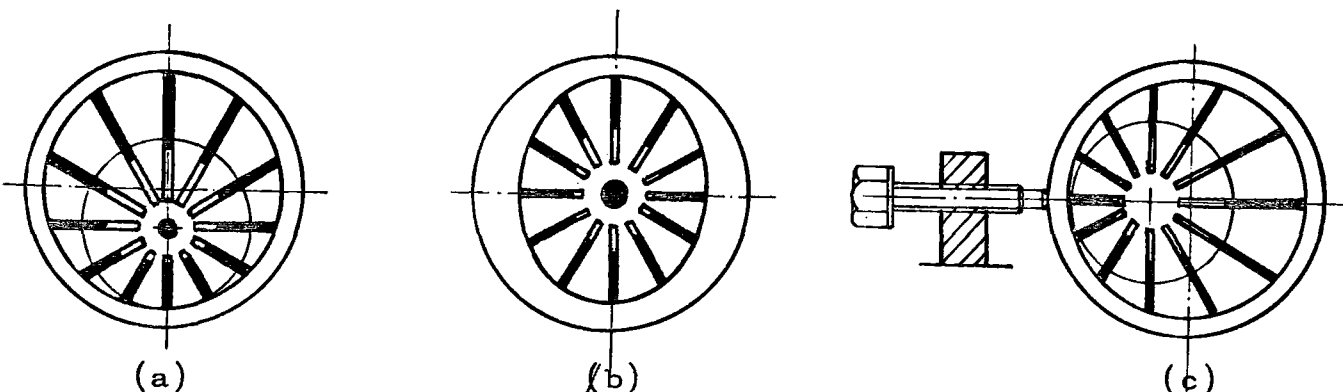
### Kanatlı pompalar

Kanatlı pompalar prensib olarak; bir rotor üzerinde çevresel olarak yerleştirilmiş ve merkezkaç kuvvetinin etkisiyle içerisinde döndükleri kovan yüzeyine basınç yapmak suretiyle sızdırılmazlık oluşturan ve kovan-rotor eksantiritesi (veya kovanın kendi eksantirikliği) nedeniyle, hacim daralma ve genişlemeleri suretiyle emme ve basma hareketi yapan pompa tipleridir.

Sistem genellikle üzerinde emme ve basma delikleri bulunan iki adet dağıtım plakası ile bunların ortasında bulunan bir kovandan teşkil eder.



ŞEKİL.10.KANATLI POMPA



ŞEKİL.11.KANATLI POMPA ÇEŞİTLERİ

Kanatlı pompalar:sabit verdili ve değişken verdili olmak üzere başlıca iki gruba ayrılırlar.Halka ve rotorun yataklanma eksenlerinin kaçık olduğu (şekil.11-a) veya halkanın kendisinin eksantrik olduğu( şekil.11-b) sabit verdili pompalardan alınan debi miktarı değişmez.Günümüz endüstrisinde,sabit verdili pompa türü olarak (b)'de görülen eksantrik halkalı ( merkezlenmiş)pompalar kullanılmaktadır.Şekil.11-c'de görülen değişken verdili kanatlı pompada ise;ayar vidası yardımıyla çeşitli debi değerleri sağlanabilir.

Kanatlı pompalarda teorik verdi:

$$Q_t = \frac{2.h.B.(d - h).\pi.n}{1000} \quad (\text{lt/dak}) \quad \dots\dots\dots (24)$$

h : kanat stroku (cm)

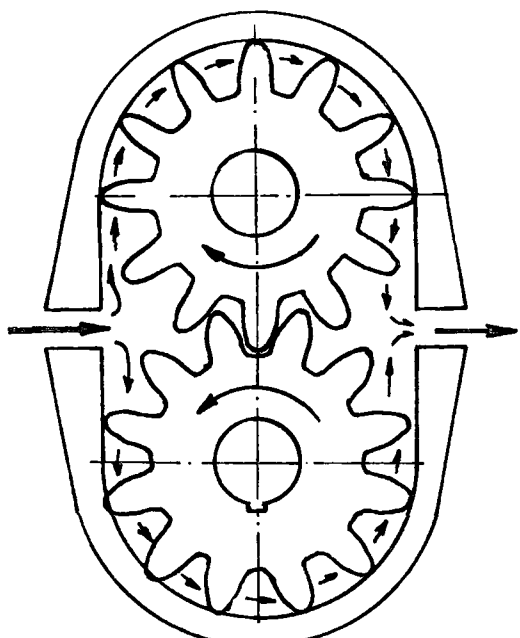
B : kanat genişliği (cm)

d : rotor çapı (cm)

n : devir sayısı (dev/dak)

## Dişli pompalar

Dişli pompalar;birisini motora bağlı ve diğeri de avara olan iki adet dişlidenden oluşur.Emiş hattında,dişlilerin birbirisini kavramaları esnasında oluşan artan hacim dolayısıyla emiş gerçekleşir.Pompa içeresine emilen yağı dişler arasında taşınarak,basma hattına gelir.Furada oluşan azalan hacim de,pompanın yağı basma-



ŞEKİL.12.DİŞLİ POMPA

Dişli pompalarda; düz dişli, helisel dişli ve çavuş dişli kullanılmaktadır. Emiş ve basınç hatlarındaki, negatif ve pozitif basınç arasında oluşan büyük basınç farkları nedeniyle, yataklara gelen yüksek basıncı karşılamak amacıyla, emiş hattından alınan bir hatla yataklara yağ basmak suretiyle, hidrostatik yataklama uygulanır.

**Disli pompalarda verdi :**

formülü ile hesaplanır.

## Pistonlu pompalar

Pistonlu pompaların birçok çeşiti mevcut olmakla birlikte; kuramsal olarak, Şekil.13'de görülen "eğim plakalı pistonlu pompa"da olduğu gibi bir piston kanalıyla pompa basıncının sağlanması genel kuraldır.

Şekildeki pistonlu pompada; eğim plakası sabit,silindir bloku ise kendi ekseni etrafında döner.Bu esnada pistonlar,piston yuvaları içerisinde "s" strok mesafesi kadar hareket eder.Şekilde pistonun çeşitli dönme açılardındaki konumları gösterilmistir.

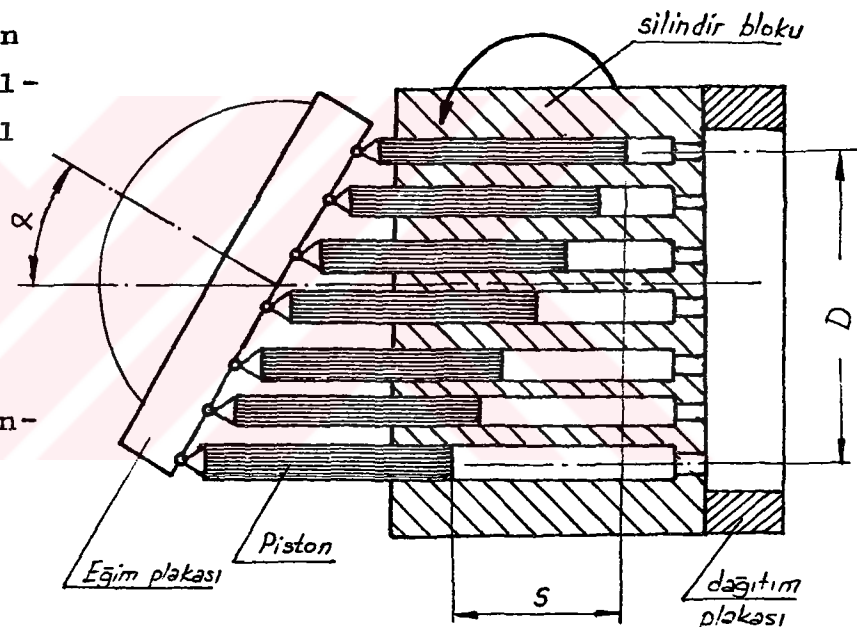
Pistonlu pompanın eğim plakasının açısını değiştirmek suretiyle debisini artırmak veya azaltmak mümkündür.Pistonlu pompada debi :

formülü ile hesaplanır. Burada:

d : piston çapı (cm)

D : piston dönme capı

$\alpha$  : eğim plakası açısı



### ŞEKİL 13. PİSTONLU POMPA

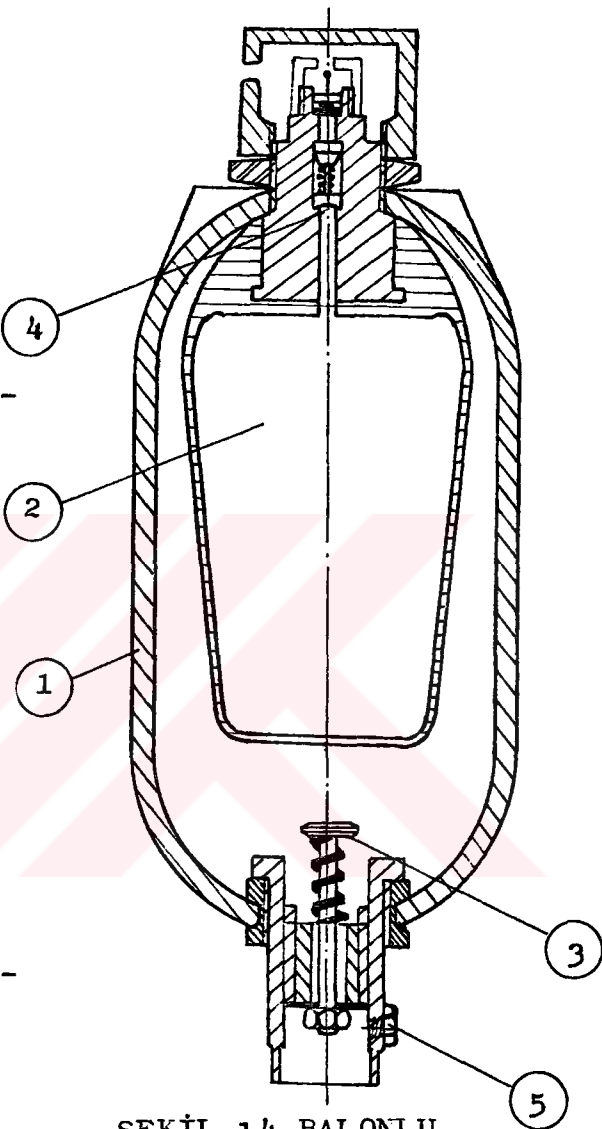
## d.) HIDROLİK BİRİKTİRİCİLER

Biriktiriciler; belirli bir hacimdeki yağı biriktirmek ve istendiğinde devreye iade etmek işlevini görürler.

Sıcaklık farkları nedeniyle ortaya çıkan hacim değişimlerini absorb etmesi, seri hareket istenen devrelerde gereken ani basıncı tamamlaması nedeniyle motor ve pompa seçiminde tasarruf sağlama, devredeki ani basınç değişimleri ve kaçaklardan hasil olan yağ eksilerini karşılaması gibi birçok yararları nedeniyle hidrolik biriktirciler kullanılmaktadır.

Hidrolik biriktircilerin; ağırlıklı, yaylı, pistonlu, membranlı ve balonlu tipleri mevcuttur. Biz burada kullanım pratığı nedeniyle, giderek daha çok tercih edilen balonlu biriktirciyi örnek olarak inceleyeceğiz.

Şekil.14'de görülen balonlu birikticide; çelik gövde(1), azot balonu(2), düzlemsel valf(3), gaz valfi(4) ve yağ deliği(5) görülmektedir. Başlangıç konumunda; balon azot gazı ile dolarak düzlemsel valfe basar. Burada düzlemsel valfin görevi balonun hacim büyümeyi tahtit etmektir. Biriktirme başlangıcından itibaren ise, yağ basıncı balon basıncını yenerek düzlemsel valfi açarak gövde içeresine dolmaya başlar. Bu akış, balon içerisinde hapsolan azot gazının basıncının, yağ basıncına ulaşmasına ka-



ŞEKİL.14. BALONLU  
BİRİKTİRİCİ

dar devam eder. Denge konumunda akış durur. Biriktircinin devreyi tamamlaması ise; devre basıncının, gaz basıncının altına düşmesi nedeniyle hareketin tersine dönmesi şeklinde olur. Bu devreden yağ çekme ve gerekiğinde devreye iade etme olayı tüm devre çalışması boyunca devam eder.

Görüldüğü üzere hidrolik biriktircilerde bir ön yükleme gerekmektedir. Bu ön yükleme basıncı, diagramlardan alınabileceği gibi, sistem dizaynında bilinen minimum ve maksimum çalışma basıncını esas alan bir hesaplamayla da bulunabilir.

Vine balonlu biriktiricileri örnek alırsak; söz konusu ön yükleme basıncı, balon içerisinde basılacak azot gazi basıncını ifade eder. Faktikte gaz ön doldurma basıncı 0,9 minumum sistem basıncı kadar seçilmelidir.

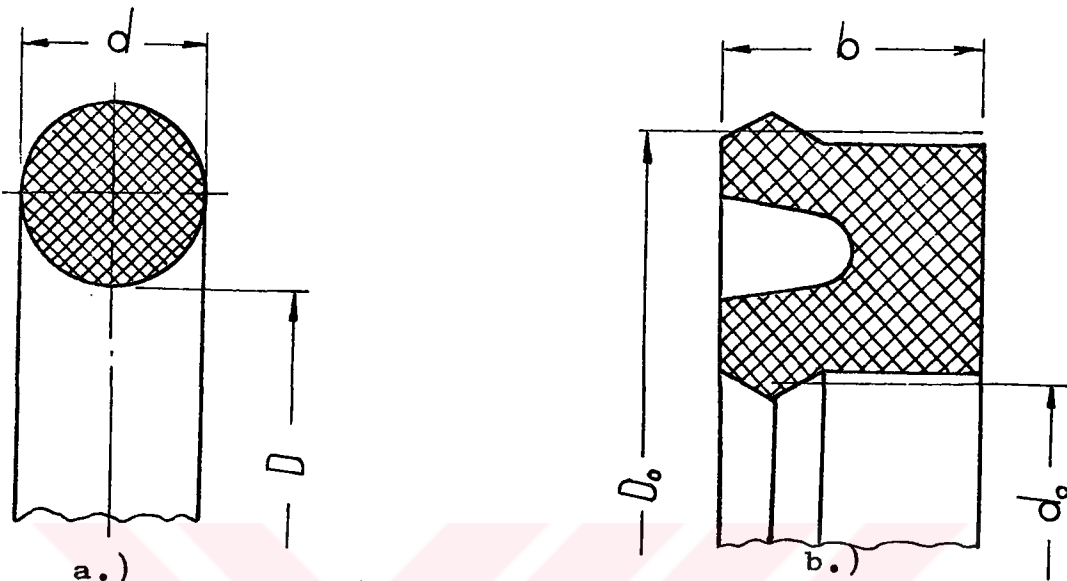
Biriktiricinin dolum ve boşalım süresinin uzun olduğu devrelerde gazda oluşan ısı değişiminin transfer edildiği düşünüllererek ;

formülü kullanılır.

Hareketin seri olduğu durumlarda ise; azot gazının özgül ısı değeri olan  $x=1,4$  değeri dikkate alınarak;

formülünden hesap yapılır.

## e.) SIZDIRMAZLIK ELEMANLARI



ŞEKİL.15.SIZDIRMAZLIK ELEMANLARI

Hidrolik devreler basınçlı olarak çalışıklarından, basınçlı olan kısım ile basınçsız kısım arasında çok iyi bir yalıtım yapmak gereklidir. Bu amaçla hidrolik devrelerde, O-ring'ler (şekil.15.a) ve yağ keçeleri (şekil.15.b) kullanılır. O-ring'ler DIN 3770 ve yağ keçeleri de DIN 3760'da normalleştirilmiştir.

Yağ keçesi ve o-ring malzemesi olarak başlıca; NBR (Butadien akril nitril kauçuk), FKM (flour kauçuk) ve AU-EU (poliüretan) madeni yağa dayanıklı malzemeler olarak, madeni yağ kullanılmayan devrelerde ise; SBR (Styrol butadien kauçuk) ve EPDM (Etilen propilen terpolimer kauçuk) kullanılır.

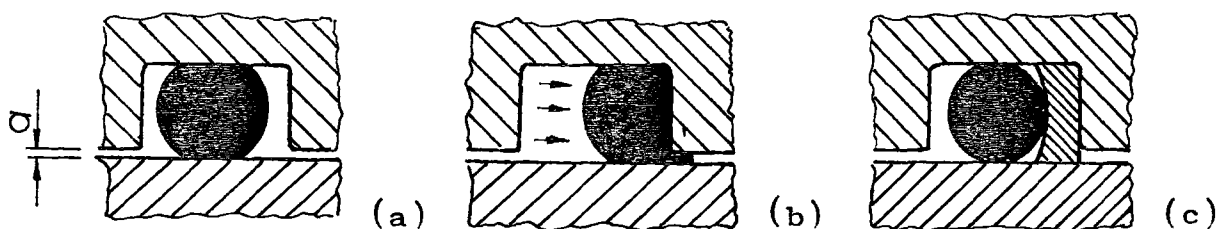
Ayrıca sızdırmazlık elemanlarının ömrünü uzatmak için yapılan dayanma parçaları (bkz. Şekil.16.c), sürtünme yüzeyleri gibi yerlerde de teflon, halon ve delrin gibi ticari isimlerle bilinen poli tetra flour etilen ve poliasetal malzemeler kullanılır.

### O-Ringler

Frensib olarak dinamik olmayan parçaların sızdırmazlığını sağlamak amacıyla kullanılan O-ring'ler; doğru malzeme seçimi ve boyutlandırma durumlarında 1000 bar gibi çok büyük basınçlara kadar sızdırmazlık özelliklerini korurlar. O-ring malzemesi aşağıdaki malzemeler kullanılır;

NBR ..... 70 Shore sertlik.... çalışma sıcaklığı. -40°C, +100°C

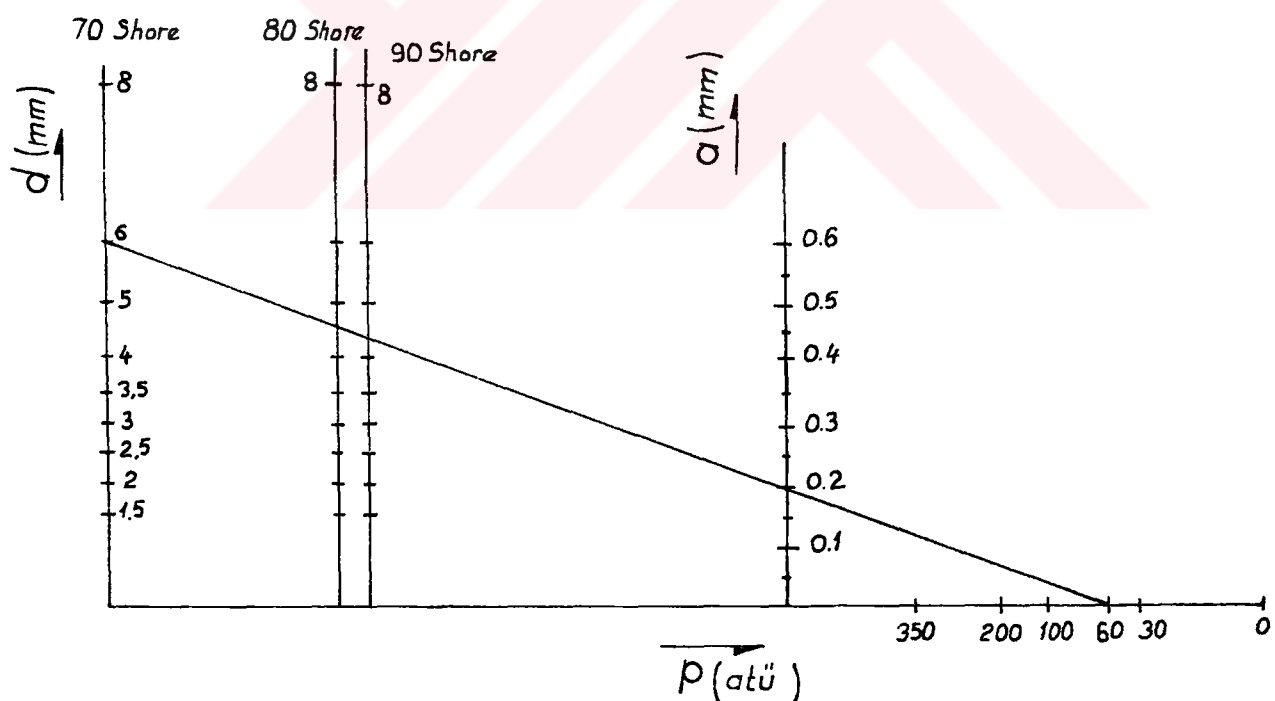
NBR ..... 88 " " .... " " -30°C, +100°C



ŞEKİL.16. O-RİNG'LƏRİN ÇALIŞMASI

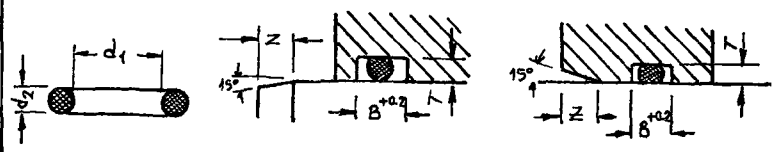
O-ring'lerin boyutları DIN 254'de belirtilen şartlarda ölçülür. İlgili standart da tanımlanan ölçüm aletinde O,ring max.1 Newton'luk bir kuvvetle ölçüm cihazına takılarak çap ölçümü yapılır.

O-ring'in ezilmemesi veya çok fazla şekil değiştirmek suretiyle kısa sürede deform olmaması için Şekil.16.a'da görülen "a" boşluk değerinin çok büyük önemi vardır. Bu değer Şe-



ŞEKİL.17. O-RİNG YUVA BOŞLUĞUNUN TAYİNİ

Şekil.17'den basınc, malzeme sertliği ve ring çapına bağlı olarak seçilebilir. Şekildeki örnekte, 6 mm et kalınlığında, 70 shore sertliğinde ve 60 atü'de çalışacak bir o-ring yuvasının boşluğunun 0.2 mm olması gereği görülmektedir.



$d_2$	HİDROLİK T	PNOMATİK T	B	Z
1,5	1,3	1,35	1,9	1
1,78	1,5	1,55	2,3	1,1
2	1,7	1,8	2,4	1,2
2,4	2,1	2,15	2,9	1,4
2,5	2,2	2,25	3	1,4
2,62	2,3	2,35	3,1	1,5
3	2,6	2,75	3,6	1,6
3,5	3,05	3,25	4,2	1,8
3,53	3,1	3,25	4,2	1,8
4	3,5	3,7	4,8	2
4,5	4	4,2	5,4	2,3
5	4,45	4,65	6	2,5
5,33	4,7	4,95	6,4	2,7
5,5	4,95	5,15	6,6	2,8
5,7	5,1	5,35	6,9	3
6	5,4	5,65	7,2	3,1
6,5	5,8	6,1	7,8	3,3
6,99	6,3	6,6	8,4	3,6
7	6,3	6,6	8,4	3,6
7,5	6,7	7,1	9	3,8
8	7,2	7,6	9,6	4
8,5	7,7	8	10,2	4,2
9	8,2	8,5	10,8	4,3
9,5	8,6	9	11,4	4,4
10	9,1	9,5	12	4,5

ŞEKİL.18. O-RİNG KANAL ÖLÇÜLERİ

## Yağ keçeleri

Keçeler, dinamik aksamda-  
ki sızdırmazlığını sağlayan  
sızdırmazlık elemanlarıdır.  
Keçeler tek ya da takım ola-  
rak kullanıldıkları gibi,  
tek kullanılan keçeler de  
kesitlerinin simetrik veya  
asimetrik olmalarına göre  
farklı amaçlarla kullanılır-  
lar. Örneğin şekil.15.b'de  
görülen simetrik keçeler  
hem dış çapta ve hem de  
milde (boğazda) sızdırmaz-  
lık sağlarlar. Asimetrik ke-  
çelerde ise yanlış boğazda veya dışçapta sızdırmazlık sağla-  
yacak şekilde tek dudak mevcuttur. (Şekil.20)

Şekil.19'da görülen yataklama değerleri ise;

$$B = b + 1$$

$$B_f = 5,7 \text{ mm} (D_o = \phi 20 \text{ mm} \dots \phi 200 \text{ mm ölçüler için})$$

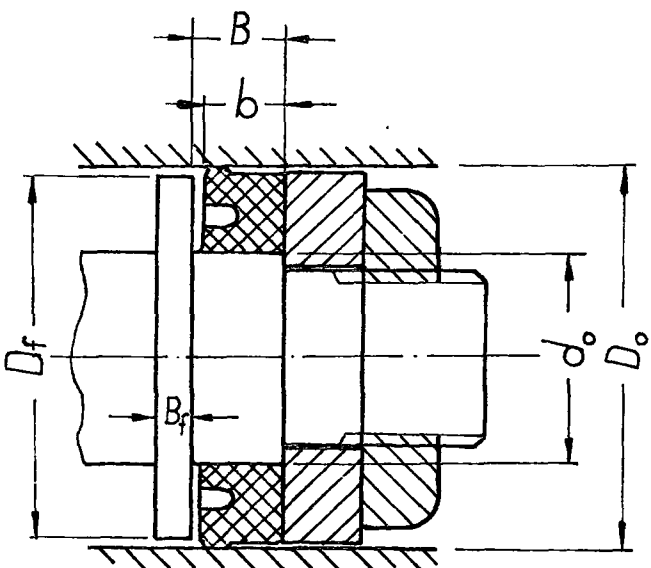
$$B_f = 10 \text{ mm} (D_o > \phi 200 \text{ mm için})$$

$$D_f = D_o - 1 \text{ mm} (D_o < \phi 140 \text{ mm için})$$

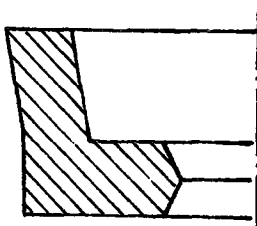
$$D_f = D_o - 2 \text{ mm} (D_o > \phi 140 \text{ mm için})$$

şeklindedir.

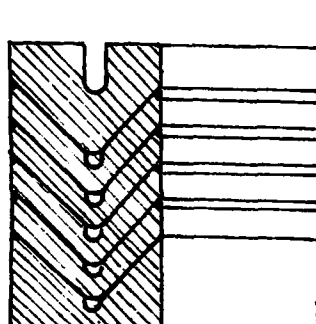
Aşağıda şekil.20'de bir boğaz keçesi(asimetrik) ve şekil.21  
de takım keçe görülmektedir.



ŞEKİL.19.YAĞ KEÇESİ MONTAJ  
ÖLÇÜLERİ



ŞEKİL.20.ASİMETRİK TEK KEÇE



ŞEKİL.21.TAKIM KEÇE

## f.) HİDROLİK SİLİNDİRLER

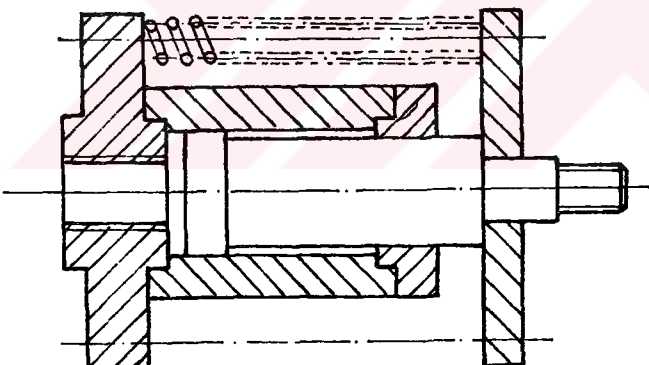
Hidrolik devrelerde; pompanın devreye verdiği basıncı doğrusal hareket olarak mekanik enerjiye çeviren devre elemanlarına "hidrolik piston" adı verilir.

Pistonlar başlıca üç çeşittir.

- 1.Tek etkili pistonlar
- 2.Çift etkili pistonlar
- 3.Özel amaçlı pistonlar.

### 1.TEK ETKİLİ PİSTONLAR

İleri hareketin devredeki yağ basıncıyla gerçekleştiği, geri hareketin ise; piston mili kendi ağırlığı, karşı ağırlık veya yay kuvveti gibi çeşitli karşı kuvvetlerle gerçekleştirildiği pistonlara tek etkili pistonlar denir. Bu pistonlarda; piston göbeği bulunmayabilir. Böylece durumlarda, piston milinin kendisi göbek işlevi görür. Kuşkusuz bu, imalatı kolaylaştırır ve maliyeti düşüren bir durumdur.



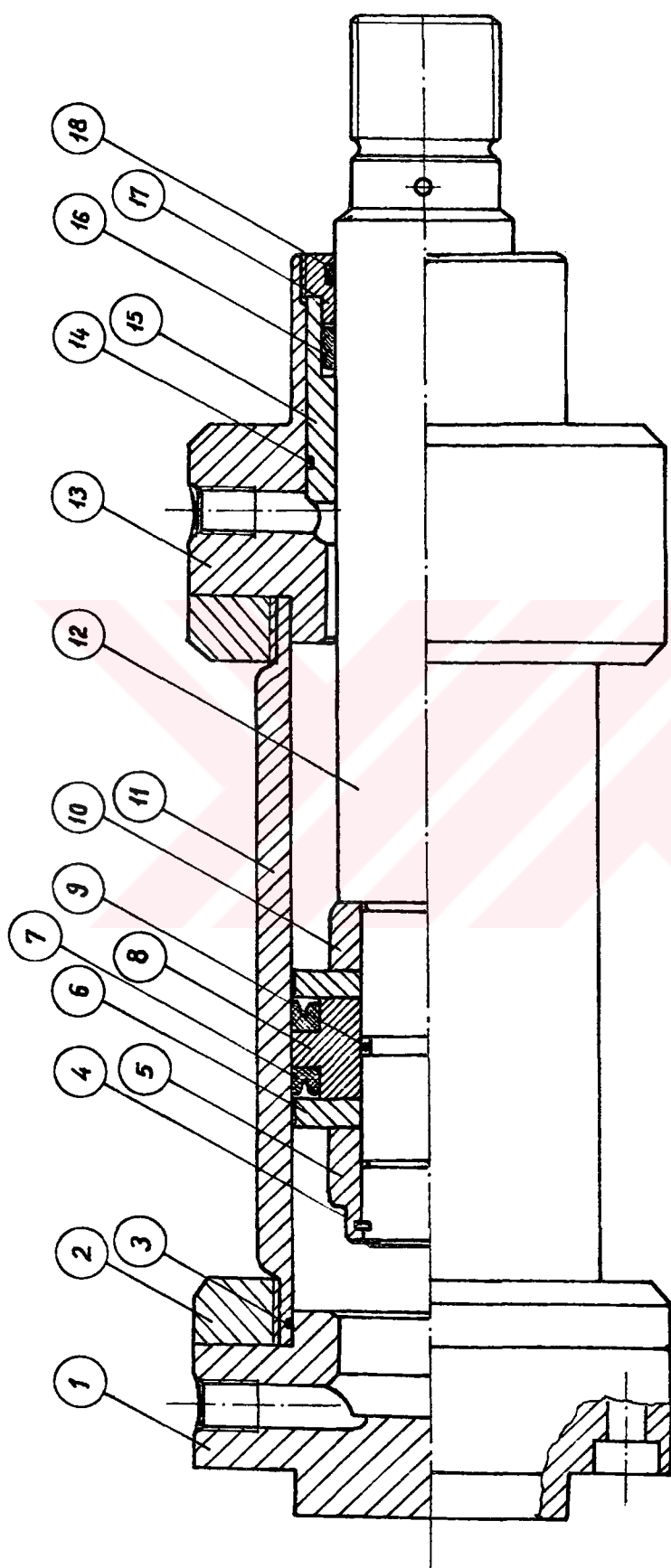
ŞEKİL.22.TEK ETKİLİ SİLİNDİR

### 2.ÇİFT ETKİLİ PİSTONLAR

Bir ya da iki piston miline sahip olan ve sistem basıncı ile iki doğrultuda da kuvvet oluşturabilen pistonlara "çift etkili piston" denir. Endüstriyel hidrolikte en çok kullanılan pistonlar bu tip pistonlardır.

Bu pistonlarda belirli bir üst hız limitinin üzerine çıkıldığında darbeli çalışma oluşur. Bunu önlemek amacıyla yastıklama burçları kullanılır.

Şekil.23'te konstrüksiyonu görülen çift etkili piston aşağıdaki parçalardan oluşturulmuştur.



ŞEKİL. 23. ÇİFT ETKİLİ PİSTON

- |                     |                    |
|---------------------|--------------------|
| 1.Arka kapak        | 11.Piston gömleği  |
| 2.Flans             | 12.Piston mili     |
| 3.O-ring            | 13.Ön kapak        |
| 4.Segman            | 14.O-ring          |
| 5.Yastıklama burcu  | 15.Yataklama burcu |
| 6.Keçe pulu         | 16.Boğaz keçesi    |
| 7.Keçe              | 17.Keçe kapağı     |
| 8.Keçe yuvası       | 18.Toz keçesi      |
| 9.O-ring            |                    |
| 10.Yastıklama burcu |                    |

Şimdi piston dizaynında esas alınan değerler ve hesaplama kuralları üzerinde duralım.

Silindir gömlekleri genellikle St35 veya St52 çelik çekme borular,dikişli borular veya dolu malzemeden delme suretiyle elde edilen borulardan imal edilir.

Silindir gömleğinin en önemli olan kısmı iç yüzeyidir.CETOP standartlarına göre;bu yüzeyin,0.2-0.4-0.8-1.6 ve 3.2  $\mu\text{m}$  yüzey pürüzlülük değerlerine sahip olması,ovalığının 2-4  $\mu\text{m}$  değerleri arasında olması ve konikliğinin 0.2-0.5 mm/m mertebesinde olması gereklidir.Yataklama burcu ile piston mili arasındaki tolerans değerlerinin ise;IT7 ve IT8 olması istenir.

Silindir gömleği et kalınlığının hesaplanması ise DIN 2413'e göre yapılır.Buna göre;

Gömlek borusu dış çapının, iç çapına oranı;

$$\frac{d_a}{d_i} \leq 1.7 \text{ ise } s_o = \frac{d_a \cdot p \cdot S}{200 \cdot C_{AK}} \text{ (mm)} \dots\dots (29)$$

$$\frac{d_a}{d_i} > 1.7 \text{ ise } \frac{C_{AK}}{S} = \frac{(r_a^2 - r_i^2) \cdot p}{(r_a^2 - r_i^2) \cdot 100} \text{ (daN/mm}^2\text{)} \dots(30)$$

formüllerinden faydalanjılır.Bu formüllerde;

$d_a$  : Boru dış çapı (mm)

$p$  : Basınç (bar)

$d_i$  : Boru iç çapı (mm)

$S$  : Emniyet katsayıısı (1,7-2)

$s_o$  : Boru et kalınlığı (mm)

$C_{AK}$  : Malzeme akma gerilmesi(daN/mm<sup>2</sup>)

Hidrolik silindirlerin seçiminde dikkat edilmesi gereken bir diğer husus ise; pistonun bağlama biçimine bağlı olarak piston koluğunun (milinin) flambaj boyunun hesaplanmasıdır.

Öncelikle piston milinden söz edelim. Milin imalatında NKE Ç 51420 (X 20 Cr 13) paslanmaz çelik (veya muadili) kullanılabilir. Milin imalatında; tornalamayı takiben, taşlama ve 40 - 60  $\mu\text{m}$  (yarıçapta) sert krom kaplama ve taşlama yapılmalıdır. Piston millerinin yüzey pürüzlülük değeri 2  $\mu\text{m}$ 'yi aşmamalıdır.

Hidrolik silindirlerde burkulma yükü ;

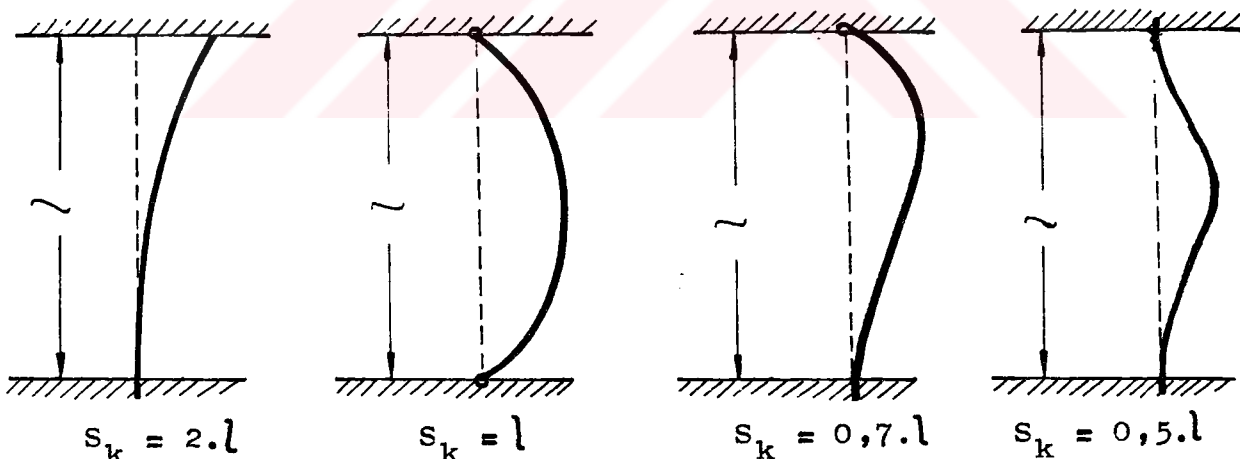
formülü ile hesaplanır. Burada;

E : Elastite modülü ( çelik için  $2.1 \times 10^6$  daN/cm<sup>2</sup> )

**J** : Tarafsız eksene göre atalet momenti ( $\text{cm}^4$ )

$S_k$ : Serbest burkulma boyu (cm)

$S_k$  serbest burkulma boyu değeri aşağıdaki tablodan alınabilir.



Buradan maksimum çalışma yükü :

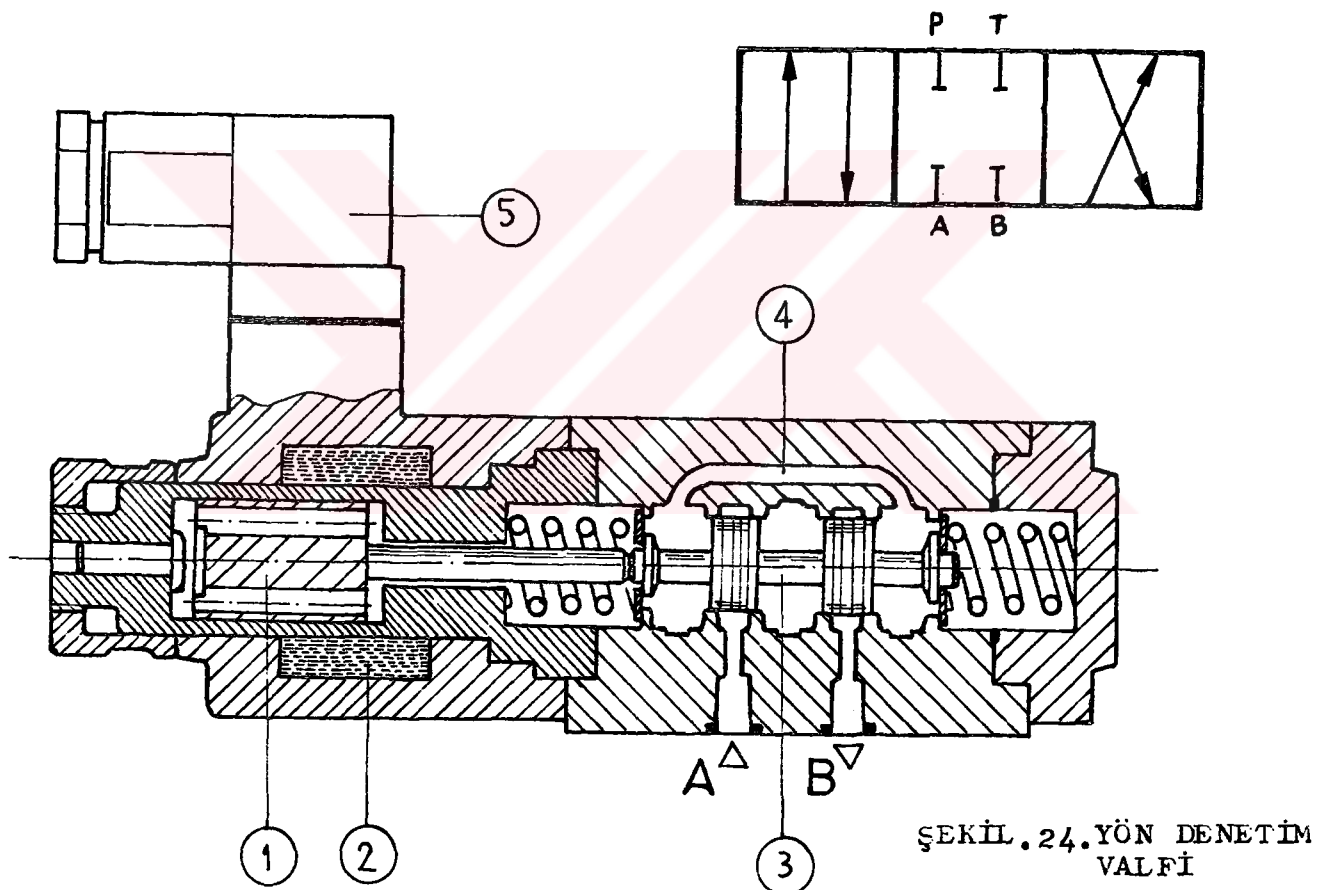
$$F = \frac{K}{S} \quad ( S : \text{Emniyet katsayısı } 2,5-3,5 )$$

## g.) VALFLER

### 1. Yön denetim valfleri

Gövdesindeki deliklerden yağ akışına,bir sürgü vasıtasiyla kumanda edilen yön denetim valfleri adından da anlaşılacağı üzere yağın akış yönüne kumanda eder.Sürgü mekanik veya bobin yoluyla ileri geri hareket ettirilmek suretiyle,valf gövdesi üzerinde bulunan deliklerden bazıları kapanır veya açılır.

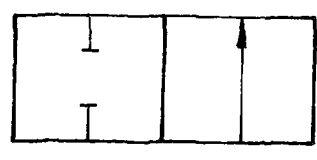
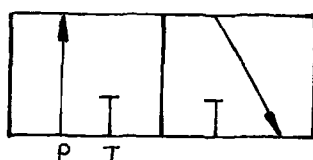
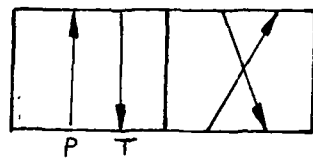
Aşağıda Şekil.24'te konstrüksiyon resmi görülen yön denetim valfi 4 yollu,3 konumlu ve normalde kapalı bir yön denetim valfi-



dir.Bu tanımlamanın açıklamasına geçmeden önce,bu valfin parçalarını açıklayalım.Burada;(1)çekirdek,(2)sargı,(3)sürgü,(4)sistem bağlantı deliği ve (5)bobindir.A deliği pompaya ve B deliği de depoya bağlanmıştır.Bobinin elektriklenmesiyle hareket ettirilen sürgü A ve B deliklerinin sistemdeki bağlantı yönlerini değiştirmek suretiyle,örneğin bir hidrolik silindirin ileri ve geri hareket etmesini sağlar.

Sürgünün hareketi esnasında valflerin aldığı konumlar,farklı karelerle gösterilir.Ve tüm valfler enaz iki konumludurlar.Gövdesinde bulunan delik adetine göre de 4 yollu,3 yolu veya 2 yolu gibi adlandırılırlar.

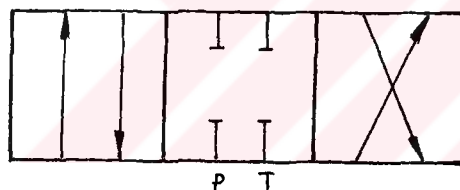
Aşağıda iki konumlu ve sırasıyla 4 yollu,3 yolu ve 2 yolu valf görülmektedir.



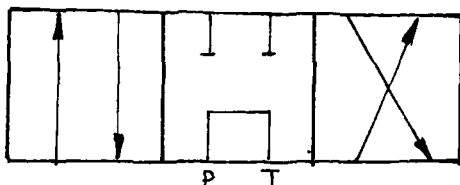
ŞEKİL .25

Sembollerde gösterilen P ve T delikleri,pompa ve tank bağlanması tılarını gösterir.

Ayrıca valflerin üç konumlu olanlarında;bir orta konum mevcuttur.Bu orta konum,normalde kapalı veya normalde açık olabilir. Şekil 26'da bu tip valfler şematik olarak gösterilmiştir.



a.) Normalde kapalı valf

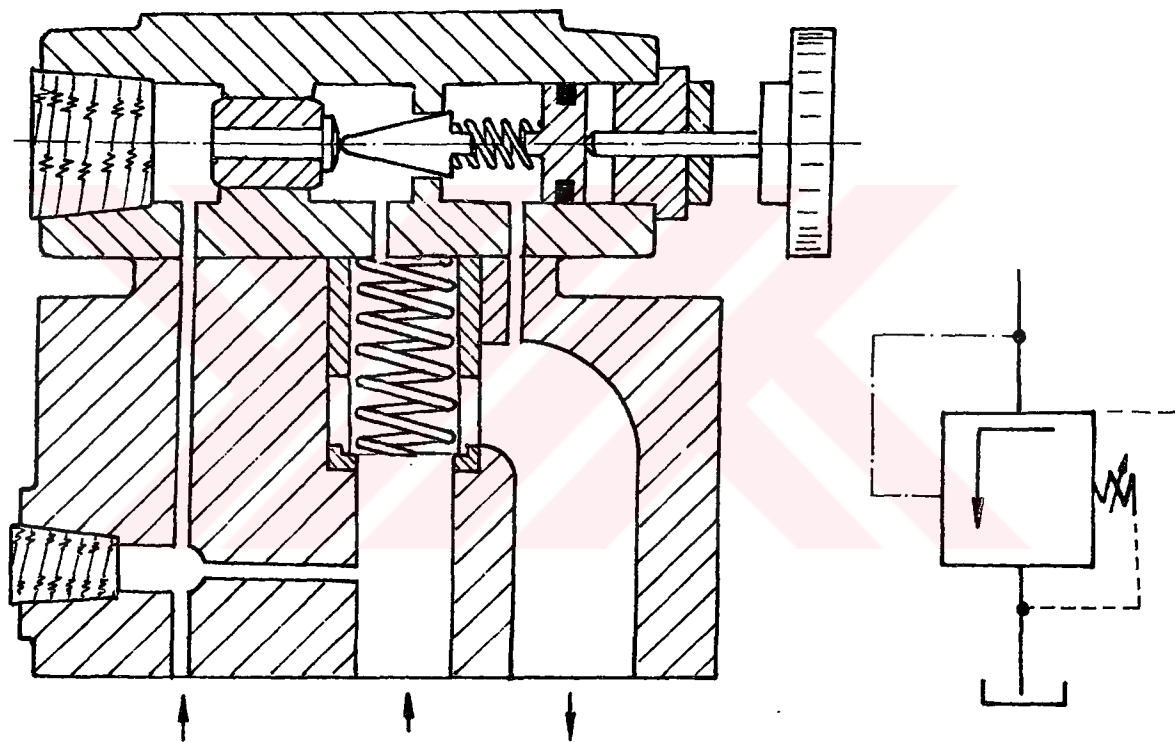


b.) Normalde açık valf

ŞEKİL.26. ORTA KONUMLU YÖN DENETİM VALFLERİ

## 2. Basınç denetim valfleri

Hidrolik sistemlerin basınçlarının denetlenmesinde kullanılan basınç denetim valfleri; normalde kapalı ve normalde açık olmak üzere iki ana başlıkta incelenebilir. Şekil 27. de konstrüksiyonu görülen normalde kapalı basınç denetim valfleri; sistemin güvenliğini sağlamak amacının yanısıra, çok işlemeli bir sistemde işlem sıralarının tayin edilmesi amacıyla da kullanılır.



ŞEKİL 27. NORMALDE KAPALI BASINÇ DENETİM VALFI

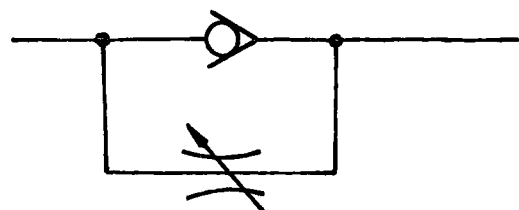
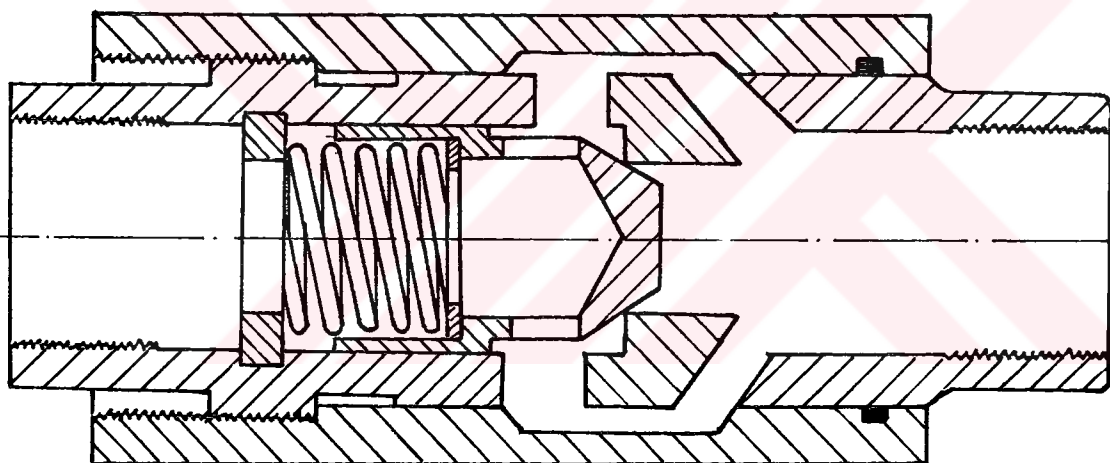
Örneğin bir takım tezgahında, önce mengenin parçayı kavramasını ve daha sonra da, örneğin delme işlemini yapmak istiyorsak; sabit bir pompa basıncı altındaki sisteme, mengene devresine daha düşük açma basıncılı bir sıralama valfi, delme devresine ise daha yüksek açma basıncılı bir sıralama valfi koymak suretiyle, işlem sıralarını tayin edebiliriz. Basıncılı yağ önce düşük basıncılı valfi açacak ve devre hareketini tamamlayarak sistem basıncı yükselliğinde, diğer valfin açma basıncı değerine ulaşmak suretiyle ikinci işleme geçilecektir.

Normalde açık basınç denetleme valfleri ise; basınç düşürücü valf olarak kullanılır. Giriş ve çıkış delikleri arasında bulunan bir bağlantı deliği vasıtasyyla, sıralama valfinin tam tersine, akış basıncı yükseldiğinde, valf kısma yaparak basıncı düşürür.

### 3 . Akış denetim valfleri

Akış denetim valfleri; sistemdeki akış debisinin sistem elemanlarına istenilen miktarda aktarılması amacıyla akış ayarlaması için kullanılır. Akış denetim valfleri;kısma valfleri ve akış ayar valfleri olarak iki ana başlıkta incelenebilir.

Kısma valfleri ve akış ayar valflerinin ana işlevi aynı olmakla birlikte;kısma valfleri basınç duyarsız,akış ayar valfleri ise sistemdeki basınç değişimlerine duyarlıdırlar.Dolayısıyla basınç değişiminin minimize edilmesi istenen devrelerde,akış ayar valfleri tercih edilmelidir.



ŞEKİL .28 .AKIŞ DENETİM VALFİ

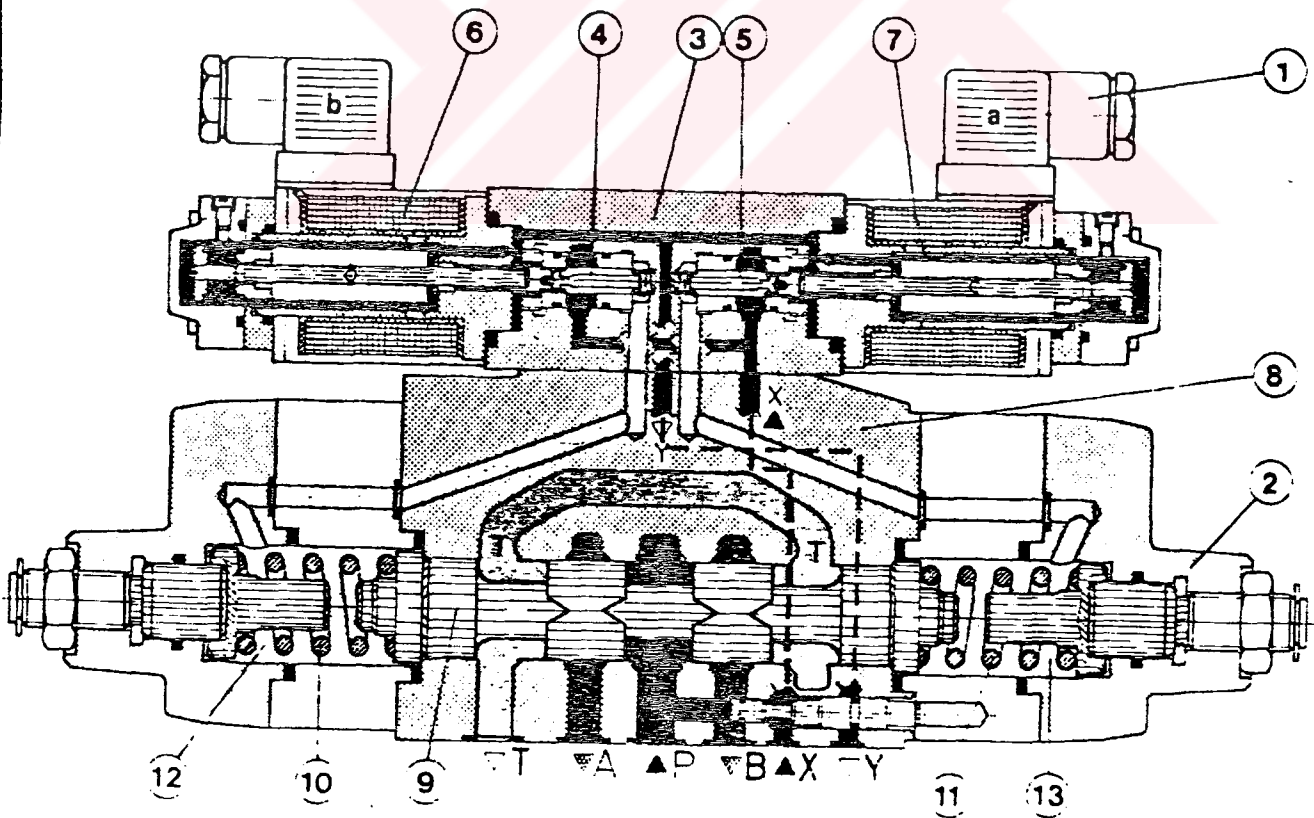
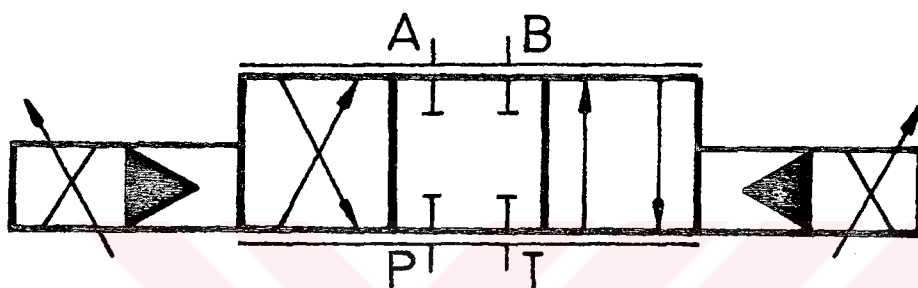
Sekil .28'de görülen akış ayar valfidir.Kısma delığının yanına görülen delikler, valfin basınç duyarlılığını (denetlemesini) sağlar.

#### 4. Oransal valf

Çıkan yağ miktarının elektrik sinyali ile ayarlandığı, sistemdeki hareketin yönünü ve hızını tayin etmek amacıyla kullanılan valflere "oransal valf" denir.

Şekil.29'da görülen oransal valfde;

(1)uyarıcı valf,(2)ana valf,(3)uyarıcı valf gövdesi,(4)(5) uyarı sürgüleri,(6)(7) orantılı bobin,(8)gövde,(9) ana sürgü,(10)(11)merkezleme yayları,(12)(13) yay bölmelirinden oluşur.



ŞEKİL.29. ORANSAL VALF

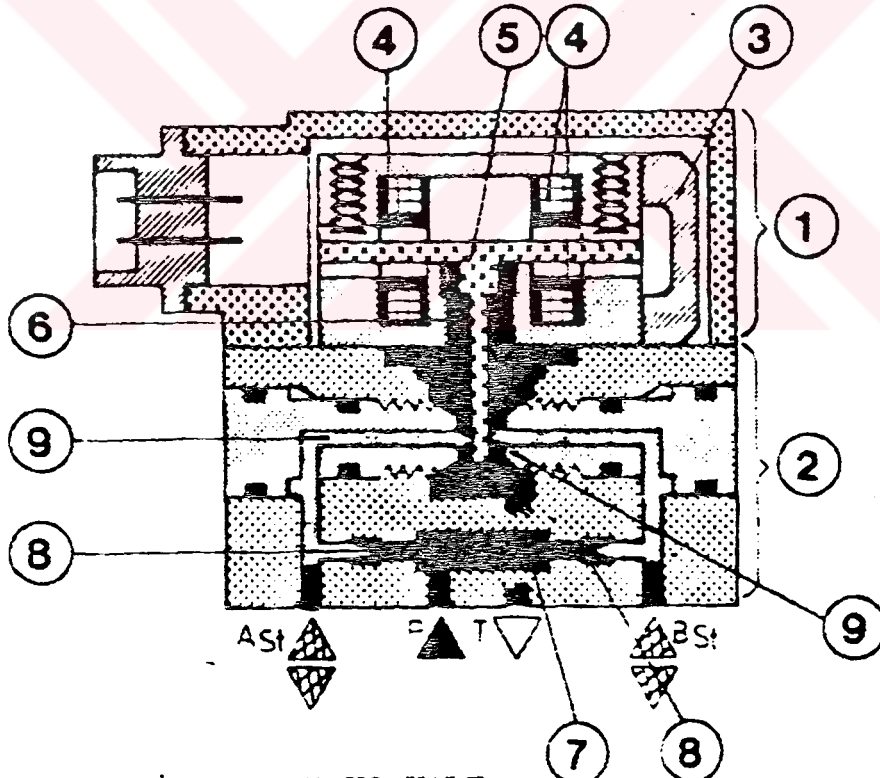
## 5. Servo valf

Genel anlamıyla; sistemde yapılan ayarlama ile sonuçlarının denetlenmesi sonucu elde edilen verilerin değerlendirilerek, kontrollü ayarlama yapabilen servo valfler; gelen elektrik sinyalinin şiddeti oranında basınç ve akış verir.

Şekil.30'da görülen iki kademeli servo valfde;

- (1) Elektrik denetim motoru
- (2) Hidrolik kuvvetlendirici
- (3) "ıknatıs
- (4) Sargılar
- (5) Çekirdek
- (6) Etli esnek boru

Elemanları görülmektedir.



ŞEKİL.30. SERVO VALF

## VI. UYGULAMA

HİDROLİK BUMLU  
DÖNER VİNÇ

## a.) KONSTRÜKSİYON HESAPLARI

### 1. Sistem ağırlıkları.

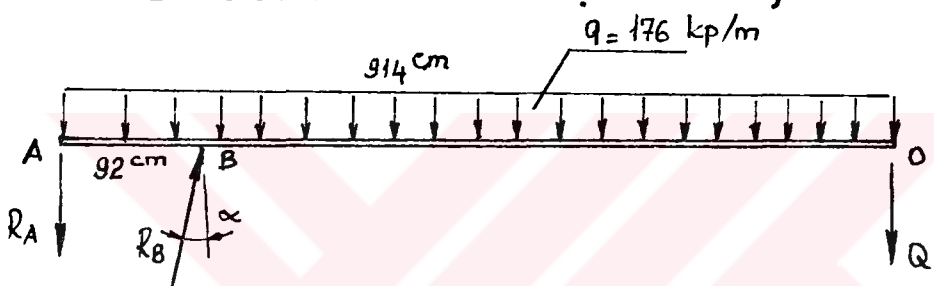
I. Bum ağırlığı;  $\approx 525 \text{ kp}$

II. Bum ağırlığı;  $\approx 685 \text{ kp}$

III. Bum ağırlığı;  $\approx 400 \text{ kp}$

Gövde ağırlığı;  $\approx 4000 \text{ kp}$

### 2. Gövdemin duruş emniyeti.



Not: Bum kollarının kendi ağırlıkları, vinc kolu boyunca  
uniform dağılıyor kabul edilmiştir.

$$\sum M_A = 0 +$$

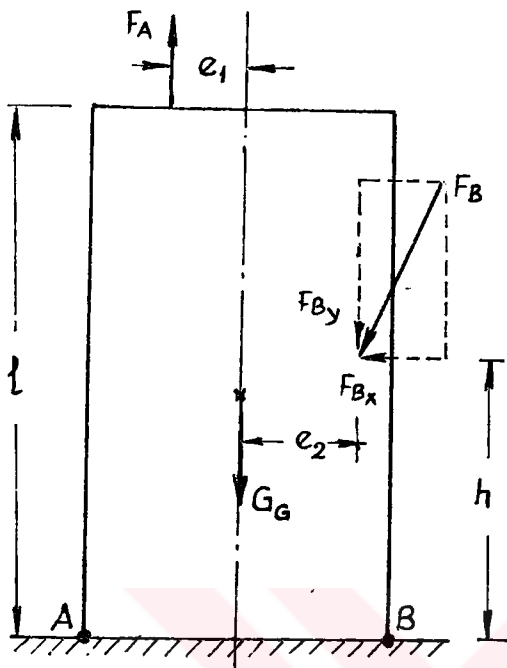
$$R_B \cdot \cos 16,64^\circ - Q \cdot g_{14} - \frac{q \cdot (g_{14})^2}{2} = 0$$

$$R_B = 70554 \text{ kp}$$

$$\sum F_y = 0$$

$$R_A + Q + q \cdot g_{14} - R_B \cdot \cos 16,64^\circ = 0$$

$$R_A = 59991 \text{ kp.}$$



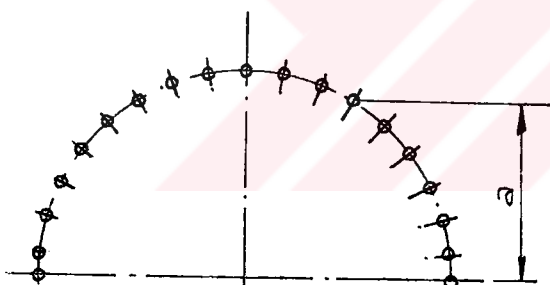
Gerilme analizi yapıldıken 36 Adet

M16 Ankray civatasının kesit alanı  
ve gürde tarafsız eksene göre  
atalet momenti toplamları esas alın-  
mıştır.

$$A_C = \frac{\pi \cdot (1,6)^2}{4} = 2,02 \text{ cm}^2$$

$$A_{Ct} = 36 \times 2,02 = 72,36 \text{ cm}^2$$

$$I_C = \frac{\pi \cdot (1,6)^4}{64} = 0,321 \text{ cm}^4$$



Steiner teoremine göre ;

$$I = I_o + a^2 \cdot A$$

$I_o$  : tarafsız eksene göre at.mom.

$a$  : eksenel kacılık ,  $A$ : kesit alanı

$$I_{Ct} = 2 \left[ 0,321 + (137)^2 \cdot 2,01 \right] + 4 \left\{ \left[ 0,321 + (134,9)^2 \cdot 2,01 \right] + \left[ 0,321 + (128,7)^2 \cdot 2,01 \right] + \left[ 0,321 + (118,6)^2 \cdot 2,01 \right] + \left[ 0,321 + (104,9)^2 \cdot 2,01 \right] + \left[ 0,321 + (88)^2 \cdot 2,01 \right] + \left[ 0,321 + (68,5)^2 \cdot 2,01 \right] + \left[ 0,321 + (46,8)^2 \cdot 2,01 \right] + \left[ 0,321 + (23,8)^2 \cdot 2,01 \right] \right\}$$

$$I_{Ct} = 678660 \text{ cm}^4$$

Buna göre A noktasındaki gerilme;

$$\tilde{\sigma}_A = \frac{F_A}{s} - \frac{F_B \cdot \sin \alpha}{I_{ct}} \times h + \frac{F_A}{I_{ct}} \times e_1 - \frac{G_g}{s} - \frac{F_B \cdot \cos \alpha}{s} + \frac{F_B \cdot \cos \alpha}{I_{ct}} \times e_2$$

$$\begin{aligned}\tilde{\sigma}_A = & \frac{59991}{72,36} - \frac{70554}{678660} \times 401 + \frac{59991}{678660} \times 20 - \frac{4000}{72,36} - \frac{70554}{72,36} \times \cos 16,64^\circ \\ & + \frac{70554 \cdot \cos 16,64^\circ}{678660} \times 20\end{aligned}$$

$$\tilde{\sigma}_A = -168 \text{ kp/cm}^2$$

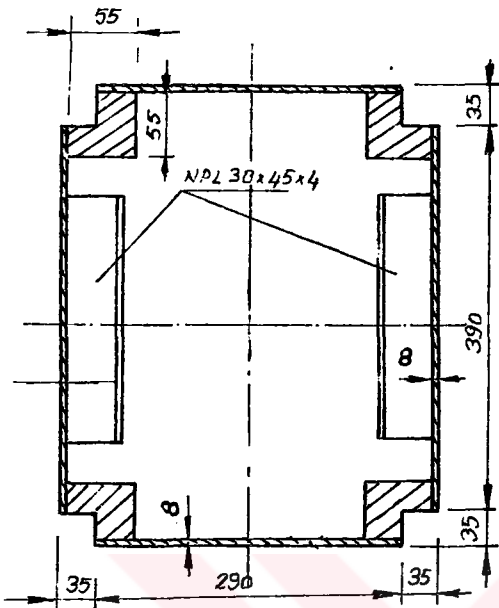
B noktasındaki gerilme;

$$\tilde{\sigma}_B = \frac{F_A}{s} + \frac{F_B \cdot \sin \alpha}{I_{ct}} \times h - \frac{F_A \cdot e_1}{I_{ct}} - \frac{F_B \cdot \cos 16,64^\circ}{s} - \frac{G_g}{s} - \frac{F_B \cdot \cos \alpha}{I_{ct}} \times e_2$$

$$\tilde{\sigma}_B = -148 \text{ kp/cm}^2$$

Sonuç olarak; sistem max. yükleme durumunda dengede durmaktadır. Gövde duruş açısından EMNİYETLİ'dir.

### 3-Bum kolları kesit emniyeti ve buruşma kontrolü .

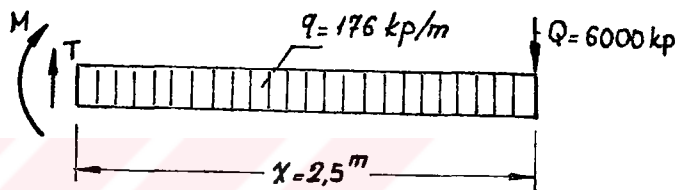


#### a.) III. Bum kolu G-G Kesiti

Kesit atelet momenti;

$$I_{GG} = 47700 \text{ cm}^4$$

Eğilme momenti;



$$M_x = Q \cdot x + \frac{q x^2}{2}$$

$$x = 2,5 \text{ m} \rightarrow M_{GG} = 6000 \cdot 2,5 + \frac{176 \cdot (2,5)^2}{2} \quad M_{GG} = 15550 \text{ kp.m}$$

$$\sigma_{GG} = 1.555.000 \text{ kp.cm}$$

Eğilme gerilmesi ;

$$\sigma_e = \frac{M_e}{I} \cdot e \leq \sigma_{em} \rightarrow \sigma_{GG} = \frac{1.555.000}{47.700} \cdot 23$$

$$\sigma_{GG} = 749,8 \text{ kp/cm}^2$$

Sac malzemesi olarak st52 / Alasızıksız karbonlu çelik seçildi.

$$\sigma_{em} = \frac{2900}{2,2} \rightarrow \sigma_{em} \approx 1300 \text{ kp/cm}^2$$

$\sigma_{GG} < \sigma_{em}$  kesit eğilme açısından EMNİYETLİ'dir.

Kayma gerilmesi

$$T_x = \frac{\partial M_x}{\partial x} \rightarrow T_{GG} = Q + q \cdot 2,5 \quad T_{GG} = 6440 \text{ kp.}$$

$$A = 140 \text{ cm}^2 \rightarrow Z_{GG} = \frac{6440}{140} \quad Z_{GG} = 46 \text{ kp/cm}^2$$

$$Z_{em} = \frac{1680}{2,2} = 734 \text{ kp/cm}^2 \quad (\text{st52 ve I.yükleme hali için})$$

$Z_{GG} < Z_{em}$  kesit kayma açısından EMNİYETLİDİR.

Buruşma kontrolü (yanal yüzeylerde)

Not: Buruşma emniyeti açısından; yanal yüzey sacları 40 cm'de bir olmak üzere NPL 30x45x4 korniyelerle takviyelenmiştir.

Bu durumda sac ölçülerini;  $a = 40 \text{ cm}$ ,  $b = 34 \text{ cm}$ 'dir.

$$\Psi = -1 \quad (\text{katkısız eğilme} - \tilde{\sigma}_G = -\tilde{\sigma}_b)$$

$$\alpha = \frac{a}{b} = \frac{40}{34} = 1.176 > \frac{2}{3} \quad \rightarrow \quad K_G = 23,9 \quad (\text{DIN 4114})$$

Euler gerilmesi;

$$\tilde{\sigma}_R^E = 18980 \left( \frac{E}{b} \right)^2 \quad e: \text{sac kalınlığı} \quad (e = 8 \text{ mm})$$

$$\tilde{\sigma}_R^E = 18980 \cdot \left( \frac{8}{400} \right)^2 \quad \tilde{\sigma}_R^E = 7,6 \text{ kp/mm}^2$$

Kritik buruşma gerilmesi;

$$\tilde{\sigma}_{cr}^v = K_G \cdot \tilde{\sigma}_R^E = 23,9 \times 7,6$$

$$\tilde{\sigma}_{cr}^v = 181,64 \text{ kp/mm}^2 \quad (\text{oranti sınırı dışındadır})$$

Kayma gerilmesi;

$$\tilde{\sigma}_{cr}^v = 29 \text{ kp/mm}^2 \quad (\text{secildi.}) \text{ st52 malz. için}$$

$$K_Z = 5,34 + \frac{4}{\alpha^2} = 5,34 + \frac{4}{(1.176)^2}$$

$$K_Z = 6,63$$

Kritik gerilme;

$$\tilde{\sigma}_{cr}^v = K_Z \cdot \tilde{\sigma}_R^E = 6,63 \times 7,6$$

$$\tilde{\sigma}_{cr}^v = 50,4 \text{ kp/mm}^2 \quad (\text{oranti sınırı dışındadır})$$

Kritik kıyaslama gerilmesi;

$$\tilde{\sigma}_{cr}^v = 16,8 \text{ kp/mm}^2 \quad (\text{secildi.})$$

$$\tilde{\sigma}_{cr,c}^v = \frac{\sqrt{\tilde{\sigma}^2 + 3Z^2}}{\frac{1+\Psi}{4} \cdot \frac{\tilde{\sigma}}{\tilde{\sigma}_{cr}^v} + \sqrt{\left( \frac{3-\Psi}{4} \cdot \frac{\tilde{\sigma}}{\tilde{\sigma}_{cr}^v} \right)^2 + \left( \frac{Z}{\tilde{\sigma}_{cr}^v} \right)^2}}$$

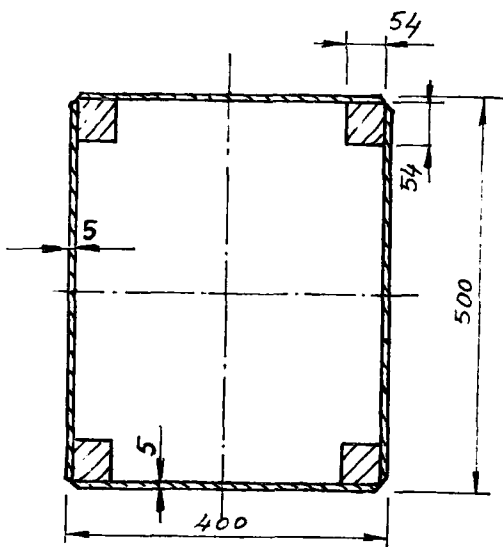
$$\tilde{\sigma}_{cr,c}^v = \frac{\sqrt{(7,5)^2 + 3 \cdot (0,5)^2}}{\frac{1-1}{4} \cdot \frac{7,5}{29} + \sqrt{\left( \frac{3+1}{4} \cdot \frac{7,5}{29} \right)^2 + \left( \frac{0,46}{16,8} \right)^2}}$$

$$\tilde{\sigma}_{cr,c}^v \approx 29 \text{ kp/mm}^2$$

$$\sqrt{\tilde{\sigma}^2 + 3Z^2} = \sqrt{(7,5)^2 + 3 \cdot (0,46)^2} \approx 7,55 \text{ kp/mm}^2$$

$$\text{I. Yüklemeye hali için;} \quad \frac{29}{1,25} = 23,2 \text{ kp/mm}^2 > 7,55 \text{ kp/mm}^2$$

Kesit buruşma açısından EMNİYETLİDIR.

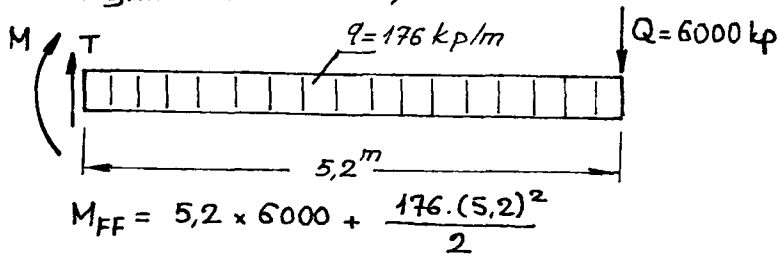


b.) II. Bum kolu F-F Kesiti;

Kesit ataklet momenti;

$$I_{FF} = 78611 \text{ cm}^4$$

Eğilme momenti;



$$M_{FF} = 5,2 \times 6000 + \frac{176 \cdot (5,2)^2}{2}$$

$$M_{FF} = 33580 \text{ kp.m} \rightarrow M_{FF} = 3.358.000 \text{ kp.cm}$$

$$\sigma_{FF} = \frac{3.358.000}{78611} \cdot 25$$

$$\sigma_{FF} = 1068 \text{ kp/cm}^2 < 1400 \text{ kp/cm}^2$$

Kesit eğilme açısından EMNİYETLİDİR.

Kayma gerilmesi;

$$T_{FF} = 6915,2 \text{ kp} \quad \sigma_{FF} = \frac{6915,2}{206,64}$$

$$A = 206,64 \text{ cm}^2$$

$$\tau_{FF} = 33,46 \text{ kp/cm}^2 < 8 \text{ em} \quad \text{Kesit kayma açısından EMNİYETLİDİR.}$$

Burusma kontrolü;

Not: Yanal yüzeyler 5 mm sac ile takviyelenmiştir. ( $e = 5+5 = 10 \text{ mm}$ )

Levha boyutları;  $a = 2500 \text{ mm}$ ,  $b = 500 \text{ mm}$ .

$$\Psi = -1 \quad (\text{katkısız eğilme}) \quad \alpha = \frac{2500}{500} = 5 > \frac{2}{3} \rightarrow K_\zeta = 23,9$$

$$\sigma_R^E = 18980 \cdot \left( \frac{10}{500} \right) = 7,6 \text{ kp/mm}^2$$

$$\sigma_{cr}^V = 23,9 \times 7,6 = 181,5 \text{ kp/mm}^2 \quad (\text{orantı sınırı dışındadır. St52 malzeme için } \sigma_{cr}^V = 29 \text{ kp/mm}^2)$$

$$K_\zeta = 5,34 + \frac{4}{\alpha^2} \quad K_\zeta = 5,5$$

$$\sigma_{cr}^Y = K_\zeta \cdot \sigma_R^E = 5,5 \times 7,6 = 70,56 \text{ kp/mm}^2 \quad (\text{orantı sınırı dışındadır. } \sigma_{cr}^Y = 16,8 \text{ kp/mm}^2)$$

Buradan kritik kıyaslama gerilmesi;

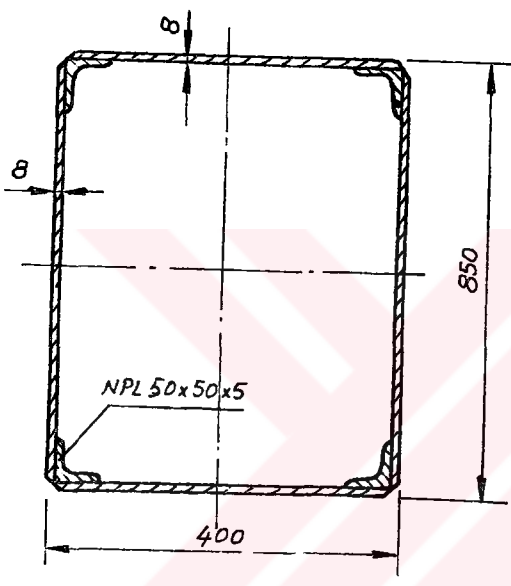
$$\bar{C}_{cr.c}^V = \frac{\sqrt{(10.68)^2 + 3 \cdot (0.33)^2}}{\sqrt{\left(\frac{3+1}{4} \cdot \frac{10.68}{29}\right)^2 + \left(\frac{0.33}{16.8}\right)^2}} \approx 29 \text{ kp/mm}^2$$

$$\text{Bileşik gerilme; } \sqrt{C^2 + 3Z^2} = 10.695$$

$$\text{I. yükleme hali için; } \frac{29}{1.25} = 23.2 \text{ kp/mm}^2 > 10.695 \text{ kp/mm}^2$$

Kesit buruşma açısından EMNİYETLİDİR.

c.) I. Bum C-C kesiti;



Kesit atalet momenti;

$$I_{cc} = 183966 \text{ cm}^4$$

Eğilme momenti;

$$M_{cc} = 6000 \cdot 8,1 + \frac{176 \cdot (8,1)^2}{2}$$

$$M_{cc} = 54373 \text{ kp.m}$$

$$M_{cc} = 5.437.300 \text{ kp.cm}$$

Eğilme gerilmesi;

$$\bar{C}_{cc} = \frac{5.437.300}{183.966} = 1256 \text{ kp/cm}^2$$

$\bar{C}_{cc} < \bar{C}_{em}$  Kesit eğilme açısından  
EMNİYETLİDİR

Kayma gerilmesi;  $T_{cc} = 7425,6 \text{ kp}$

Kesit alanı;  $A = 219,2 \text{ cm}^2$

$$\bar{Z}_{cc} = \frac{7425,6}{219,2} = 33,87 \text{ kp/cm}^2 < Z_{em}$$

Kesit kayma açısından EMNİYETLİDİR.

Buruşma kontrolü;

Not: 40 cm'de bir düşey eksende NPL 70x50x7 korniyelerle takviyelenmiştir. Levha boyutları  $a=400 \text{ mm}$ ,  $b=850 \text{ mm}$

$$\Psi = -1 \text{ (katkısız eğilme)} \quad \alpha = \frac{400}{850} = 0,47 < \frac{2}{3}$$

$$K_G = 15,87 + \frac{1,87}{\alpha^2} + 8,6 \alpha^2 = 15,87 + \frac{1,87}{(0,47)^2} + 8,6 \times (0,47)^2$$

$$K_G = 26,235$$

$$\bar{G}_R^E = 18980 \times \left(\frac{e}{b}\right)^2 = 18980 \cdot \left(\frac{8}{850}\right)^2$$

$$\bar{G}_R^E = 1,681 \text{ kp/mm}^2$$

$$\bar{G}_{cr}^v = 26,235 \cdot 1,681$$

$$\bar{G}_{cr}^v = 44,1 \text{ kp/mm}^2$$

$$(\bar{G}_{cr}^v = 29 \text{ kp/mm}^2 \text{ seçildi.})$$

Kayma gerilmesi

$$K_Z = 4 + \frac{5,34}{\alpha^2} = 4 + \frac{5,34}{(0,47)^2} \quad K_Z \approx 28,17$$

$$\bar{Z}_{cr}^v = K_Z \cdot \bar{G}_R^E = 28,17 \times 1,681$$

$$\bar{Z}_{cr}^v = 47,36 \text{ kp/mm}^2$$

$$(\bar{Z}_{cr}^v = 16,8 \text{ kp/mm}^2 \text{ seçildi.})$$

$$\bar{G}_{cr,c}^v = \frac{\sqrt{(12,56)^2 + 3 \cdot (0,34)^2}}{\sqrt{\left(\frac{12,56}{29}\right)^2 + \left(\frac{0,34}{16,8}\right)^2}}$$

$$\bar{G}_{cr,c}^v = 29 \text{ kp/mm}^2$$

$$\text{Bileşik gerilme; } \sqrt{(12,56)^2 + 3(0,34)^2} = 12,57 \text{ kp/mm}^2$$

$$\text{I. yükleme hali için; } \bar{G}_{em} = \frac{29}{1,25} = 23,2 > 12,57$$

Kesit buruşma açısından EMNIYETLİDİR.

#### 4. Çark ve pinyon dişli modül hesabı

Yassi dişli çark diş sayısı ;  $z_1 = 220$   
Pinyon " diş sayısı ;  $z_2 = 22$

Toplam sistem ağırlığı ;  $\sim 5610 \text{ kp}$

Max. yük ;  $\sim 6000 \text{ kp}$

TOPLAM :  $11610 \text{ kp}$

Toplam kütle ;  $m = \frac{W}{g} = \frac{11610}{9.81} = 1183 \text{ kps}^2/\text{m}$

Yassi çark yuvarlanma dairesi çapı ( $m=6$  için)  $D_0 = 1320 \text{ mm}$

Sistemin çark yuvarlanma yarçapına indirgenmiş etkileşim momenti ;

$$I = m \cdot R_0^2 = 1183 \times (0.66)^2$$

$$I = 515,5 \text{ kpm s}^2$$

Toplam moment ;  $\sum M = I \cdot \alpha$  ( $\alpha$  : aksiyal ivme)

$$\alpha = 0,12 \text{ m/s}^2$$

ivmeye süresi ;  $t_i = 5,2 \text{ sn}$

} (FEM. T-1.2311)

$$\alpha = \alpha \cdot R = 0,12 \times 0,66 \quad \alpha = 0,0792 \text{ rad/s}$$

$$\sum M = 515,5 \times 0,0792 = 40,8 \text{ kp.m}$$

$$M_b = 4080 \text{ kp.cm.}$$

Disdibi mukavemetine göre ortalamalı modül ;

$$m_m = 8.6 \times \sqrt[3]{\frac{k \cdot f \cdot M_b \cdot \gamma' (1 - \psi \cdot \sin \delta_1)}{G_{em} \cdot z_1^2 \cdot \psi \cdot \epsilon}}$$

$k$ : darbe faktörü       $k = 1,25$

$\xi$ : dinamik yük faktörü       $\xi = 1,5$

$\varepsilon$ : Kavrama oranı       $\varepsilon = 1$

$\gamma'$ : Form faktörü       $\gamma' = 6,1$  ( $z = 220$  için)

$\Psi$ : Dis genişliği faktörü       $\Psi = 0,23$  (seçildi.)

$\sigma_{em} = 800 \text{ kp/cm}^2$  (SD 45 malzeme için)

$P_{em} = 2500 \text{ kp/cm}^2$  (SD 45 malzeme için)

$\delta_1 = 84,3^\circ$ ,  $z_1 = 220$ ,  $z_2 = 22$ ,  $i = 0,1$

$\delta_2 = 5,7^\circ$        $E = 1,51 \times 10^4 \text{ kp/mm}^2$

$$m_m = 8,6 \times \sqrt[3]{\frac{1,25 \times 1,5 \times 4080 \times 6,1 \times (1 - 0,23 \times \sin 84,3^\circ)}{800 \times (220)^2 \times 0,23 \times 1}}$$

$m_m = 3,19 \text{ mm} < m = 6 \text{ mm}$  İMНИYETLİDİR.

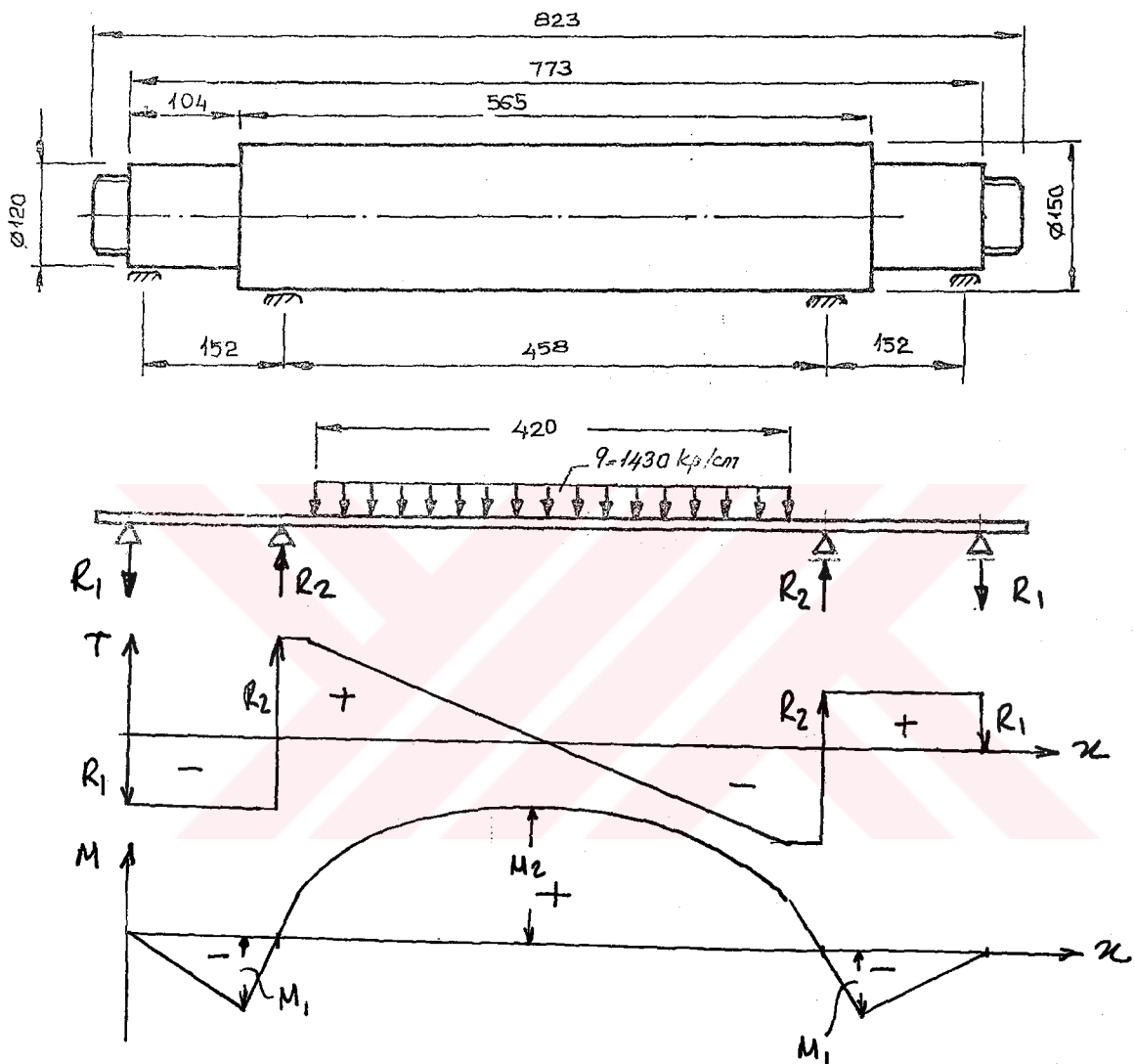
Aşınmaya göre kontrol;

$$m_m = 12,9 \sqrt[3]{\frac{k \cdot \xi \cdot M_b \cdot (i \cdot \cos \delta_1 + \cos \delta_2) (1 - \Psi \cdot \sin \delta_1) \cdot E}{P_{em}^2 \cdot z^2 \cdot \Psi \cdot \varepsilon \cdot i}}$$

$m_m = 5,25 \text{ mm} < m = 6 \text{ mm}$  İMНИYETLİDİR.

## 5. Mafsal milleri kesit emniyeti kontrolü

"A" Mafsali



$$R_1 = -11920 \text{ kp} \quad M_1 = 181184 \text{ kp.cm}$$

$$R_2 = 41920 \text{ kp} \quad M_2 = 462000 \text{ kp.cm}$$

Kiriş merkezindeki gerilme;

$$\sigma_2 = \frac{M_2}{W_{e2}} \quad W_{e2} = \frac{\pi d^3}{32} = 3348 \text{ cm}^3$$

$$\sigma_2 = \frac{462000}{2650} = 139.5 \text{ kp/cm}^2 < \sigma_{em}$$

Kesit EMNIYETLİDIR.

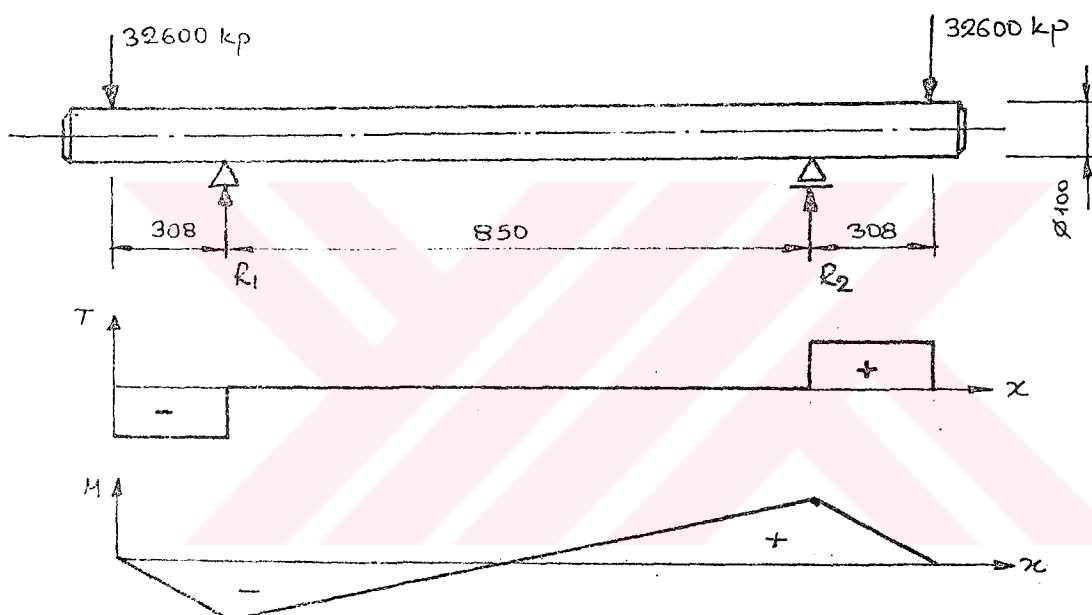
$R_2$  mesnet noktasındaki gerilme;

$$G_1 = \frac{M_{e1}}{W_{e1}} \quad W_{e1} = \frac{\pi (12)^3}{32} = 169,7 \text{ cm}^3$$

$$G_1 = \frac{181184}{169,7} = 1068 \text{ kp/cm}^2 < G_{em}$$

Kesit EMNIYETLİDIR.

### B Mafsali



$$R_1 = R_2 = R_p$$

$$M_x = R_p \cdot x \quad T_x = \frac{\partial M_x}{\partial x} = R_p$$

$$x = 30,8 \text{ cm} \Rightarrow M_x = M_{x_{max}} = 1004080 \text{ kp.cm}$$

$$T_x = 32600 \text{ kp.}$$

Eğilme gerilmesi;

$$G_e = \frac{M_e}{W_e} \quad W_e = \frac{\pi \cdot d^3}{32} = 981,7 \text{ cm}^3$$

$$G_e = 1022,7 \text{ kp/cm}^2$$

Kesme gerilmesi;

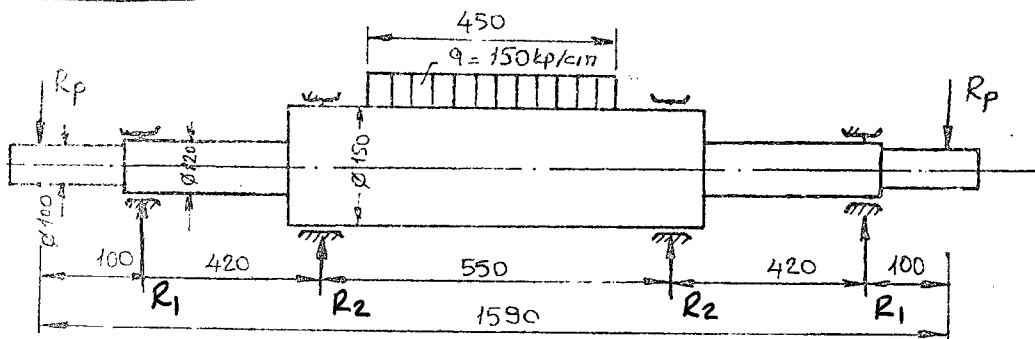
$$G = \frac{T_x}{A} \quad G = 415 \text{ kp/cm}^2$$

$$\text{Bileşik gerilme;} \quad G = \sqrt{G_e^2 + 3 \cdot Z^2} = 1250 \text{ kp/cm}^2$$

Mil malzemesi C4140, için  $G_{em} = 2200 \text{ kp/cm}^2$  ( $G_{AK} = 55,90 \text{ kp/mm}^2$ )

$G < G_{em}$  olduğundan mafsal EMNIYETLİDIR.

"E" Mafsali



$$R_1 = 33420 \text{ kp}$$

$$M_1 = 334200 \text{ kp.cm}$$

$$R_2 = 2550 \text{ kp}$$

$$M_2 = 51525 \text{ kp.cm}$$

$$\sigma_1 = \frac{M_{e1}}{W_{e1}}$$

$$W_{e1} = 169,6 \text{ cm}^3$$

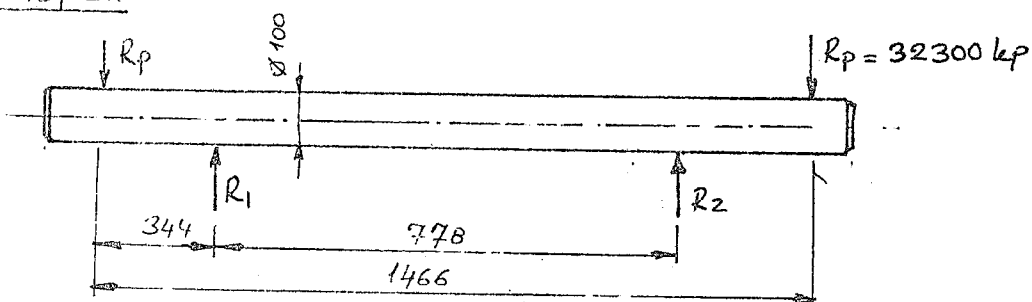
$$\sigma_1 = \frac{334200}{169,6} = 1970 \text{ kp/cm}^2 < \sigma_{em} \text{ kesit EMNIYETLUDIR}$$

$$\sigma_2 = \frac{M_{e2}}{W_{e2}}$$

$$W_{e2} = 331,3 \text{ cm}^3$$

$$\sigma_2 = \frac{51525}{331,3} = 155,5 \text{ kp/cm}^2 < \sigma_{em} \text{ kesit EMNIYETLUDIR.}$$

"F" Mafsali



$$M_{e\max} = 111120 \text{ kp.cm}$$

$$\sigma_e = \frac{M_e}{W_e} = 1131 \text{ kp/cm}^2$$

$$W_e = 981,74 \text{ cm}^4$$

$$T_{\max} = 32300 \text{ kp}$$

$$\sigma = \frac{T}{A} = 411 \text{ kp/cm}^2$$

$$\sigma = \sqrt{\sigma_e^2 + 38^2} \approx 1340 \text{ kp/cm}^2 < 2200 \text{ kp/cm}^2$$

Mafsal emniyetlidir.

## b.) HIDROLİK DEVRE HESAPLARI

### 1. Piston seçimi

"A" mafsalındaki denge denkleminden gerekli piston itme kuvveti;

$$R_p = \frac{70554}{2} \quad R_p \approx 32300 \text{ kp} \quad (\text{Bka. Bölüm a.1 - sy.})$$

NHS Yastıklı - Çift etkili hidrolik piston serisinden NHS.200 piston seçilir ve sistem basıncı 160 Bar olarak kabul edilirse;

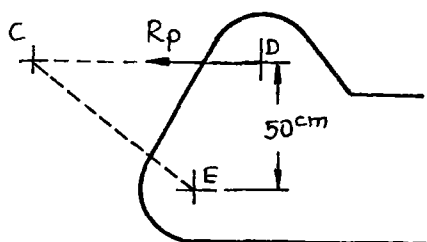
$$R = \frac{\pi \cdot (20)^2}{4} \times 160 \times 1,02 = 51720 \text{ kp} \quad (1 \text{ Bar} = 1,02 \text{ kp/cm}^2)$$

$R = 51720 > R_p = 32300 \text{ kp}$  olduğundan sistem EMНИYETLİDİR.

"B" mafsalındaki moment değeri ;

$$M_B = 6000 \times 543,25 = 3.259.500 \text{ kp.cm}$$

Diger taraftan yükleme halinde mafsalın  $180^\circ$  açıldığı diktate alınarak;



$$M_a = 2 \cdot R_p \cdot 50 \geq M_B$$

$$R_p = \frac{3.259.500}{100} \quad R_p = 32595 \text{ kp}$$

Yine NHS 200 piston seçilir ve sistem basıncı olan 160 Bar'da çalıştığı düşündürse;

$R = 51720 \text{ kp} > R_p = 32595 \text{ kp}$  olduğundan sistem EMNIYETLİDİR

3. büm kolunu (teleskopik büm) hareket ettirmek icin  
NHS 100 piston seçildi. Buna göre; teleskopik büm hareketini  
sağlayan itme kuvveti;

$$F = 160 \times 1,02 \times \frac{\pi \cdot (10)^2}{4} \cong 12817 \text{ kp.}$$

## 2. Pompa ve motor seçimi

Pompa debisi;  $Q = \frac{3 \cdot A \cdot V}{50}$  [lt/dak.]

A : Piston kesit alanı ( $\text{cm}^2$ ).

Kesit alanı olarek; max. kesit alanına sahip NHS 200  
piston hesaplanmış ve aynı anda iki eş pistonun çalışması  
nedeniyle iki katı esas alınmıştır.

$$A = 2 \times \frac{\pi \cdot (20)^2}{4} = 628 \text{ cm}^2$$

V : Piston hızı ( $\text{cm/s}$ )

$$V = \frac{s}{t}$$

s : piston stroğu ( $\text{cm}$ )

NHS 200 serisinin max. strok uzun-

$$V = \frac{106,75}{45}$$

luğu olan  $S = 106,75 \text{ cm}$  esas alın-  
mıştır.

$$V = 2,37 \text{ cm/s}$$

t = 45 sn. (seçildi.)

Buna göre pompa debisi ;

$$Q = \frac{3 \times 628 \times 2,37}{50} = 89,3 \text{ lt/dak.}$$

Disli - hidrolik pompa serisinden 3P1 - 4210-S - A /CB  
seçildi. Bu pompadan ;

$$Q = 95,5 \text{ lt/dak.}$$

$$\eta_{nom} = 1500 \text{ dev/dak}$$

$$\eta_{max} = 2250 \text{ dev/dak}$$

$$p = 248 \text{ Bar (1500 dev/dak için)}$$

Gerekli motor gücü ;

$$P = \frac{P \cdot Q}{600 \eta_g} \quad P = \text{sistem basıncı (160 Bar)}$$

$$Q = \text{Debi} \quad (89,3 \text{ lt/dak})$$

$$P = \frac{160 \times 89,3}{600 \times 0,85} \quad \eta_g = \text{sistem verimi (0,85)}$$

$$P = 28 \text{ KW}$$

Senkron motor serisinden CAMK 200-LK 4R1 seçildi.

(  $S_3 = \% 25$  için ;  $N = 28 \text{ KW}$ ,  $I = 57 \text{ A}$ ,  $\eta_{nom} = 1430 \text{ dev/dak}$  )

### 3. Depo ve dizaynı

Depo hacmi ; pompa debisinin iki katından büyük olmalıdır.

$$Q = 95,5 \text{ lt/dak}$$

$$V = 210 \text{ lt} \quad (\text{seçildi.})$$

Emis ve basınç boru çapları ;

$$\begin{aligned} d_{em} &= \sqrt{\frac{21 \cdot Q}{V_{em}}} & V_{em} &= 1,25 \text{ m/s} \\ d_{em} &= \sqrt{\frac{21 \cdot 95,5}{1,25}} & V_{bas} &= 5 \text{ m/s} \end{aligned} \quad \left. \begin{array}{l} V_{em} = 1,25 \text{ m/s} \\ V_{bas} = 5 \text{ m/s} \end{array} \right\} \text{seçildi.}$$

$$d_{em} = 40 \text{ mm}$$

$$d_{bas} = \sqrt{\frac{21 \cdot 95,5}{5}} \quad d_{bas} = 20 \text{ mm}$$

3P1 serisi dişli-hidrolik pompa için önerilen adaptör boru iç vüda ölçütleri ; emis hattı için  $1\frac{1}{2}$ " ve basma hattı için (depo için dönüş) 1" dir.

Buna göre seçilen borular ;

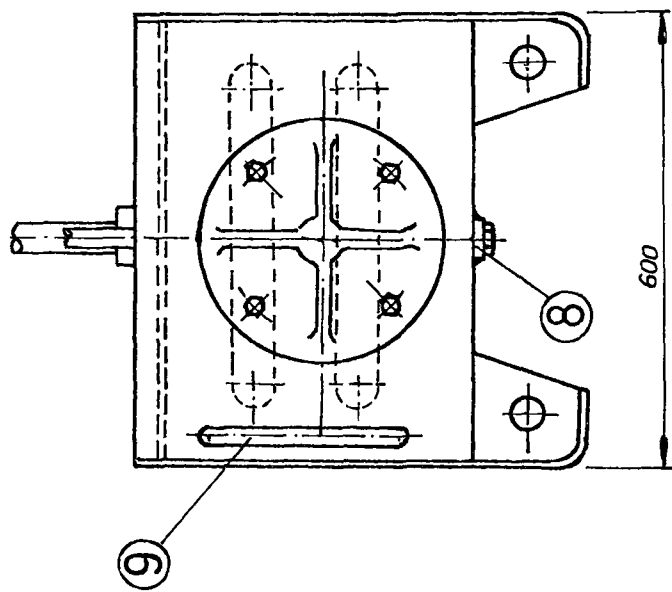
$$\begin{array}{ll} \text{EMİS HATTI} \rightarrow & d_{dis} = 38 \text{ mm} \quad \text{Boru diş çapı} \\ & t = 5 \text{ mm} \quad \text{Boru et kalınlığı} \end{array}$$

$$\begin{array}{ll} \text{DÖNÜŞ (BASING) HATTI} \rightarrow & d_{dis} = 25 \text{ mm} \\ & t = 3 \text{ mm} \end{array}$$

Sistemin gerçek yağ akış hızları ;

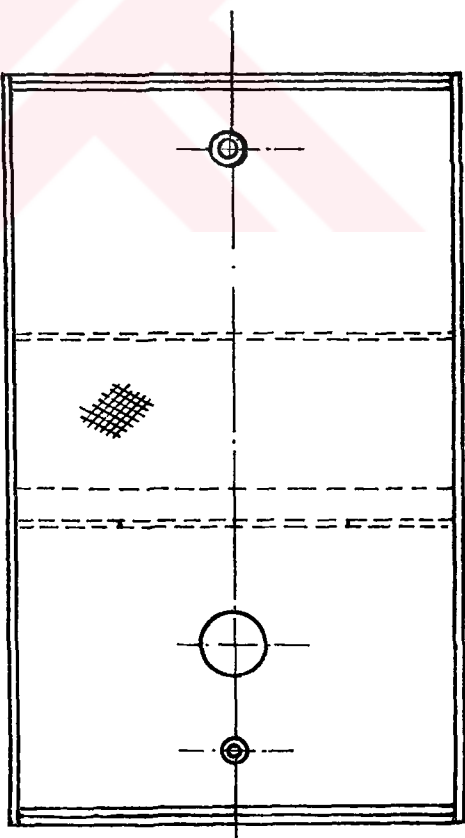
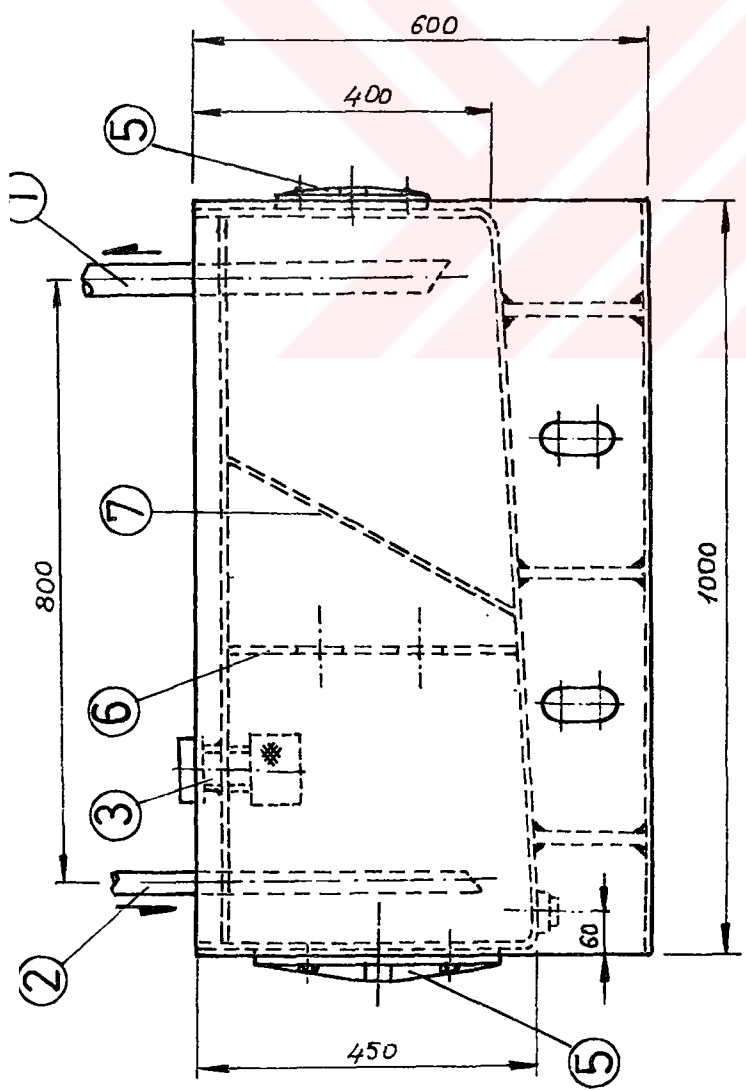
$$V_{em} = \frac{21 \cdot 95,5}{(28)^2} = 2,55 \text{ m/s}$$

$$V_{bas} = \frac{21 \cdot 95,5}{(19)^2} = 5,55 \text{ m/s}$$



9	Düzey göstergesi
8	Bosaltma kapığı
7	Filtre elemeni
6	Aynıci plaka
5	Tümizleme kapakları
4	Gövde
3	Doldurma ve havalandırma filtresi
2	Dönüş hattı $d_1 = 1\frac{1}{2}$ "
1	Emis hattı $d_2 = 1\frac{1}{2}$ "
PARÇA NO	PARÇA ADI

## HİDROLİK DEPO ( 210 lt )



#### 4. Kaplin seçimi

İletilen moment;

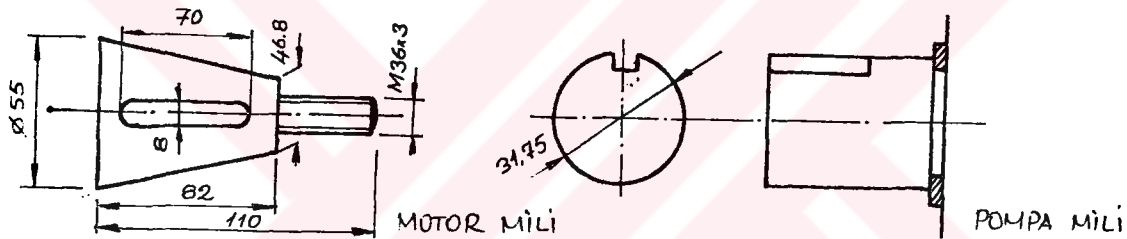
$$M = 95970 \cdot \frac{N}{n} \quad N = 28 \text{ kW}, n = 1500 \text{ dev/dak}$$

$$M = 95970 \cdot \frac{28}{1500} \approx 1791,5 \text{ kp.cm}$$

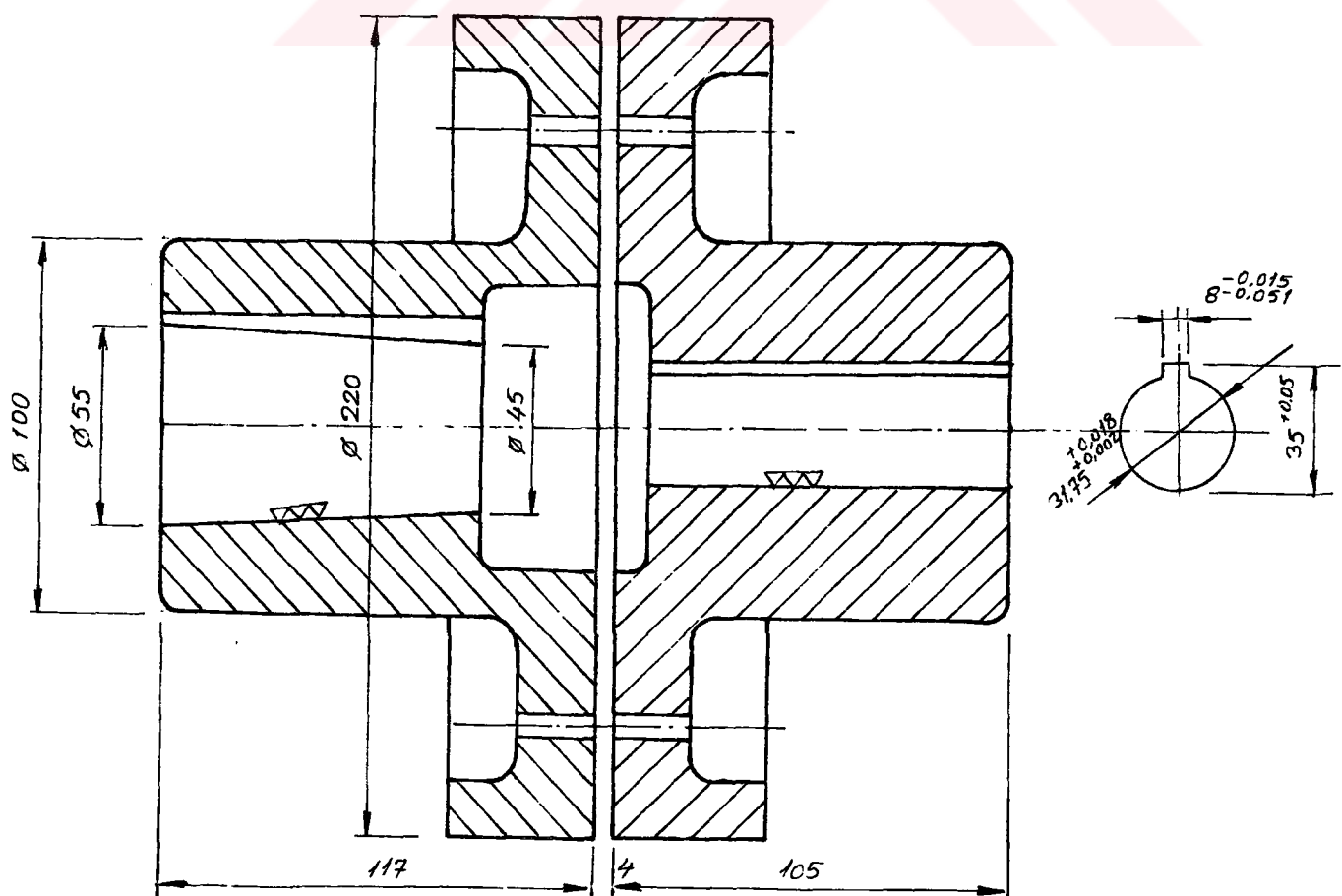
SEB 601 410 - 65 K2 elastik kaplin seçildi.

Kaplinin taşıdığı max. moment  $M_{max} = 3400 \text{ kp.cm}$

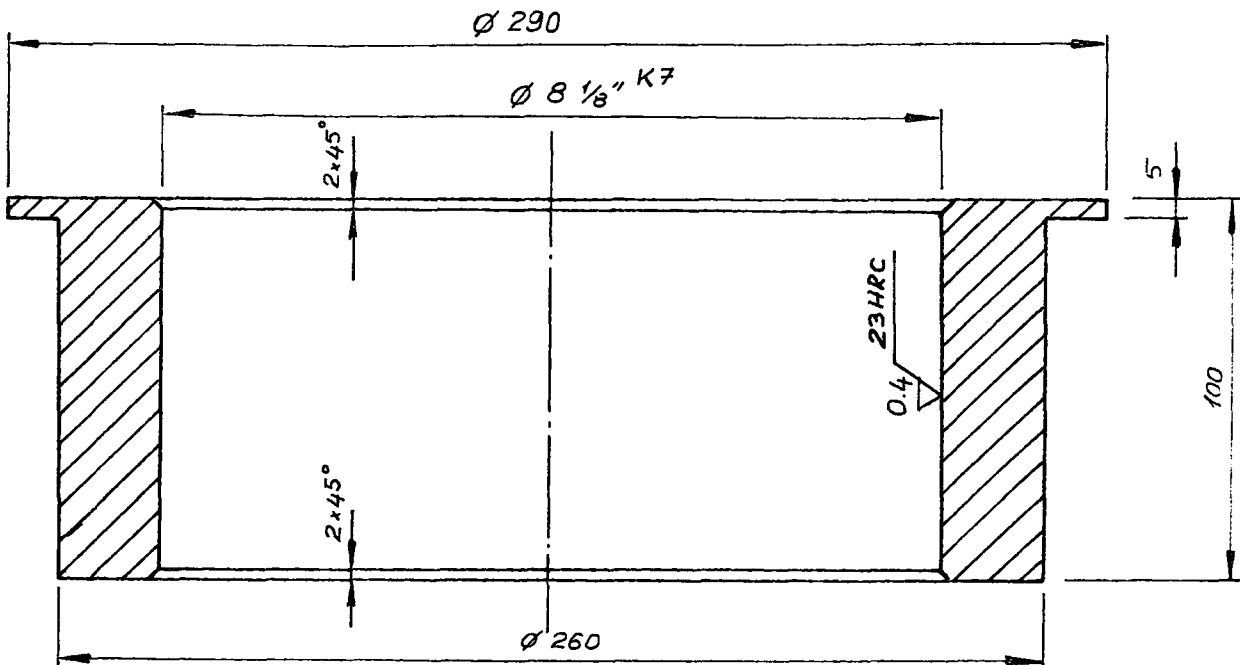
Motor sıkış mili çapı;  $d_m = 55 \text{ mm}$  (referans cap)



Hidrolik pompa giriş mili çapı;  $d_p = 31,75 \text{ mm}$



## c.) İMALAT DETAY RESİMLERİ



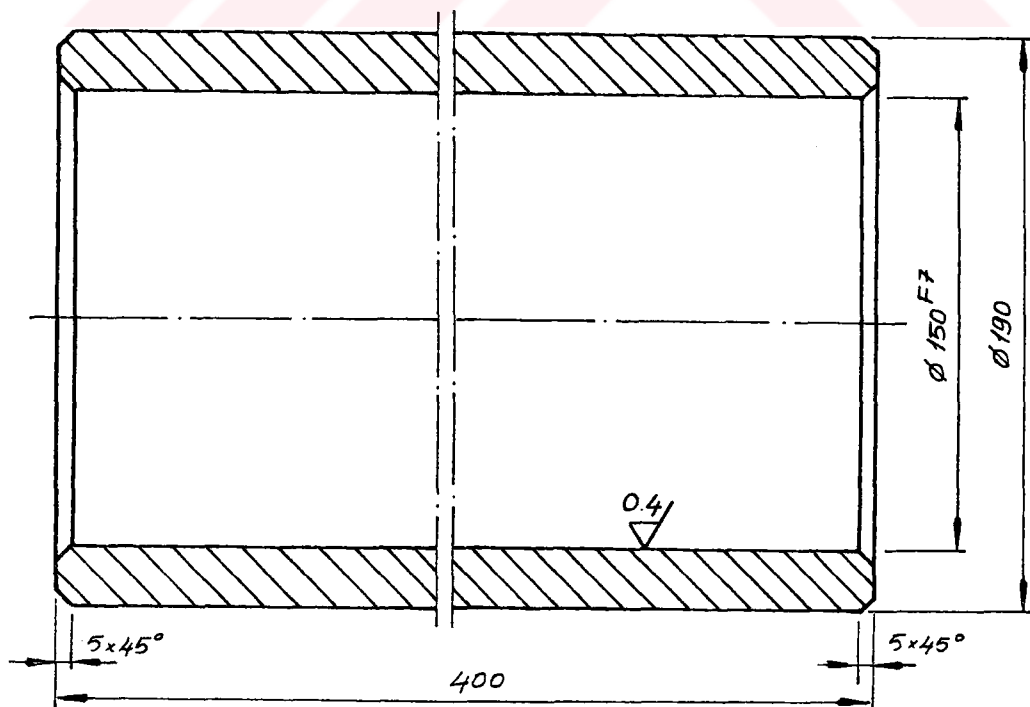
MONTAJ NR. 1

Ø 8 1/8"	K7	+13 -33
ÖLÇÜ	İSARET	TOLERANS
Ø 8 1/8"	K7	+13 -33
ÖLÇÜ	İSARET	TOLERANS

Not: 0.4 Yüzey işlemli yüzeyler sertleştirilecek ve toplanacaktır.

C 1040	1:2	4	YATAK YUVASI	A. CİFTÇİ	Prof. Dr. M. ALISVERİŞÇİ	ÇA. 31.01
GEREC	ÖLÇEK	SAYI	PARÇA ADI	ÇİZEN	KONTROL	RESİM NR.

3.2 ( 0.4 )



MONTAJ NR. 3

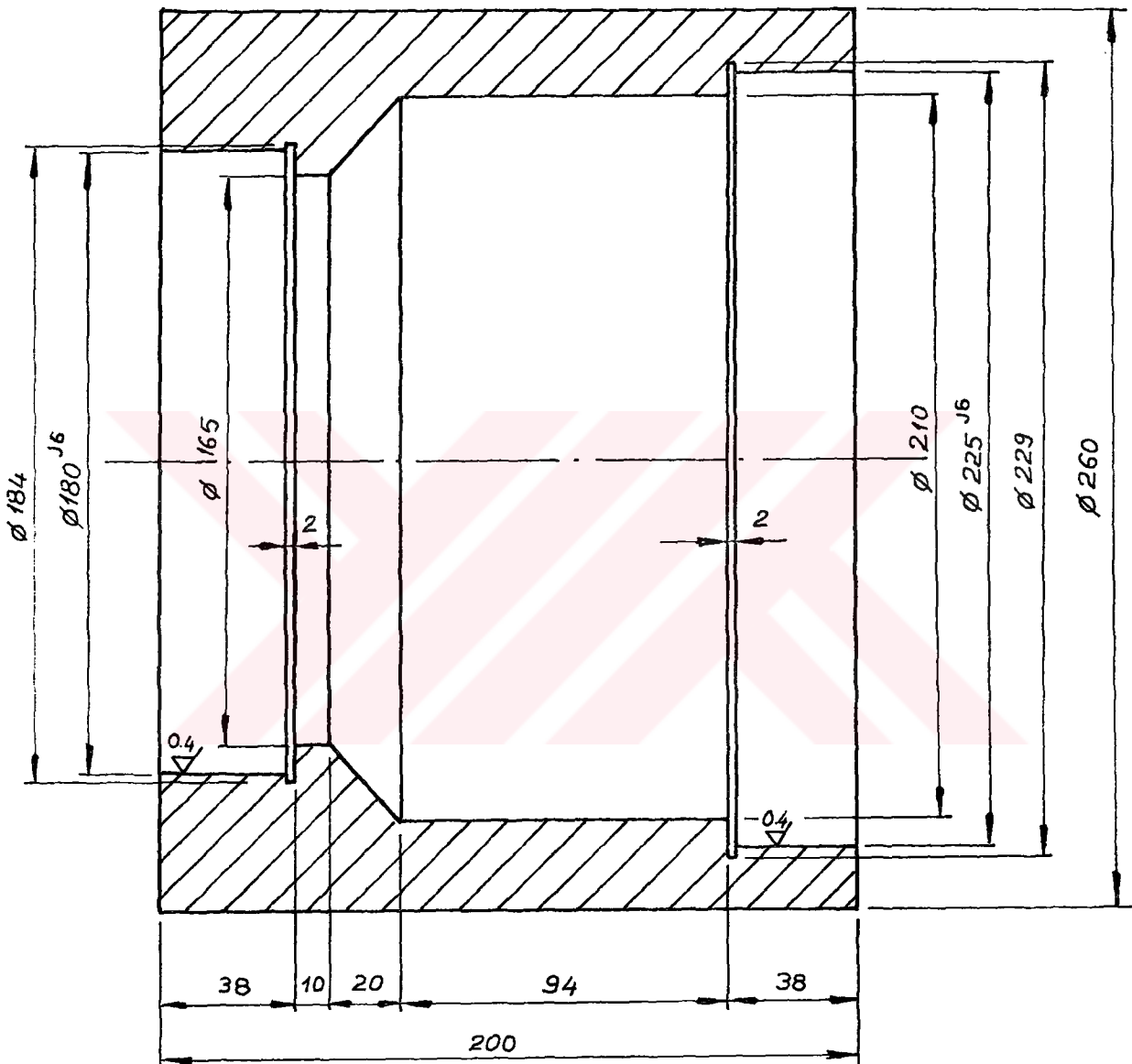
Not: 0.4 Yüzey işlemli yüzeyler sertleştirilecek ve toplanacaktır.  
Yüzey sertliği 23 HRC

Ø 150	F7	+43 +83
ÖLÇÜ	İSARET	TOLERANS
Ø 150	F7	+43 +83
ÖLÇÜ	İSARET	TOLERANS

Prof. Dr.

24.02

3.2 ( 0.4 )

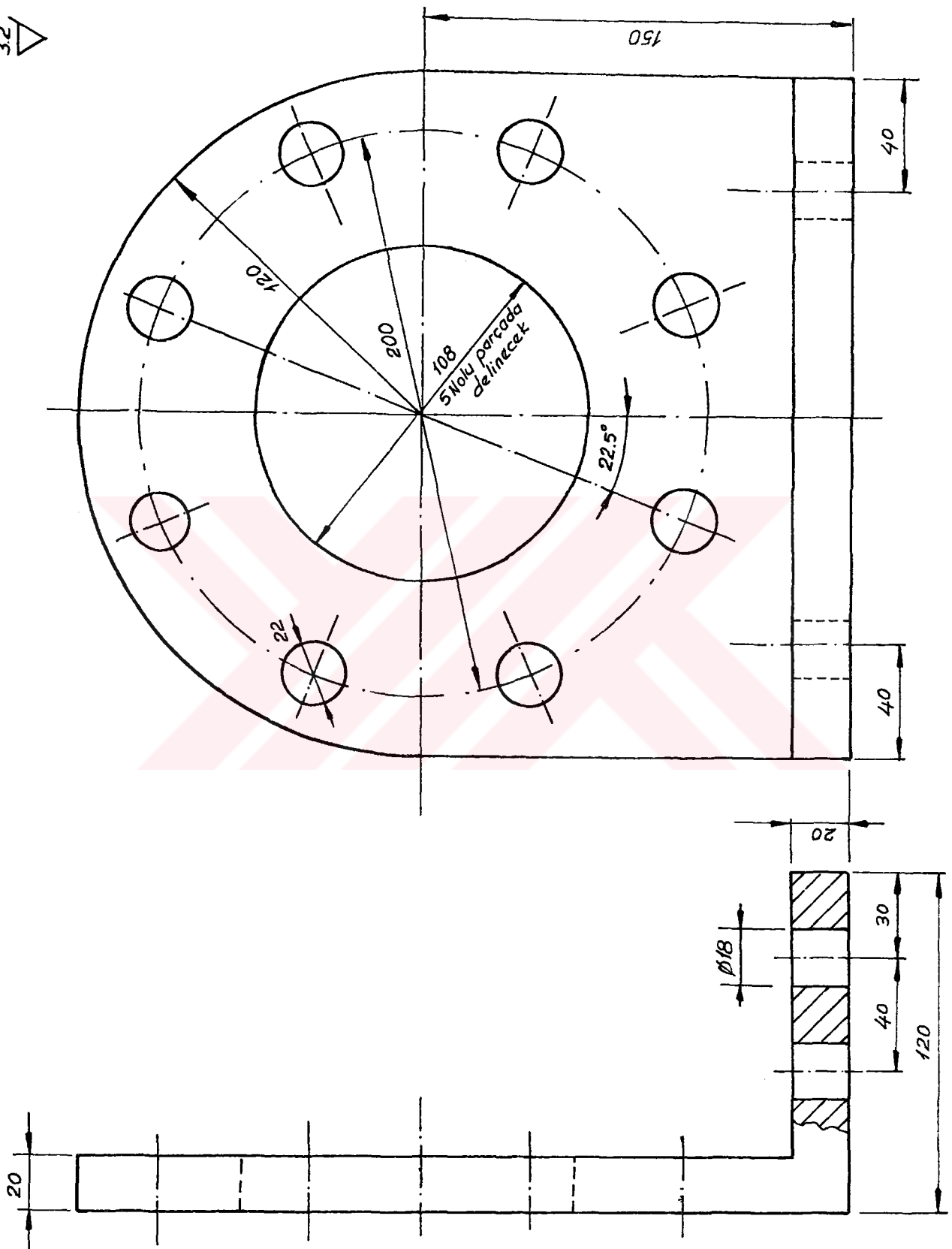


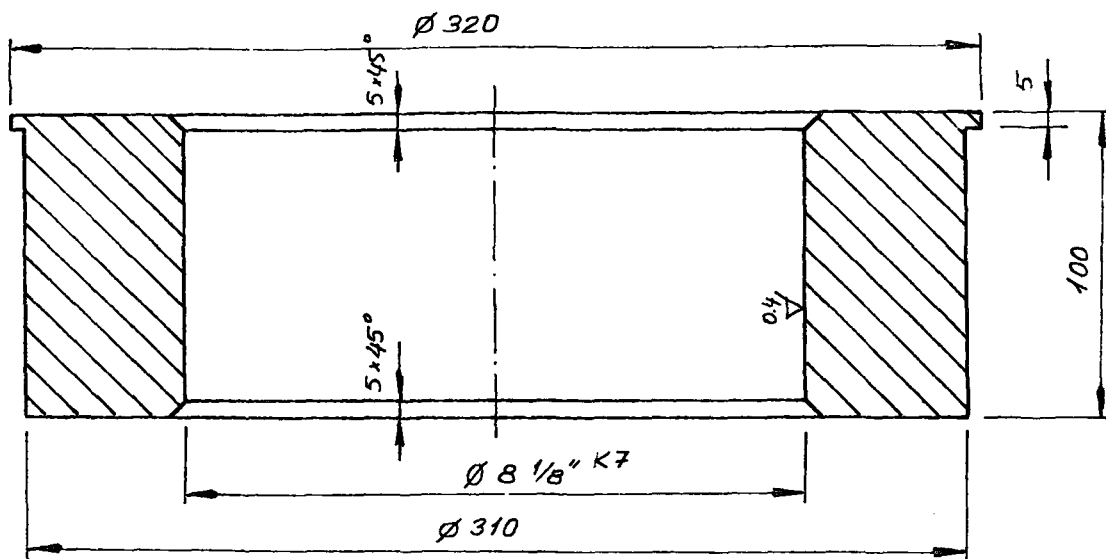
Not: <sup>0.4</sup> Yüzey işlemli yüzeyler sertleştirilecek ve toşlanacaktır. Yüzey sertliği 23 HRC

MONTAJ NR. 2

Ø 225	J6	+/-2
Ø 180	J6	+/-8
ÖLÇÜ	İSARET	TOLERANS

32





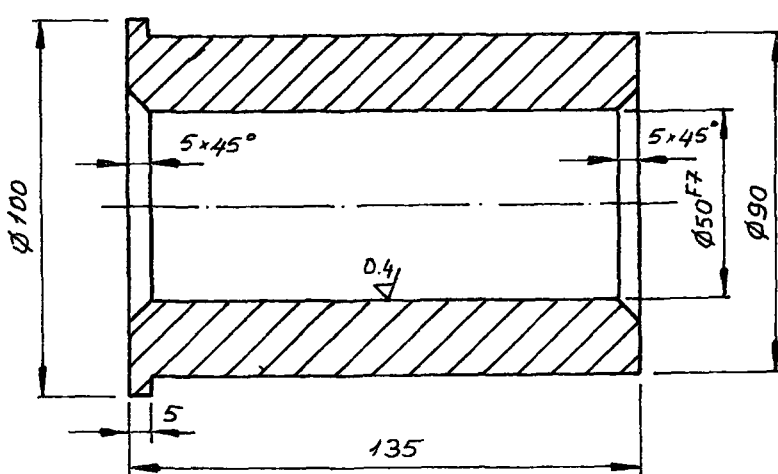
Not: <sup>0.4</sup> Yüzey işlemi yüzeyler sertleştirilecek ve taşlanacaktır. Yüzey sertliği: 23 HRC

MONTAJ NR. 6

Ø8 1/8"	K7	+13 -33
ÖLÇÜ	İŞARET	TOLERANS

C1040	1:2.5	2	YATAK YUVASI	A.ÇİFTÇİ	Prof. Dr. M. ALİŞVERİŞÇİ	CA.32.02
GEREC	ÖLÇEK	SAYI	PARÇA ADI	ÇİZEN	KONTROL	RESİM NR.

3.2 ( 0.4 )

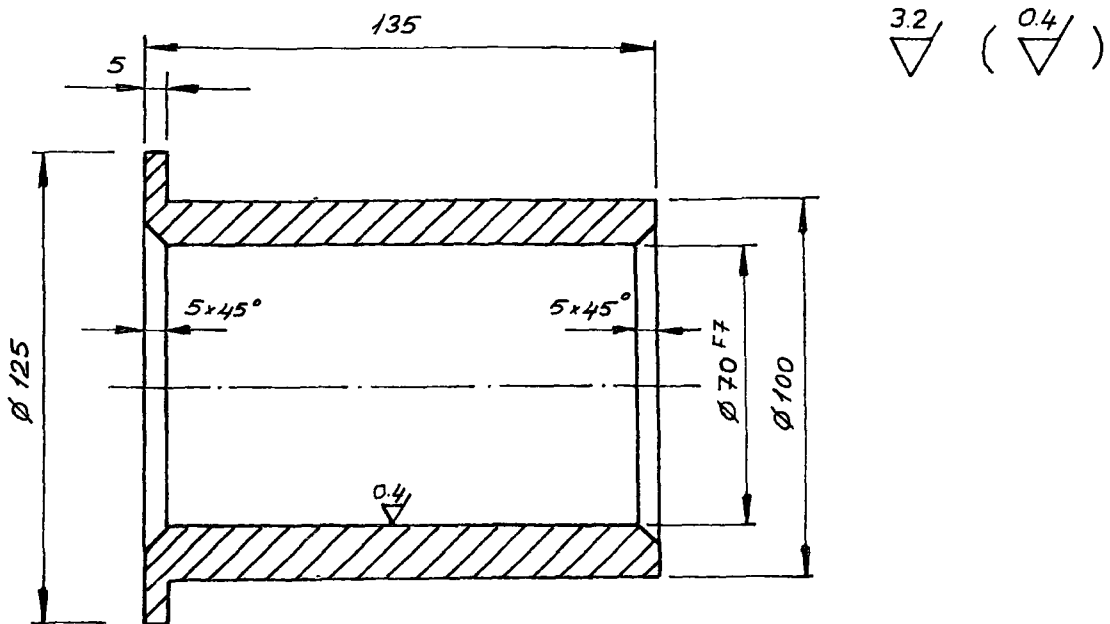


Not: <sup>0.4</sup> işlenmiş yüzeyler sertleştirilecek ve taşlanacaktır. Yüzey sertliği : 23 HRC

MONTAJ NR. 9

Ø50	F7	+50 +25
ÖLÇÜ	İŞARET	TOLERANS

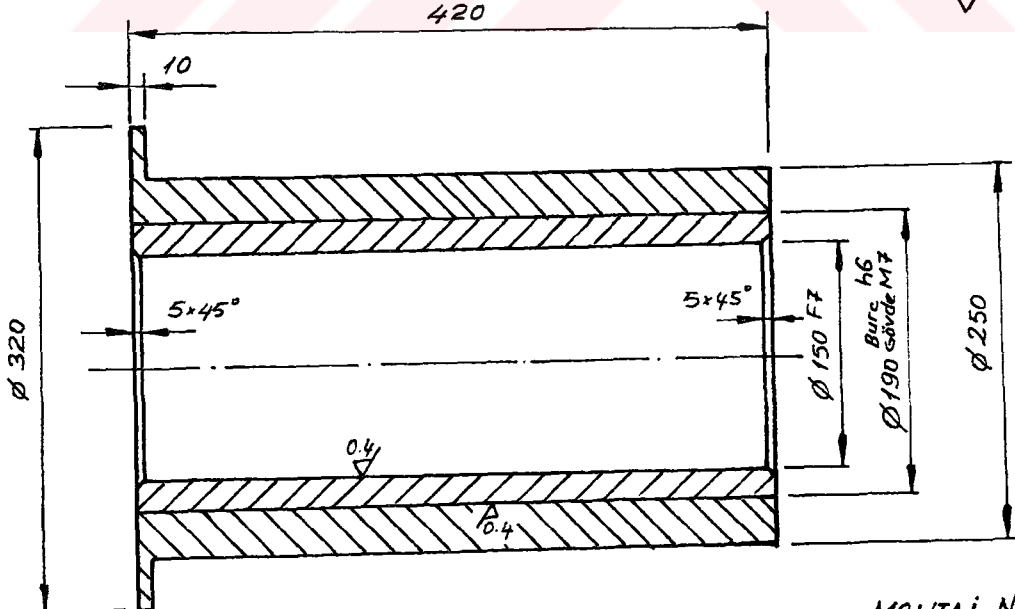
10	12	2	Mİ YA -1	A.ÇİFTÇİ	Prof. Dr. ... ; CA. 33.01
----	----	---	----------	----------	---------------------------



MONTAJ NR. 10

C1040	1:2	4	MİL YATAĞI	A.CİFTÇİ	Prof.Dr. M.ALİSVERİŞÇİ	ÇA.33.02
GEREK	ÖLCEK	SAYI	PARÇA ADI	CİZEN	KONTROL	RESİM NR

3.2 ( 0.4 )



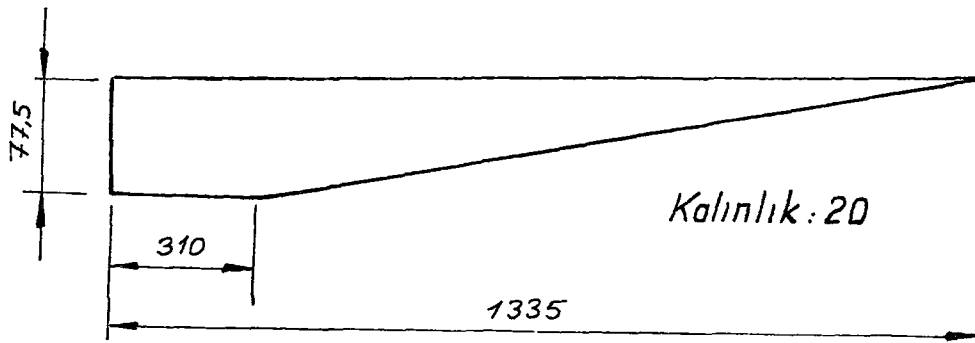
MONTAJ NR 11

Ø150	F7	+83 +43
Ø190	h6	-29
Ø190	M7	-46

Note: Burç malzemesi Ç3115 dir. Sementen edilip 830°C yağda sertleştirilecektir. Tüm yüzeyleri tozlanacaktır. Yüzey sertliği: 45 HRC. Göbek malzemeci C1040 ve Ø4 işlemeli yüzey tozlanacaktır.

C 3115	1:2	1	MİL YATAĞI	A.CİFTÇİ	Prof.Dr. ALİSVERİŞÇİ	ÇA.34.01
--------	-----	---	------------	----------	-------------------------	----------

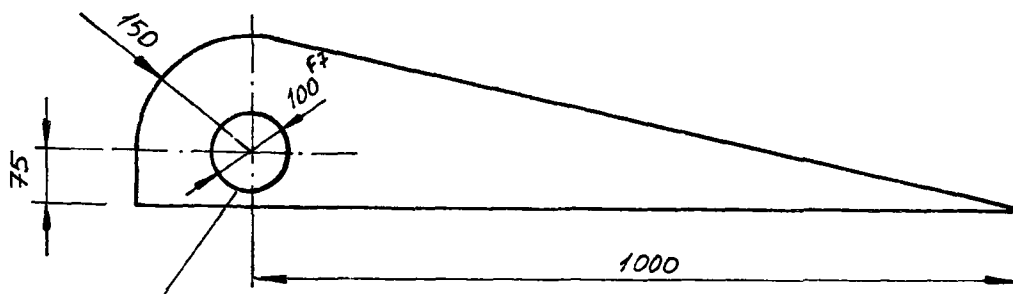
3.2



MONTAJ NR. 12

C 1040	-	2	KÖSE PLAKASI	A. CİFTÇİ	Prof.Dr. M. ALİVERİŞİ	CA. 34.02
GEREC	ÖLÇEK	SAYI	PARÇA ADI	CİZEN	KONTROL	RESİM NR.

3.2 ( 1.6 )



Sertleştirilecek ve Rayba  
ile işlenecek. ( V ). Yüzey sertliği 23HRC

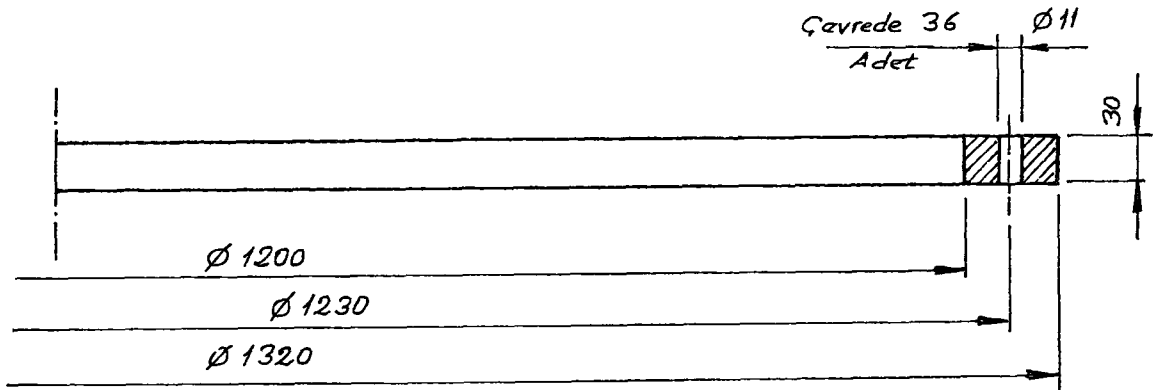
Kalınlık: 30

MONTAJ NR. 13

Ø 100	F7	+7/ +36
ÖLÇÜ	İSARET	TOLERANS

C 1040	1:10	7	" = PLA " "	A. CİFTÇİ	Prof.Dr. M. ALİVERİŞİ	CA. 34.02
--------	------	---	-------------	-----------	--------------------------	-----------

3.2

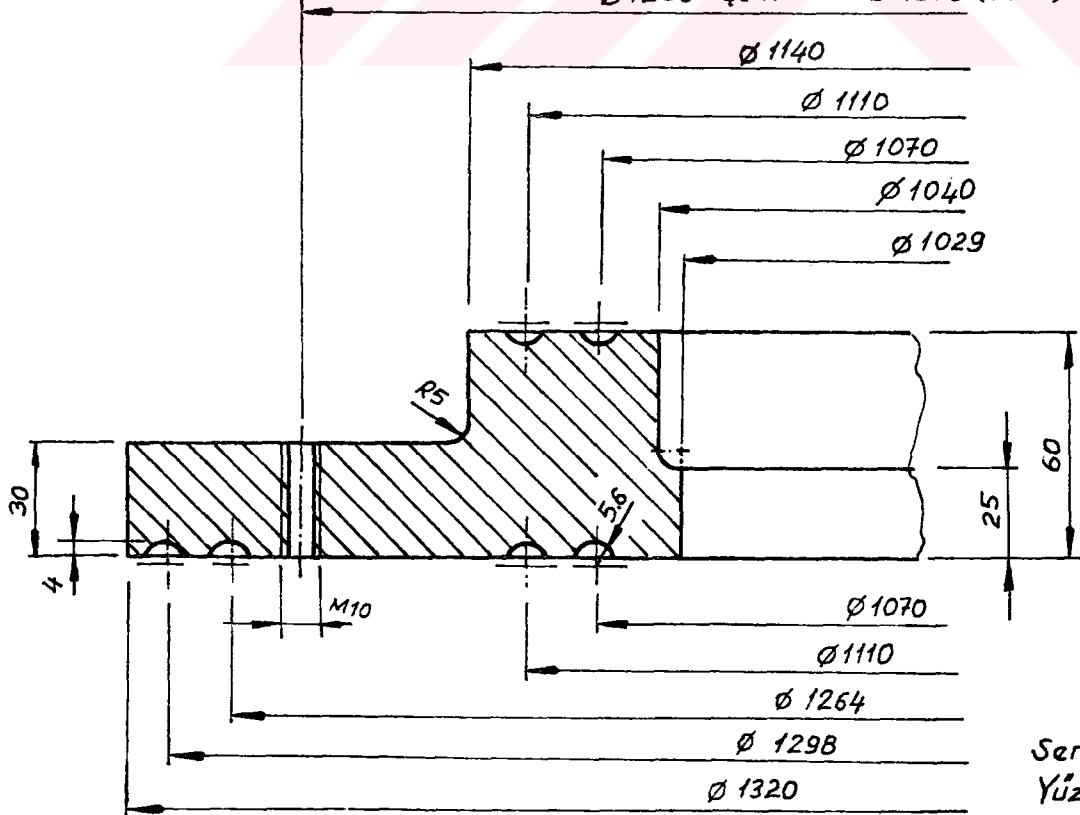


MONTAJ NR. 15

C1040	1:5	1	GÖVDE TESPİT FLENŞİ	A. ÇİFTÇİ	Prof.Dr. M. ALİŞVERİŞİ	ÇA. 34.05
GEREÇ	ÖLÇEK	SAYI	PARCA ADI	CİZEN	KONTROL	RESİM NR

1.6

Ø 1230 Çevrede 36 Adet (M10)

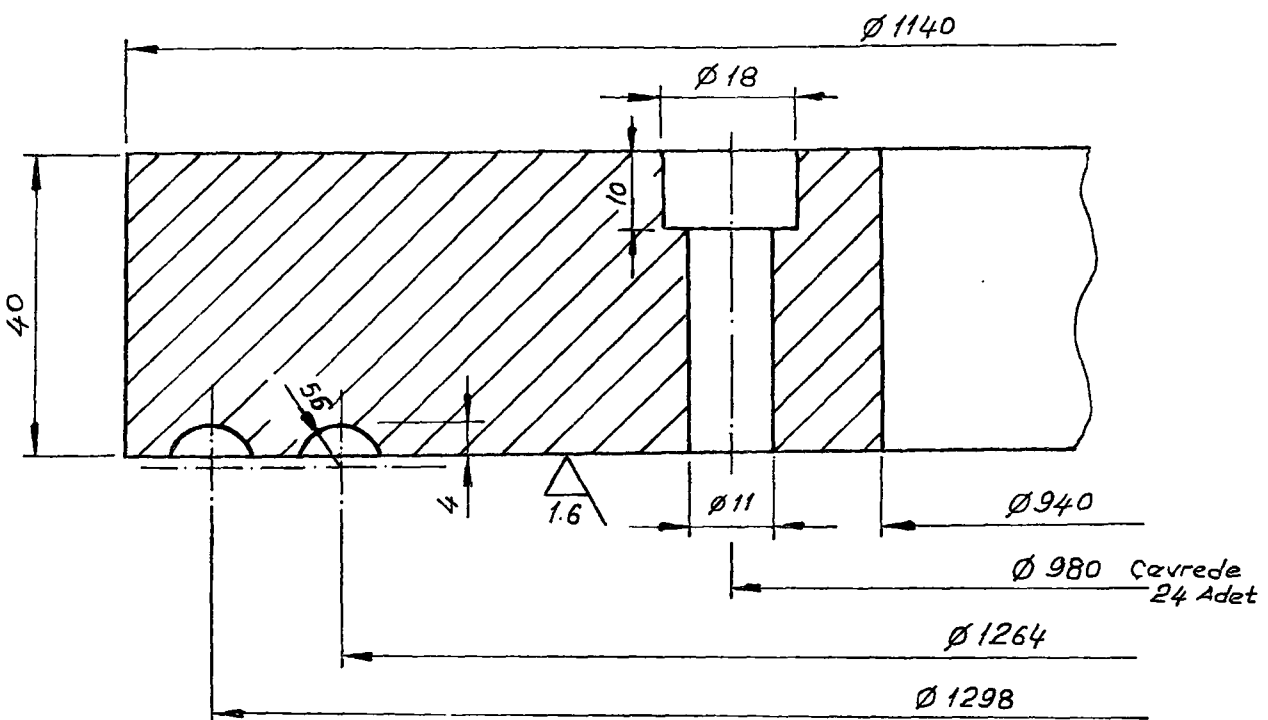


Sertleştirilecek.  
Yüzey sertliği: 46HRC

MONTAJ NR. 16

C3150	1.0	1	" r YUVA ANMA FLENŞİ	Prof. Dr.	C. 34.05
-------	-----	---	----------------------	-----------	----------

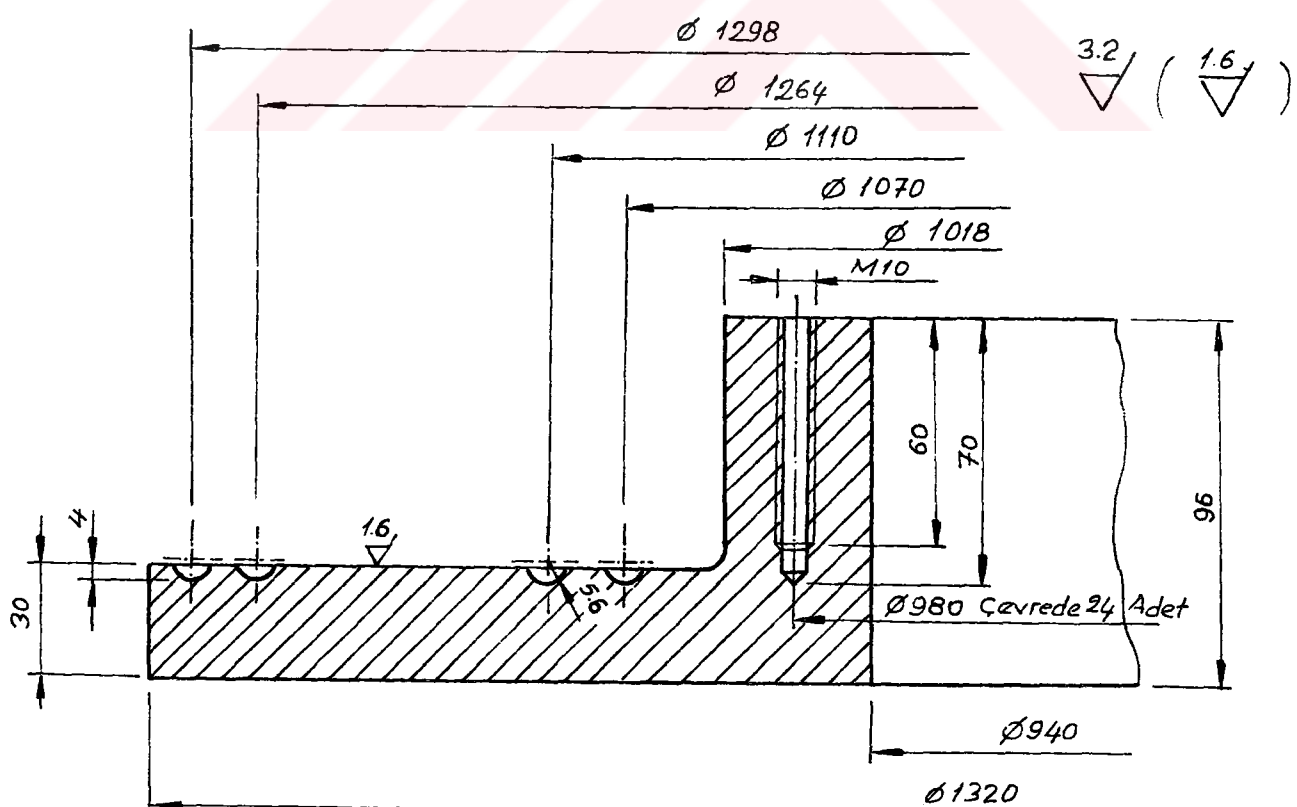
3.2 ( 1.6 )



Not: 1.6 işlemli yüzey sertleştirilecektir. Yüzey sertliği: 46HRC

MONTAJ NR. 17

G3140	1:1	1	TESPİT FLENSİ	A.CİFTÇİ	Prof.Dr. MALİYEVİÇİ	CA.34.07
GEREC	ÖLÇEK	SAYI	PARÇA ADI	SİZEN	KONTROL	RESİM NR.

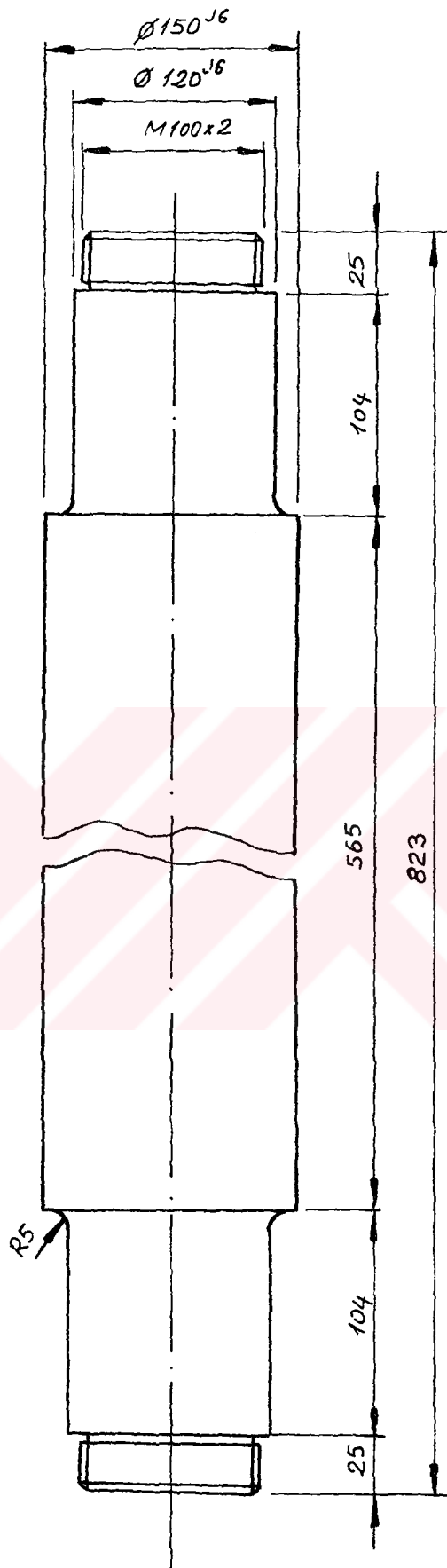


Not: 1.6 işlemli yüzey sertleştirilecektir. Yüzey sertliği: 46HRC

MONTAJ NR. 18

G3140	1:2	1	ALT YUVARLANMA FLENSİ	A.CİFTÇİ	Prof.Dr. MALİYEVİÇİ	CA.34.08
-------	-----	---	-----------------------	----------	------------------------	----------

04/

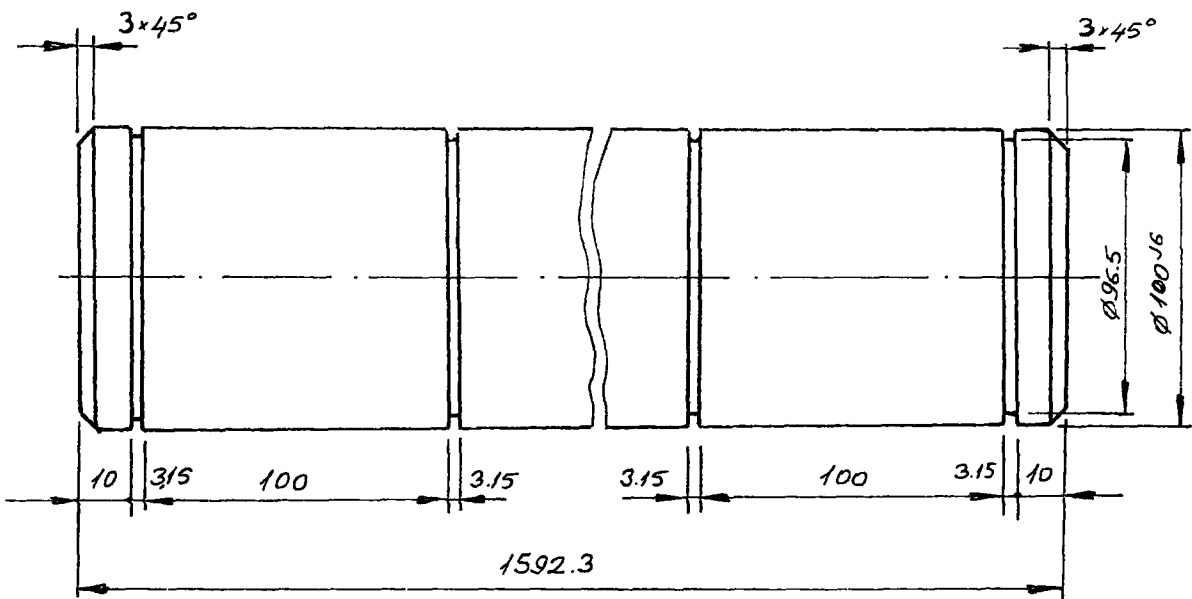


MONTAJ NR. 22

25  $\mu\text{m}$  sert krom kaplanacaktır. Yüzey Sertliği: 65 HRC (min)

$\phi 150$	$\pm 14$	$\pm 14$
$\phi 120$	$\pm 13$	$\pm 13$
ÖLÇÜ	İŞARET	TOLERANS
Prof. Dr. M. ALIŞVERİŞÇİ		CA. 34.09

0.4

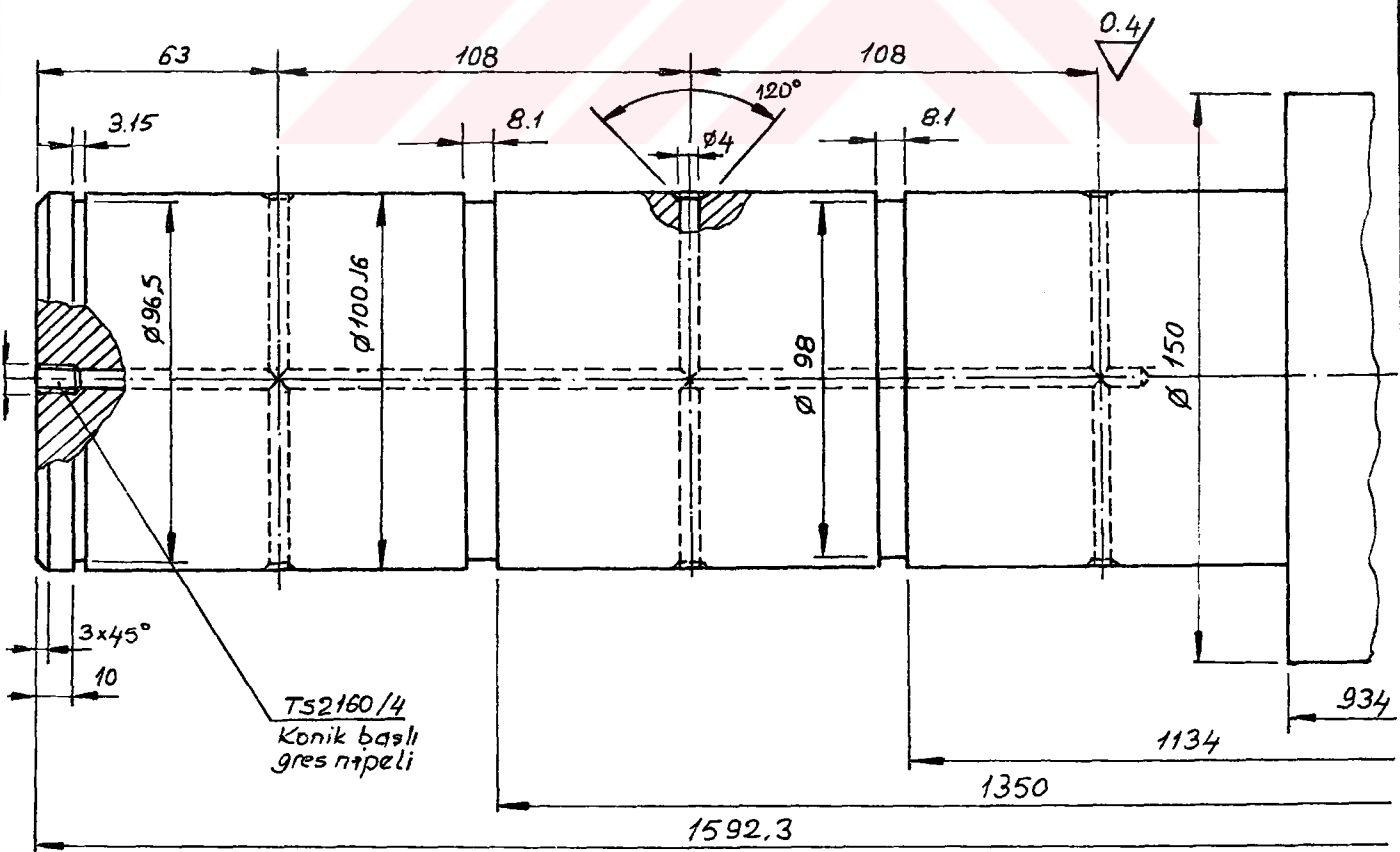


MONTAJ NR. 27

Not: 25 µm sert krom kaplanacaktır. (Y.sert. 65 HRC-min.)

Ø100	J6	$\pm 13$				
ÖLÇÜ	İSARET	TOLERANS				
Prof.Dr. M.ALİŞVERİŞİ		CA.31.04				
GEREK	ÖLÇEK	SAYI	PARÇA ADI	GİZEN	KONTROL	RESİM NR

C4140	1:2.5	1	"B" MAFSALI GÖBEK MİLİ	A.ÇİFTÇİ	Prof.Dr. M.ALİŞVERİŞİ	CA.31.04
-------	-------	---	------------------------	----------	--------------------------	----------



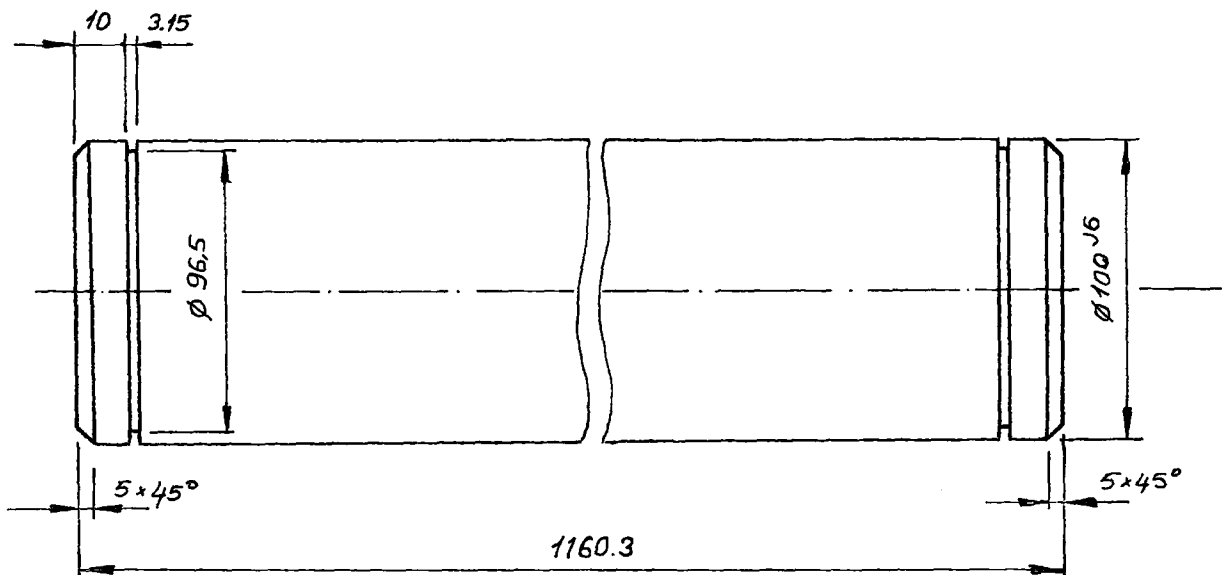
Not: Mili uçları simetriktir.

Yüzey 25 µm sert krom kaplanacaktır.

MONTAJ NR. 37

Ø100	J6	$\pm 13$				
ÖLÇÜ	İSARET	TOLERANS				
Prof.Dr. M.ALİŞVERİŞİ		CA.31.05				
C4140	1:2	1	"C" MAFSALI GÖBEK MİLİ	A.ÇİFTÇİ	Prof.Dr. M.ALİŞVERİŞİ	CA.31.05

0.4

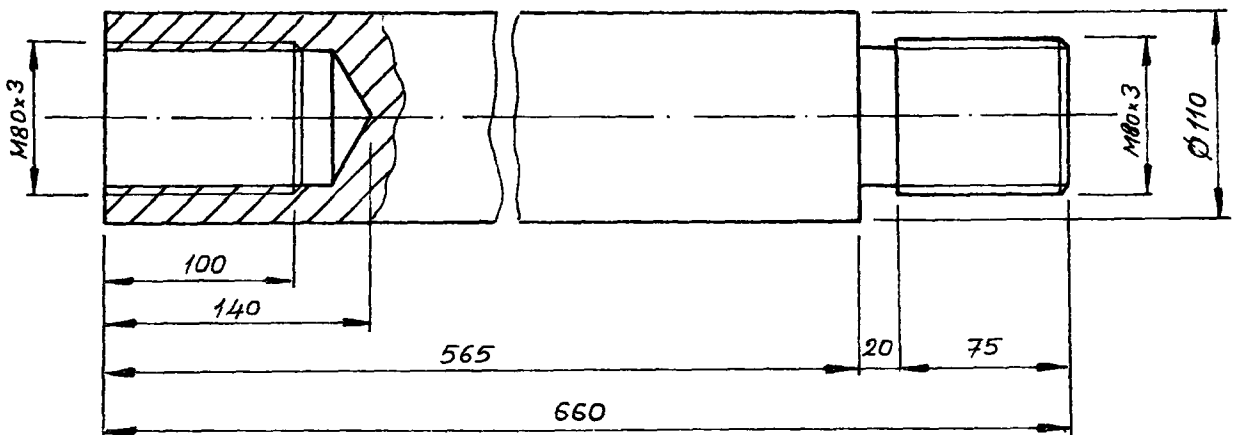


MONTAJ NR. 40

Not: 25  $\mu\text{m}$  sert krom kaplanacak. Yüzey sertliği 65 HRC

$\varnothing 100$	J6	$^{+13}_{-9}$
ÖLÇÜ	İSARET	TOLERANS
Prof.Dr. M.ALISVERİŞİ		CA.32.03
GEREÇ	ÖLÇEK	SAYI
PARÇA ADI	CİZEN	KONTROL
		RESİM NR.

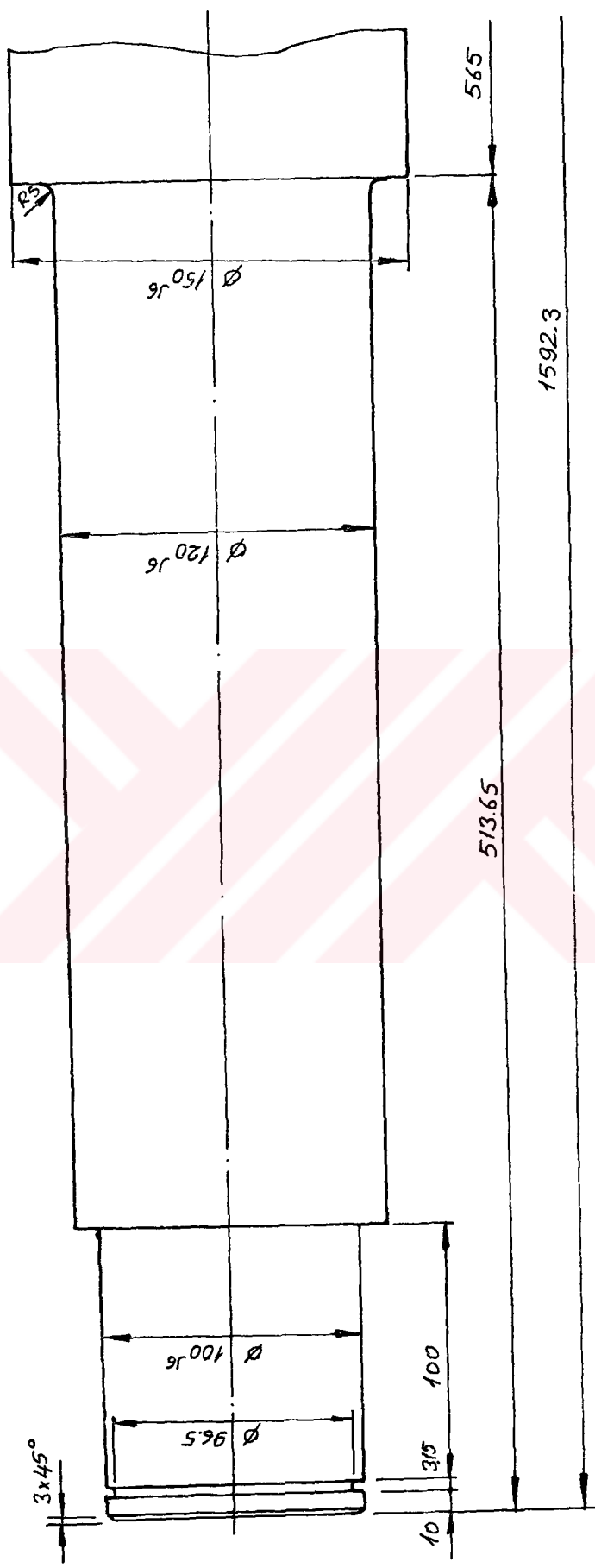
3.2



Not: 25  $\mu\text{m}$  sert krom kaplanacaktır. Yüzey sertliği 65 HRC

MONTAJ NR. 33

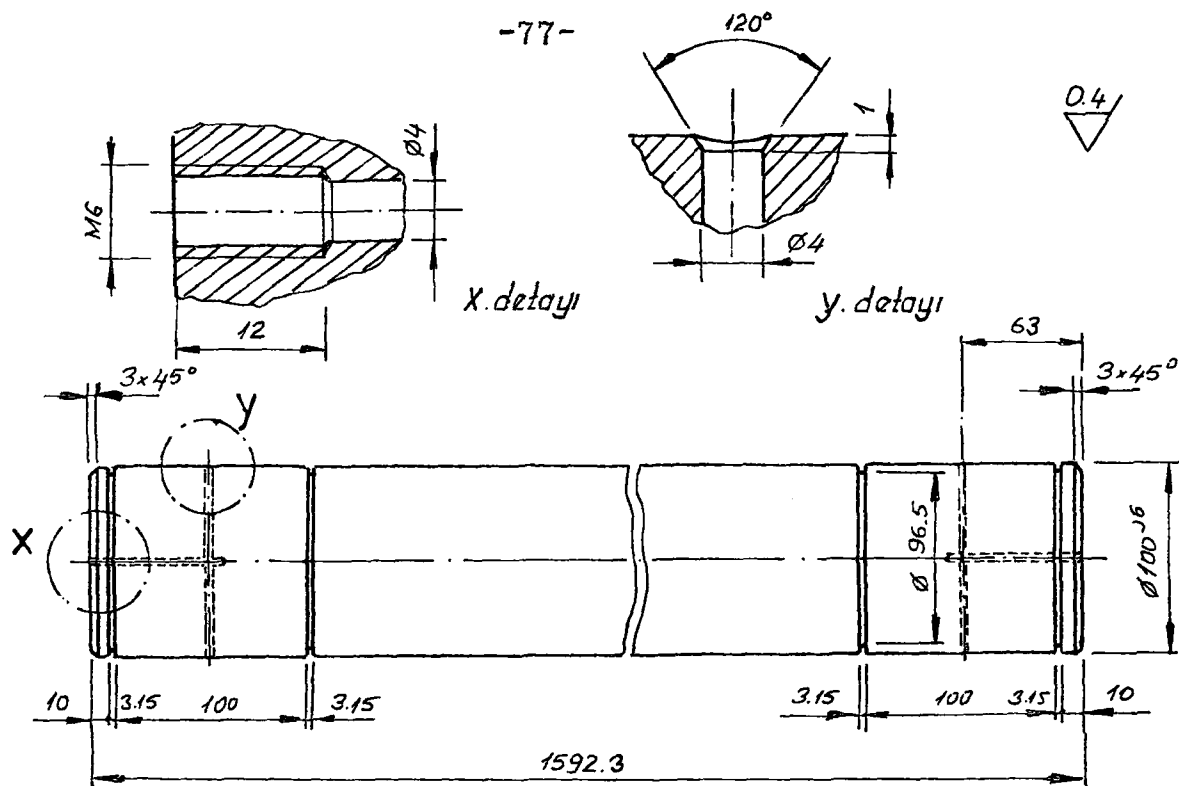
G4140	1:4	2	PISTON MİLİ UZATMA PARÇASI	A. CİFTÇİ	Prof.Dr. M.ALISVERİŞİ	CA.35.01
-------	-----	---	----------------------------	-----------	--------------------------	----------



MONTAJ NR. 41

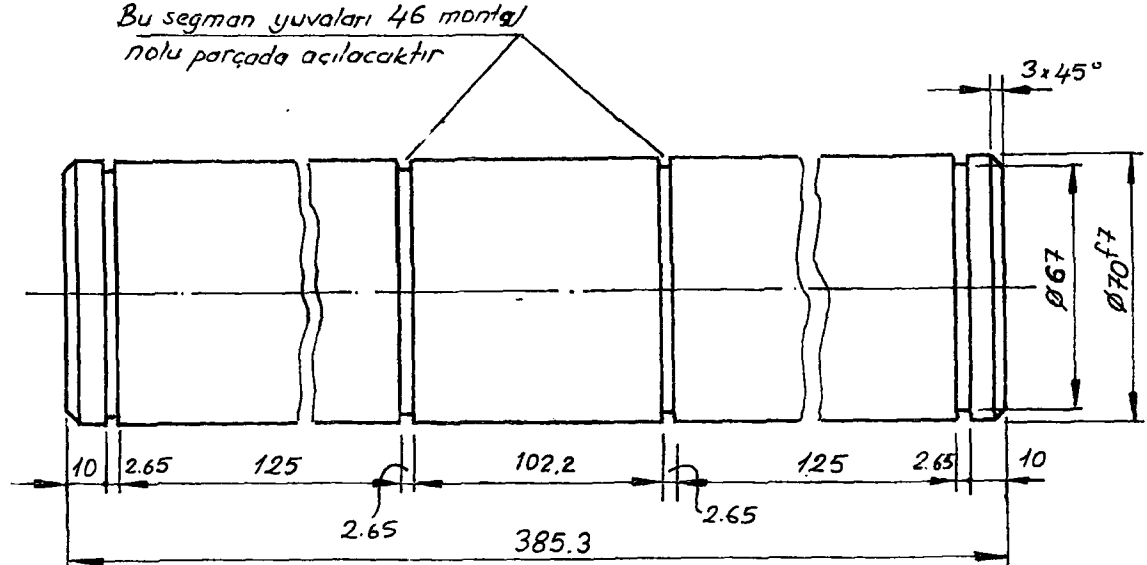
Ø 150	J6	+14 -11
Ø 120	J6	+13 -9
Ø 100	J6	+13 -9
ÖLÇÜ	İSAZET	TOLERANS

Not: 25 μm sert krom kaplanacaktır. Yüzey sertliği 65 HRC



MONTAJ NR. 43

Ø100	J6	$\pm 13$ 9
ÖLGÜ	İSARET	TOLERANS



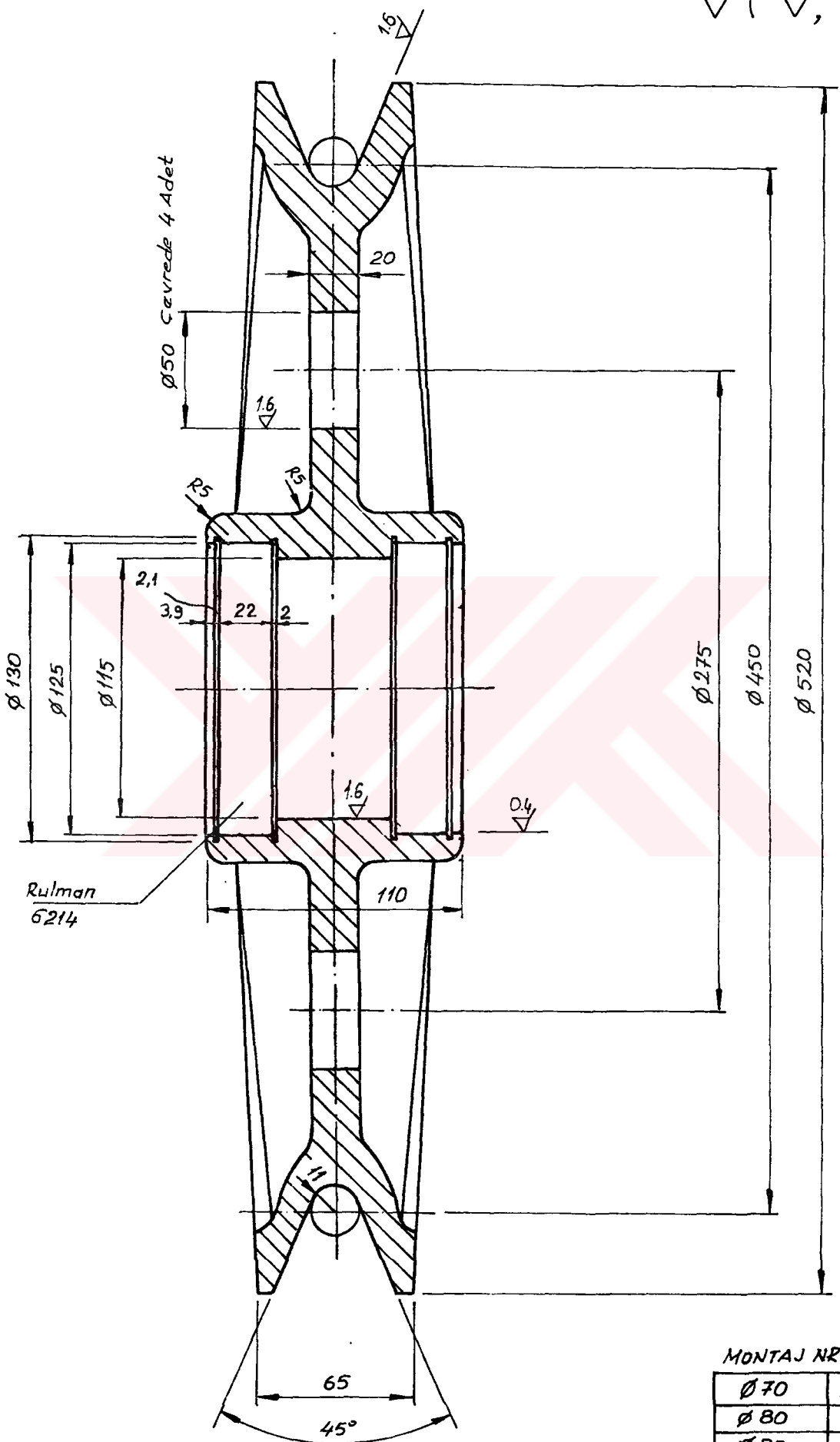
MONTAJ NR. 46 /47

Ø70	f7	$\pm 30$ -60
ÖLGÜ	İSARET	TOLERANS

Not: 25 µm sert krom kaplanacaktır. Y.sertliği 65 HRC

C4140	1:2	1	MAKARA GÖBEK MİLİ (46)	A.CİFTÇİ	Prof. DR. M.ALİVERİŞİ	ÇA.33.05
			F TESPİT MİLİ (47)			

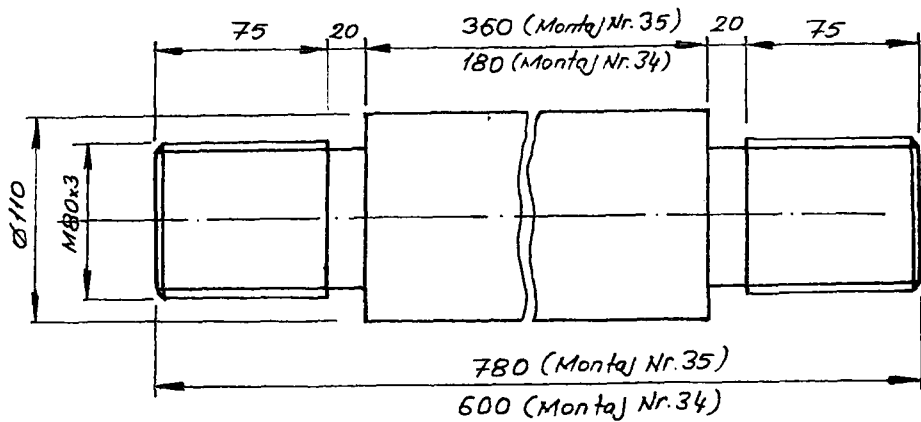
$$12.5 \left( \frac{1.6}{}, \frac{0.4}{} \right)$$



MONTAJ NR. 45

$\emptyset 70$	$EB$	$+106$ $+60$
$\emptyset 80$	$N7$	
$\emptyset 80$	$h6$	
$\emptyset Lc\prime$	$iSARET$	$TOLERANS$
Prmt. Dr.		

3.2

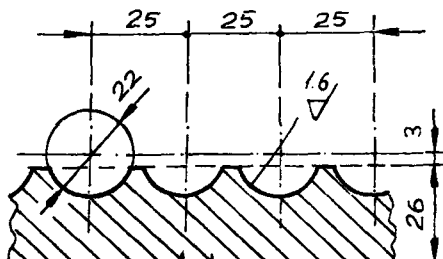
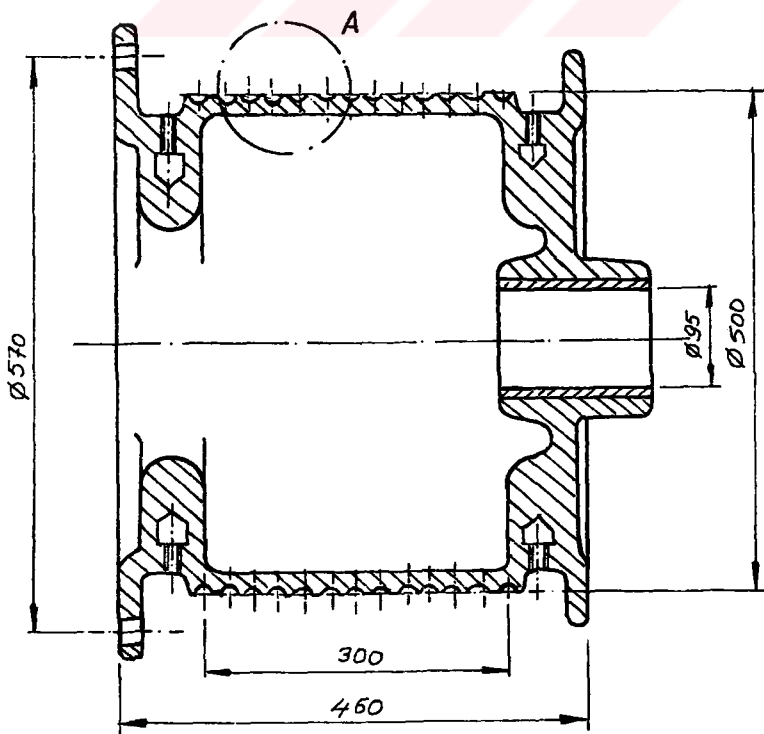


Not: 25  $\mu\text{m}$  sert krom kaplanacaktır. Yüzey sertliği : 65 HRC

MONTAJ NR. 35/34

:4140	1:4	2'ler Adet	MAFSAL MİLY	A.ÇİFTÇİ	Prof.Dr. M. DÜĞÜVERİSCİ	ÇA.35.02
GEREC	ÖLÇEK	SAYI	PARCA ADI	GİZEN	KONTROL	RESİM NR.

3.2 ( 1.6 )

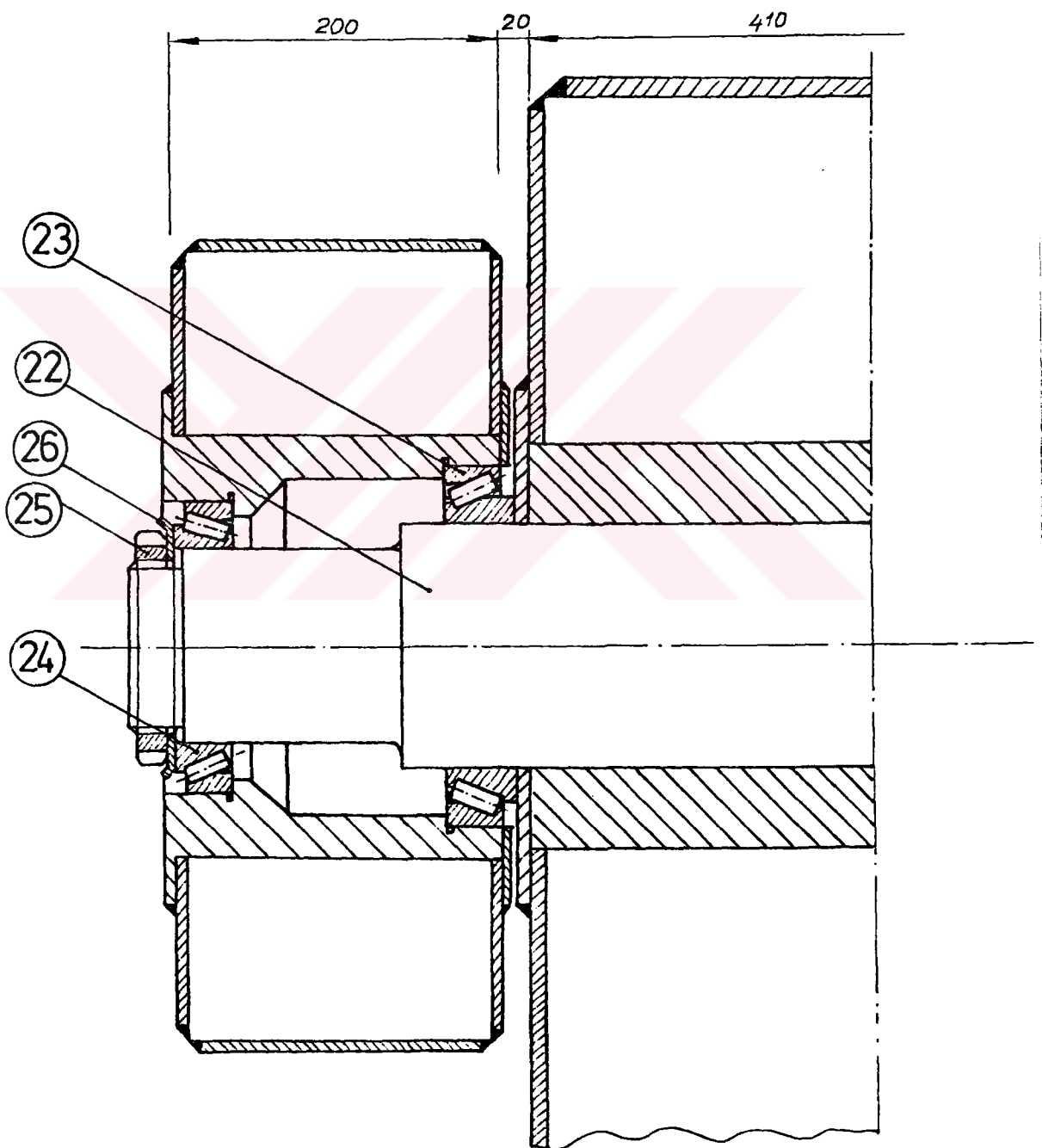


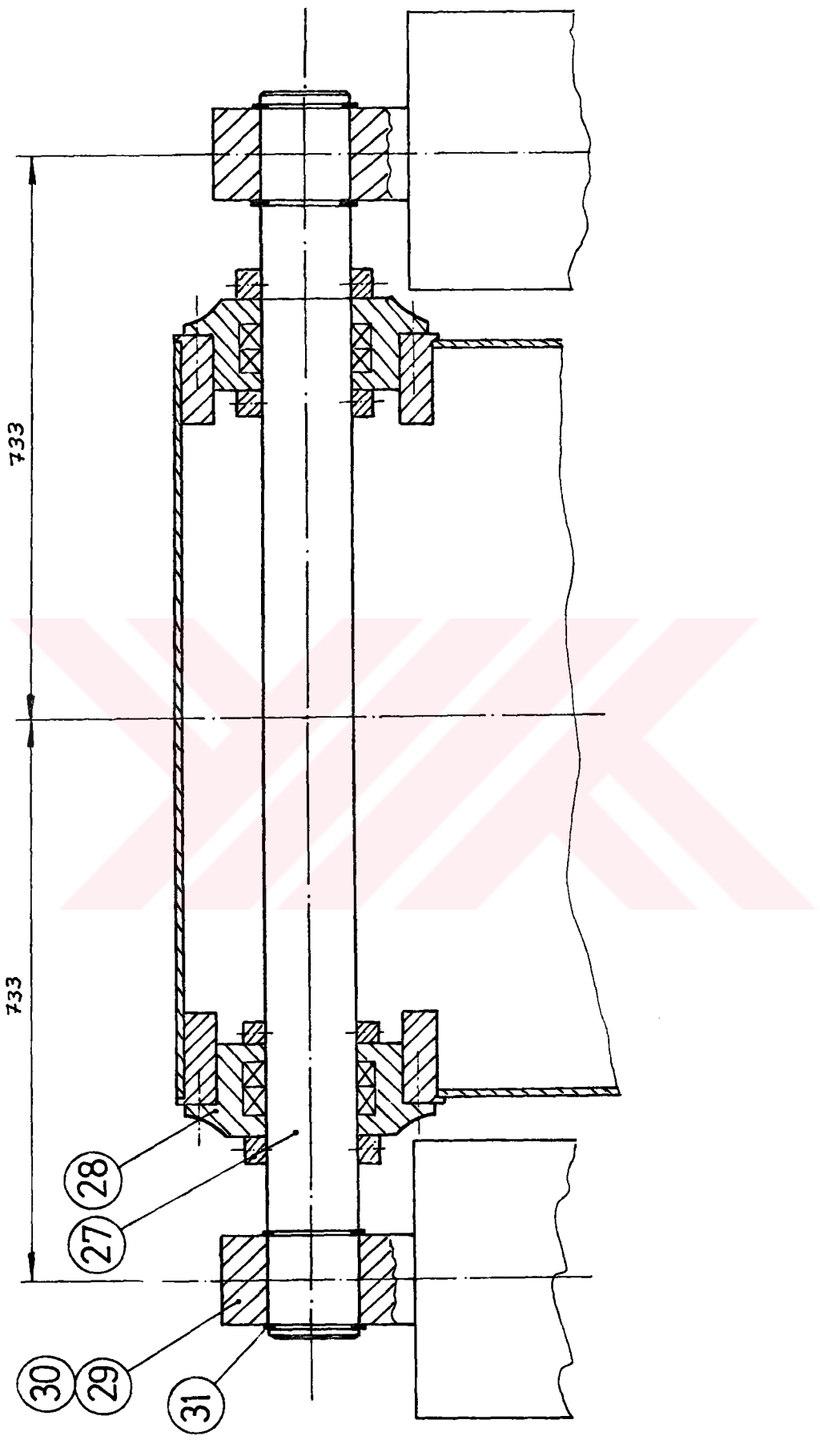
A. Detaylı

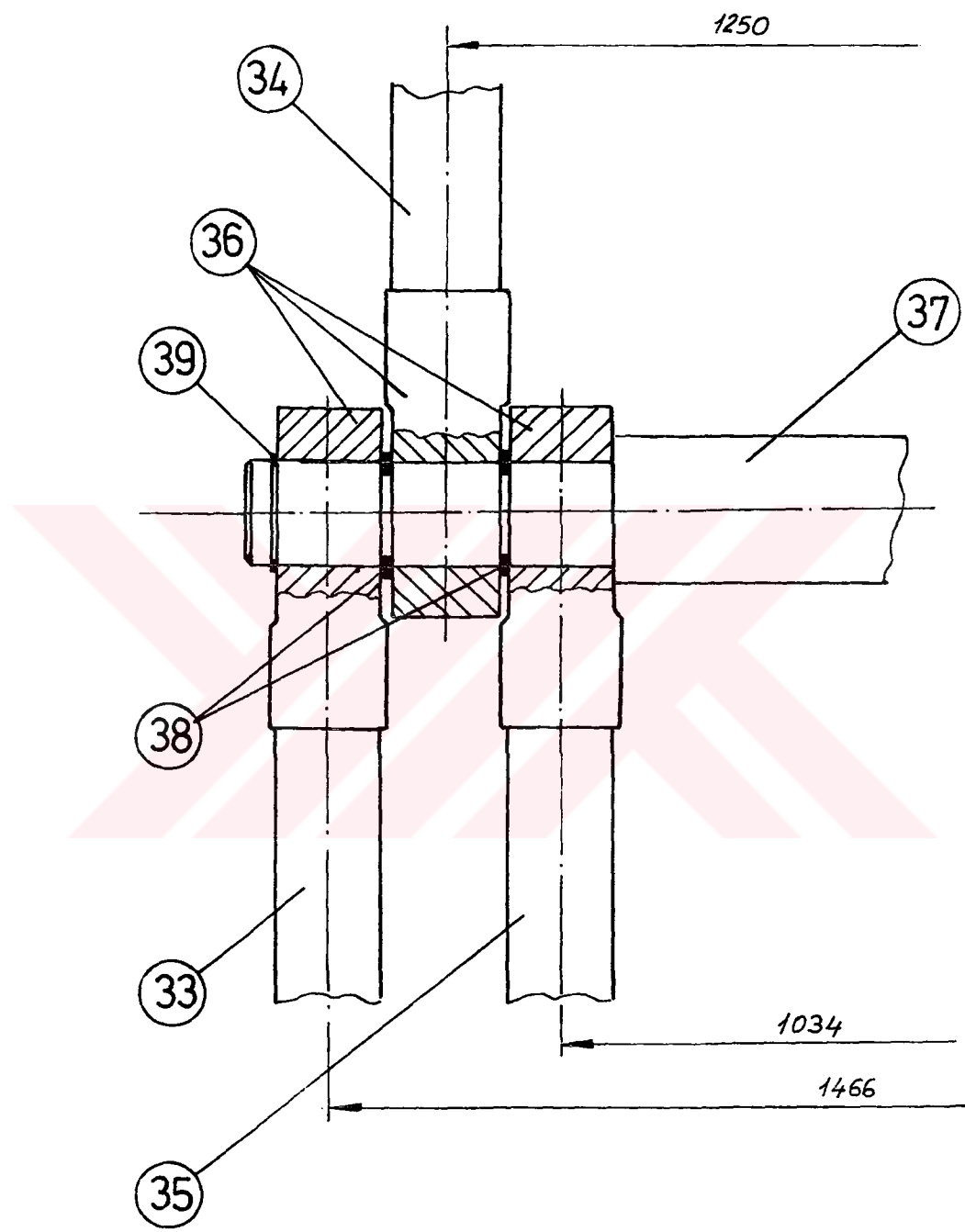
MONTAJ NR.51

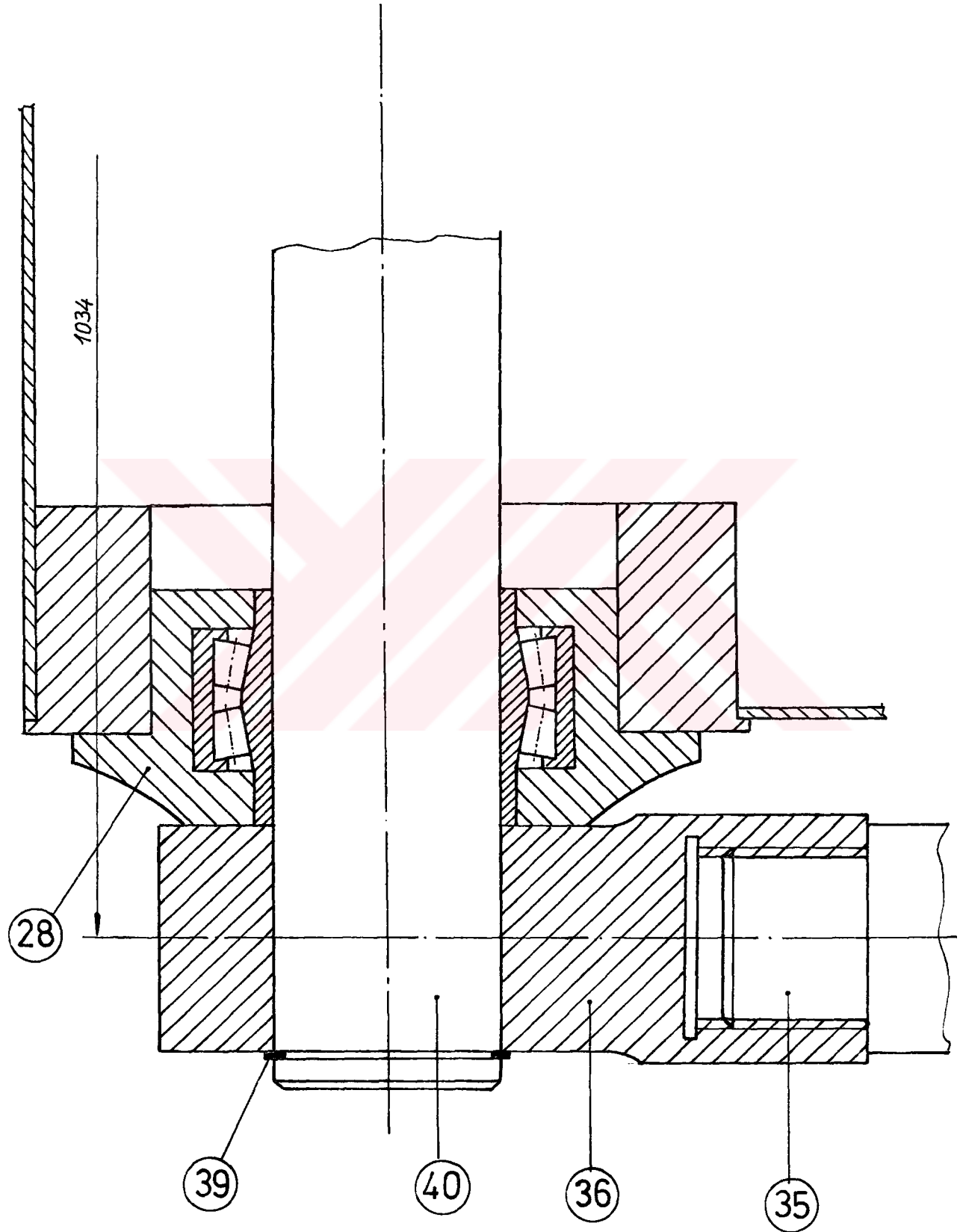
DOL20	1:7.5	1	HALAT TAMBURU	A.ÇİFTÇİ	Prof.Dr. M. DÜĞÜVERİSCİ	ÇA.36.03
-------	-------	---	---------------	----------	----------------------------	----------

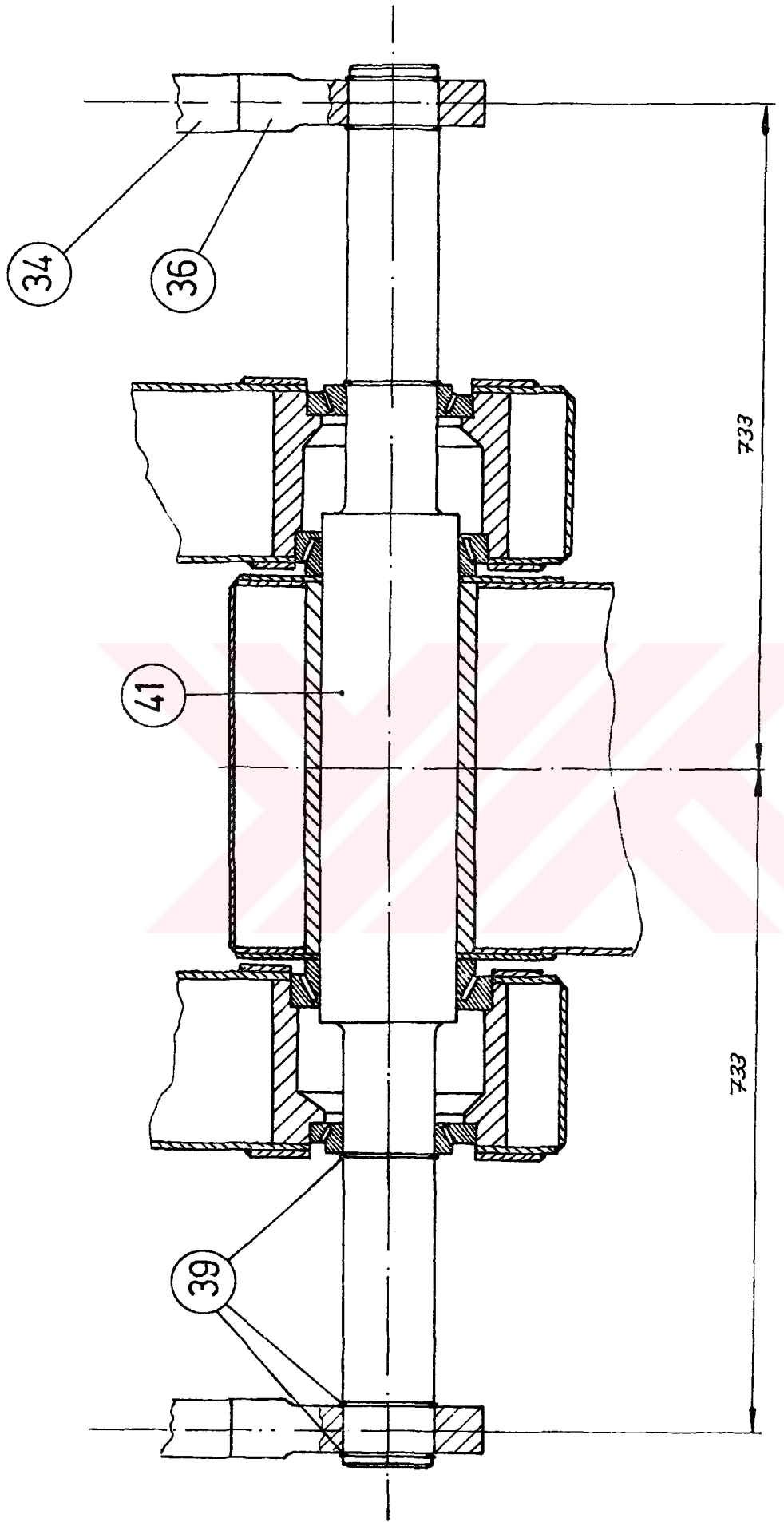
## d.) MONTAJ RESİMLERİ

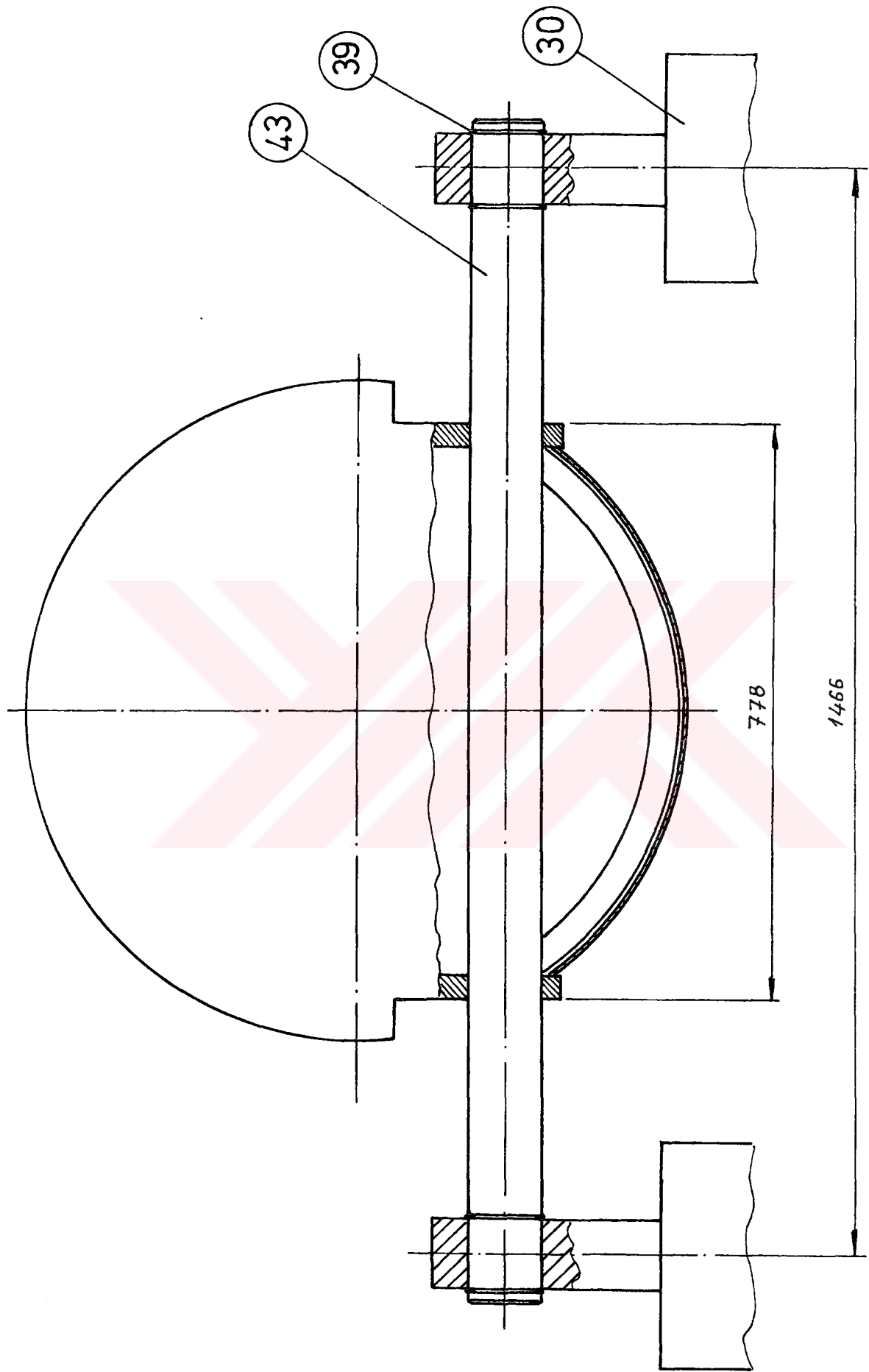


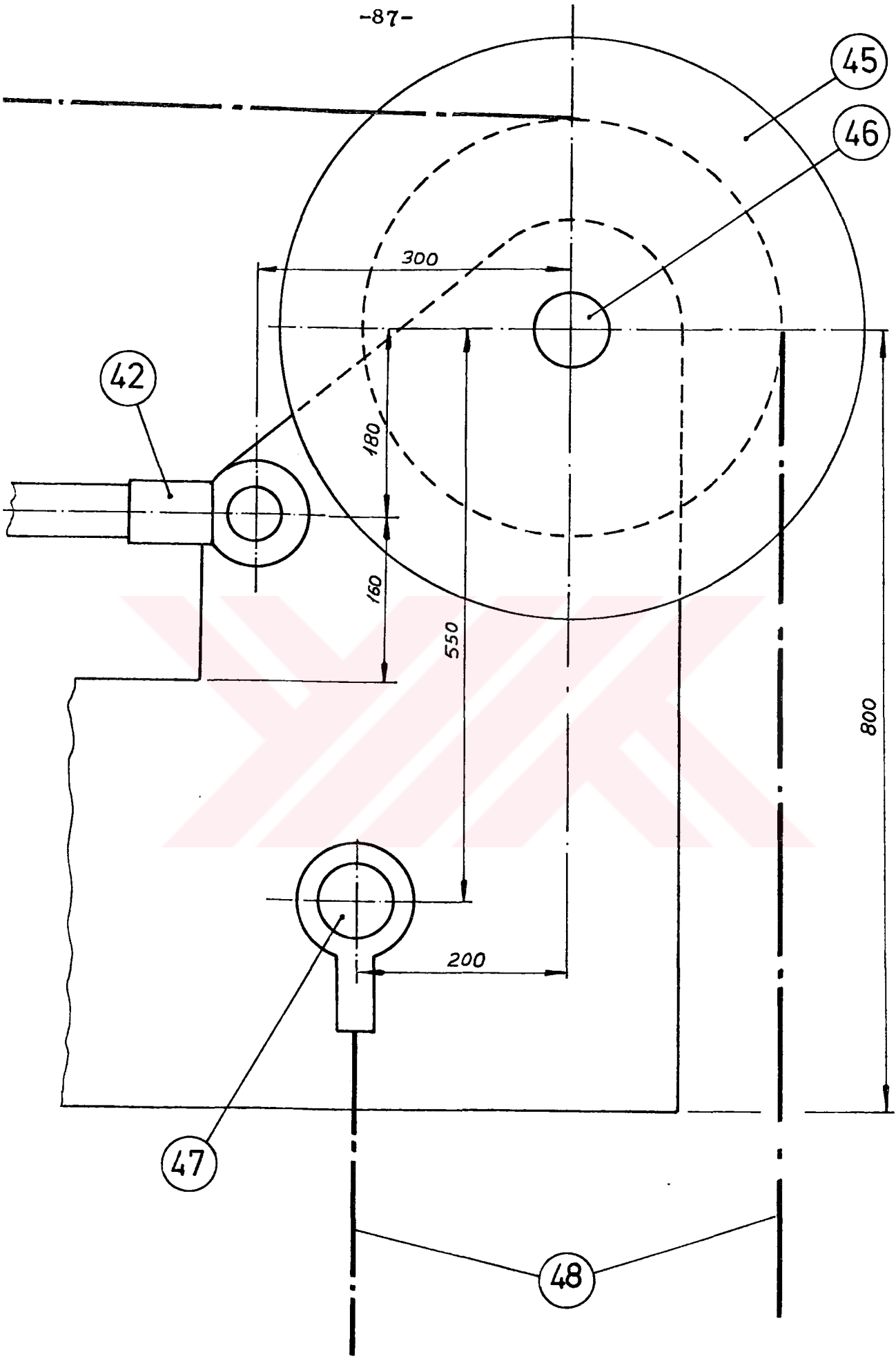












e.) İMALAT RESİMLERİ  
( ÇELİK KONSTRÜKSİYON )

## KAYNAKÇA

- HİDROLİK AKIŞKAN GÜCÜ MERT EĞİTİM YAYINLARI
- ATOS HİDROLİK DEVRE ELEMANLARI KATALOGU
- MERT HİDROLİK-PNOMATİK KATALOGU
- UZAY MAKİNA HİDROLİK-PNOMATİK KATALOGU
- ZET KAPLİN KATALOGU
- FEM VİNÇLER İÇİN HESAPLAMA KURALLARI
- MKE ÇELİK TÜRLERİ KATALOGU
- NECMAN HİDROLİK SİLİNDİR KATALOGU
- AKIŞKANLAR MEKANIĞI - Prof.Dr.M.Şükrü GÜNEY
- MAKİNA ELEMANLARI - Prof.Dr.Özdemir BENGİSU
- KALDIRMA İLETME MAKİNALARI - Prof.Faruk SUNER
- DİNAMİK - F.BEER - R.JOHNSON